

# ZMENA 1

**D**  
**205-00**

 <b>ISPO</b> spol. s r.o. <b>Inžinierske stavby</b> Slovenská 86, 080 01 Prešov tel.: 051/74 636 95, 74 636 99	ZODP.PROJEKTANT: ING.J.ANTOL	HL. PROJEKTANT: ING.M.DÚBRAVSKÝ
	VYPRACOVAL: ING.M.RUSÍN ING.R.FOTTA	KONTROLOVAL: ING.J.KURUC
OBJEDNÁVATEL: <b>Žilinský samosprávny kraj, Komenského 48, 011 09 Žilina</b>		
OKRES: ŽILINA	KRAJ: ŽILINSKÝ	
KAT.ÚZEMIE: POVAŽSKÝ CHLMEC, ŽILINA		DÁTUM: 06/2021
STAVBA: <b>Vážska cyklo dopravná trasa - úsek Žilina - Bytča</b> <b>- hranica ŽSK/TSK - (Považská Bystrica)</b> <b>- etapa Považský Chlmec - Žilina - 2.časť</b>		STUPEŇ: DRS
		Č.ZÁKAZKY: 2981/2019
		MIERKA:
OBJEKT:	205-00 Most ponad rleku Váh v úseku 18	Č. PRÍLOHY: Č. SÚPRAVY:
PRÍLOHA :	<b>STATICKÝ VÝPOČET</b>	<b>24</b>

## OBSAH :

<b>1</b>	<b>Úvod .....</b>	<b>3</b>
1.1	Popis lávky .....	3
1.2	Použité normy, predpisy, podklady a literatúra .....	3
1.3	Použité programy .....	3
1.4	Výpočtové postupy .....	4
<b>2</b>	<b>Geometria lávky .....</b>	<b>5</b>
<b>3</b>	<b>Použité materiály .....</b>	<b>6</b>
3.1	Druhy materiálov .....	6
3.1.1	Charakteristiky pevnostných tried materiálov .....	6
<b>4</b>	<b>Stanovenie zaťaženia .....</b>	<b>7</b>
4.1	Stále zaťaženia „G“ .....	7
4.1.1	Vlastná tiaž .....	7
4.1.2	Mostný zvršok .....	7
4.1.3	Účinok zásypu na spodnú stavbu .....	7
4.1.4	Nerovnomerné sadnutie podpier .....	7
4.2	Premenné zaťaženia „Q“ .....	7
4.2.1	Zaťaženie vetrom .....	7
4.2.2	Zaťaženie účinkami teploty .....	8
4.2.3	Zaťaženie chodníkov, komunikácií pre cyklistov a lávok pre chodcov .....	8
4.2.4	Zaťaženia na zábradlia .....	9
4.2.5	Zaťaženie od výstavby .....	9
4.3	Zaťažovací model pre opory a steny priľahlé k mostu .....	9
4.4	Seizmické zaťaženia „A <sub>Ed</sub> “ .....	9
<b>5</b>	<b>Výpočtový model lávky .....</b>	<b>10</b>
5.1	Zostavenie výpočtového modelu lávky .....	10
5.1.1	Prierezy .....	14
5.1.2	Kombinácie zaťažovacích stavov .....	16
<b>6</b>	<b>Návrh a posúdenie nosnej konštrukcie .....</b>	<b>18</b>
6.1	Oceľová priehradová konštrukcia .....	18
6.1.1	Spodný pás .....	18
6.1.2	Horný pás .....	21
6.1.3	Diagonály a vzpery .....	25
6.1.4	Priečniky .....	29
6.1.5	Pozdĺžniky .....	35
6.2	Železobetónová mostovka .....	38
6.2.1	Vnútorne sily .....	38
6.2.2	Návrh výstuže .....	39
6.1	Oceľové laná NK .....	42
6.2	Priehyb oceľovej konštrukcie .....	43
<b>7</b>	<b>Návrh a posúdenie spodnej stavby .....</b>	<b>44</b>
7.1	Medziľahlá podpera .....	44
7.1.1	Pylóny a vzpera pylónov .....	44
7.1.1	Posúdenie hlavice pylónu v mieste napojenia lán .....	51
7.1.2	ŽB stena .....	56
7.1.3	Základový rošt .....	56
7.1.4	Ložiská .....	58
7.2	Opory č.1 a č.4 .....	58
<b>8</b>	<b>Návrh a posúdenie zakladania .....</b>	<b>59</b>
8.1	Posúdenie pilóty .....	59
8.1.1	Vstupné údaje .....	59
8.1.2	Zaťažovacia krivka .....	61
8.1.3	Zvislá únosnosť .....	62
8.1.4	Vodorovná únosnosť .....	64
<b>9</b>	<b>Dynamická analýza .....</b>	<b>66</b>
9.1	Základné vlastné frekvencie .....	66
9.1.1	Vlastné tvary .....	66



9.2	Kontrola komfortu chodcov .....	74
<b>10</b>	<b>Záver statického výpočtu.....</b>	<b>78</b>

# 1 Úvod

## 1.1 Popis lávky

Jedná sa o cyklistickú lávku ponad rieku Váh v intraviláne na rozhraní katastrálneho územia obce Považský Chlmec a mesta Žilina. Lávka bude slúžiť pre budúcu cyklotrasu v danom území. Lávka bude trojpoľová s dĺžkami 24,5+130,0+20,8m. Mostovku bude tvoriť pre krajné (1. a 3.pole) železobetónová doska a stredové (2.pole) oceľová priehradová konštrukcia. Pochôdzna časť na oceľovej priehradovej konštrukcii bude tvorená oceľovým plechom.

Nosná konštrukcia bude zavesená prostredníctvom oceľových Lán. Laná z nosnej konštrukcie budú ukotvené na oceľových šikmých pylónoch. Pylóny budú zakotvené na železobetónových pätkách, ktoré budú mať spoločný základ s medzilahlou podperou. Medzilahlé podpory budú v tvare steny a budú pôsobiť ako kývne stojky. Založenie lávky bude prostredníctvom veľkopriemerových pilót. Opory budú masívne gravitačné, plošne založené.

## 1.2 Použité normy, predpisy, podklady a literatúra

Statický výpočet je spracovaný v súlade s príslušnými ustanoveniami nasledujúcich noriem (s príslušnými národnými prílohami) a predpisov.

### Technické normy a predpisy :

- STN EN 1990 ..... Zásady navrhovania konštrukcií
- STN EN 1991-1-1 ..... Zať. konštrukcií; Časť 1-1: Všeobecné zaťaženia - Objemová tiaž, vlastná tiaž a úžitkové zaťaženia budov
- STN EN 1991-1-4 ..... Zať. konštrukcií; Časť 1-4: Všeobecné zaťaženia - Zaťaženia vetrom
- STN EN 1991-1-5 ..... Zať. konštrukcií; Časť 1-5: Všeobecné zaťaženia - Zaťaženia účinkami teploty
- STN EN 1991-1-6 ..... Zať. konštrukcií; Časť 1-6: Všeobecné zaťaženia - Zaťaženia počas výstavby
- STN EN 1991-1-7 ..... Zať. konštrukcií; Časť 1-7: Všeobecné zaťaženia - Mimoriadne zaťaženia
- STN EN 1991-2 ..... Zať. konštrukcií; Časť 2: Zaťaženia mostov dopravou
- STN EN 1992-1-1 ..... Navrhovanie betónových konštrukcií; Časť 1-1: Všeobecné pravidlá a pravidlá pre budovy
- STN EN 1992-2 ..... Navrhovanie betónových konštrukcií; Časť 2: Betónové mosty, navrhovanie a konštruovanie
- STN EN 1993-1-1 ..... Navrhovanie oceľových konštrukcií; Časť 1-1: Všeobecné pravidlá a pravidlá pre budovy
- STN EN 1993-2 ..... Navrhovanie oceľových konštrukcií; Časť 2: Oceľové mosty
- STN EN 1997-1 ..... Navrhovanie geotechnických konštrukcií; Časť 1: Všeobecné pravidlá
- STN EN 1998-1 ..... Navrhovanie konštrukcií na seizmickú odolnosť; Časť 1: Všeobecné pravidlá, seizmické zaťaženia a pravidlá pre pozemné stavby
- STN EN 1998-2 ..... Navrhovanie konštrukcií na seizmickú odolnosť; Časť 2: Mosty
- STN EN 1998-5 ..... Navrhovanie konštrukcií na seizmickú odolnosť; Časť 5: Základy, oporné konštrukcie a geotechnické hľadiská

### Podklady :

- Geodetické zameranie. ISPO s.r.o. inžinierske stavby

### Literatúra :

- Ing. M. Studničková a spol. 2011. *Silnice železnice*, čl. „Overení lávek od dynamického zatížení chodců“. Ročník 20, číslo 5/2011, str.135-142.
- Ing. P. Míchal, Ing R. Šiška, Ing. P. Vymáčil. 2009. *Stavební obzor*, čl. „Statický a dynamický výpočet lávky pro peší a cyklisty přes řeku Moravici“. Číslo 4/2009, str.59-61.
- Ing. Jiří Kala, Ph.D. 2009. *Kmitání mostní konštrukcie vyvolané pohybem osob*. Brno, 2009. Vysoké učení technické v Brne. ISBN 978-80-214-3809-5.

## 1.3 Použité programy

Na vypracovanie statického výpočtu a posúdenia jednotlivých konštrukčných prvkov boli použité nasledujúce programy :

- Strap, Scia, Geo5, Fixperience, Excel

## 1.4 Výpočtové postupy

Medzný stav únosnosti sa overuje z hľadiska straty statickej rovnováhy „EQU, súbor A“, vnútornej poruchy alebo nadmernej deformácie „STR/GEO, súbor B“ s kombinačným pravidlom 6.10 a únavovej poruchy konštrukcie „FAT“. Medzný stav použiteľnosti sa overuje z hľadiska dovolených napätí, pretvorení a deformácií pomocou 4-roch základných tvarov kombinácií (charakteristická, kvázi-stála, častá, menej-častá).

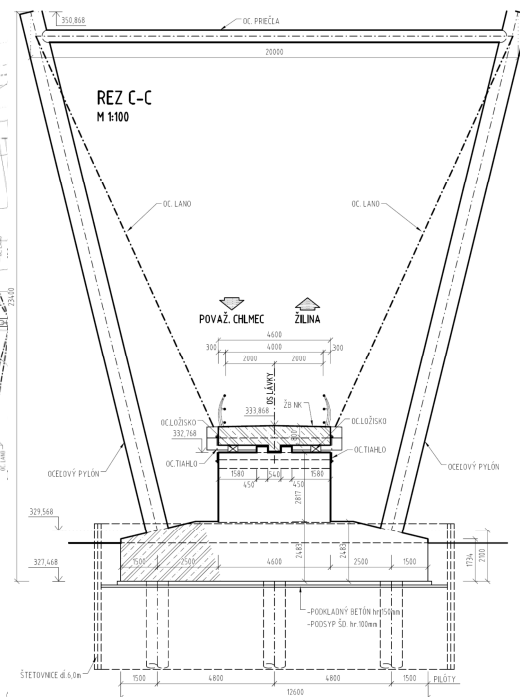
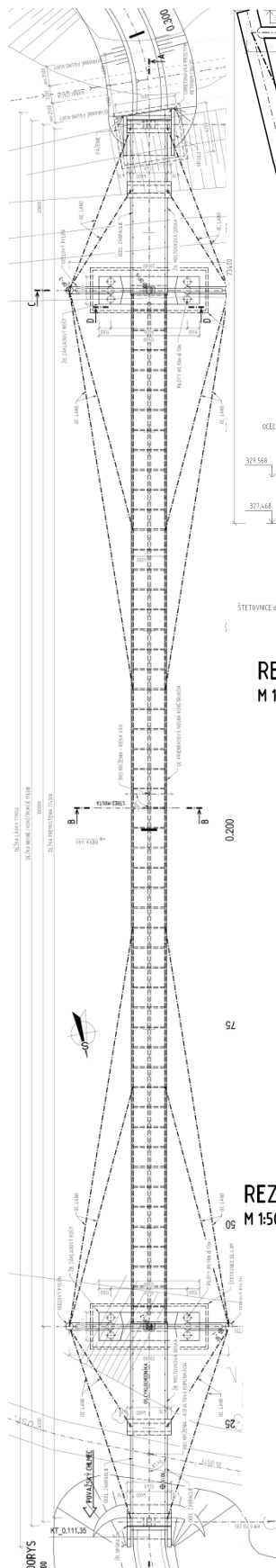
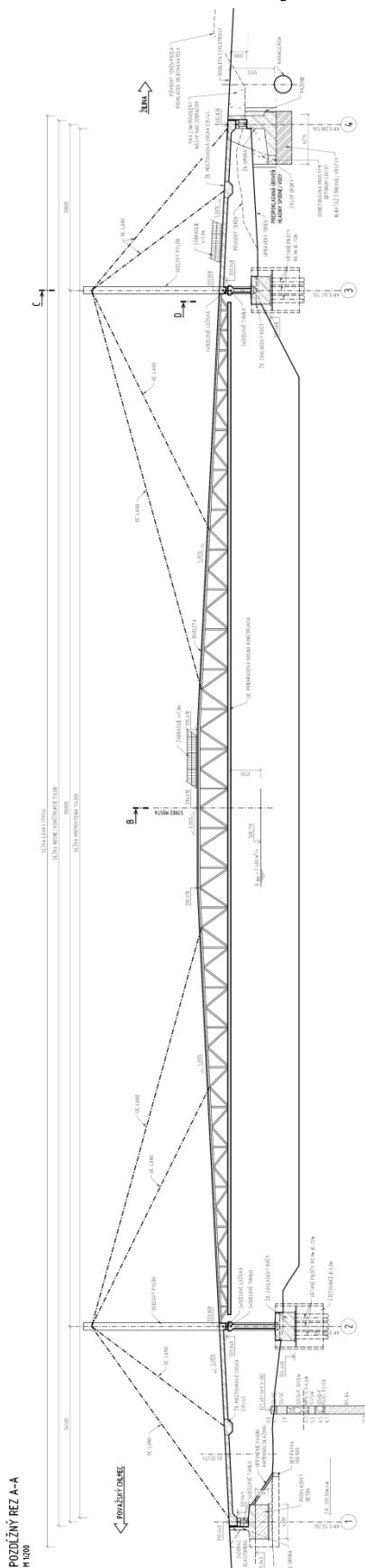
Pri posúdení geotechnických konštrukcií sa použije návrhový postup 2, s tvarom kombinácie A1+“M1“+“R2 a pre posudzovanie celkovej stability a numerické metódy, návrhový postup 3 s tvarom kombinácie A1 alebo A2+“M2“+“R3.

Výpočet vnútorných síl od jednotlivých zaťažení a ich následných kombinácií pre MSÚ a MSP je spracovaný použitým výpočtovým programom, ktorý je uvedený v kap.1.3, v zmysle technických noriem a predpisov uvedených v kap.1.2.

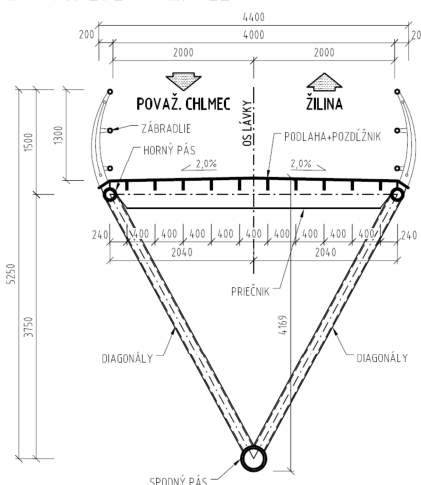
Posúdenia konštrukčných prvkov mostného objektu sú vyhotovené v použitom výpočtovom programe a v exceli (v ktorom sú vytvorené zautomatizované jednotlivé posúdenia).

Na zadaný výpočtový model sú aplikované jednotlivé uvažované zaťaženia, ktoré sú uvedené v kap.4.

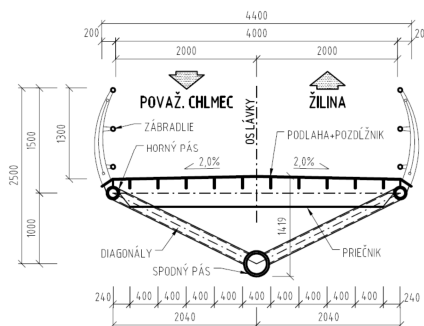
## 2 Geometria lávky



**REZ B-B V STREDE NK 2. POLE**  
M 1:50



**REZ D-D NA KONCI NK 2. POLE**  
M 1:50



### 3 Použité materiály

#### 3.1 Druhy materiálov

Jednotlivé prvky mostného objektu budú vyhotovené z týchto materiálov a ich príslušných tried :

- **Betón**
  - Nosná konštrukcia ..... C30/37
  - Spodná stavba ..... C30/37
- **Oceľ**
  - Betonárska výstuž ..... B 500B
  - Oceľ. nosné prvky ..... S 355 (podľa EN10025-2;  $t \leq 40\text{mm}$ )
  - Oceľové Z-drôty (laná) ..... Y1570

##### 3.1.1 Charakteristiky pevnostných tried materiálov

Betón: C30/37		
Charakteristická valcová pevnosť betónu v tlaku vo veku 28 dní	$f_{ck}$ (MPa)	30
Charakteristická kocková pevnosť betónu v tlaku vo veku 28 dní	$f_{ck,cube}$ (MPa)	37
Stredná hodnota tlakovej pevnosti betónu	$f_{cm}$ (MPa)	38
Stredná hodnota pevnosti betónu v centrickom ťahu	$f_{ctm}$ (MPa)	2,9
Charakteristická pevnosť betónu v centrickom ťahu, 5%-ný fraktíl	$f_{ctk,0,05}$ (MPa)	2,0
Charakteristická pevnosť betónu v centrickom ťahu, 95%-ný fraktíl	$f_{ctk,0,95}$ (MPa)	3,8
Sečnicový modul pružnosti betónu	$E_{cm}$ (GPa)	33
Koeficient dĺžkovej teplotnej rozťažnosti	$\alpha_T$ (1/°C)	$1,0 \cdot 10^{-5}$

Betonárska výstuž: B 500B		
Charakteristická medza klzu	$f_{yk}$ (MPa)	500
Sečnicový modul pružnosti betónu	$E_s$ (GPa)	200

Oceľ: S355		
Medza klzu	$f_y$ (MPa)	355
Pevnosť v ťahu	$f_u$ (MPa)	490
Modul pružnosti	$E$ (GPa)	210
Modul pružnosti v šmyku	$G$ (GPa)	81
Hodnota hustoty	$\rho$ (kg/m <sup>3</sup> )	7850
Súčiniteľ dĺžkovej teplotnej rozťažnosti	$\alpha_T$ (1/°C)	$1,2 \cdot 10^{-5}$

Oceľ: Y1570		
Medza klzu	$f_{0,1k}$ (MPa)	1390
Pevnosť v ťahu	$f_u$ (MPa)	1570
Modul pružnosti	$E$ (GPa)	160
Hodnota hustoty	$\rho$ (kg/m <sup>3</sup> )	7850
Súčiniteľ dĺžkovej teplotnej rozťažnosti	$\alpha_T$ (1/°C)	$1,2 \cdot 10^{-5}$

## 4 Stanovenie zaťaženia

Hodnoty všetkých zaťažení sú uvedené v ich charakteristických hodnotách.

### 4.1 Stále zaťaženia „G“

#### 4.1.1 Vlastná tiaž

Vlastná tiaž všetkých prvkov je pre:

- Železobetónové časti ..... 25,0 kN/m<sup>3</sup>
- Oceľové časti..... 78,5 kN/m<sup>3</sup>

#### 4.1.2 Mostný zvršok

- Zábradlie..... 0,80 kN/m

#### 4.1.3 Účinok zásypu na spodnú stavbu

Tento účinok je zvlášť pre každú oporu/ podperu. Uvažoval sa účinok zeminy tlaku v klude.

#### 4.1.4 Nerovnomerné sadnutie podpier

Odporúčaná hodnota nerovnomerného sadnutia podpier je v rozmedzí 5-10mm. Uvažuje sa zvlášť pre každú podperu v statickej schéme.

Uvažovaná hodnota :  $\Delta d_{set} = \pm 10 \text{ mm}$

Lávka je namodelovaná ako celkový model s podperami a nerovnomerné sadnutie podpier je simulované prostredníctvom pružných podopretí pilót.

### 4.2 Premenné zaťaženia „Q“

#### 4.2.1 Zaťaženie vetrom

Zaťaženie vetrom je stanovené prostredníctvom normy STN EN 1991-1-4 pre požadované smery účinkov.

Kategória terénu :	II
Výška nad terénom/ referenčná výška :	$z = z_e = 15 \text{ m}$
Fundamentálna hodnota zákl. rýchlosti vetra :	$v_{b,0} = 26 \text{ m/s}$
Súčiniteľ sily pre konštrukciu :	$c_f = 1.25$
Stredná rýchlosť vetra :	$v_m(z) = 28.2 \text{ m/s}$
Súčiniteľ drsnosti :	$c_r(z) = 1.084$
Súčiniteľ terénu :	$k_r = 0.19$
Intenzita turbulencie :	$I_v(z) = 0.175$
Smerodajná odchýlka turbulencie :	$\sigma_v = 4.94$
Základný tlak vetra :	$q_b = 0.4225 \text{ kPa}$
Súčiniteľ vystavenia vetru :	$c_e(z) = 2.62$
Základná vlastná frekvencia :	$n = n_{1,x} = 2.50 \text{ Hz}$
Logaritmickej dekrement tlmenia $\delta = \delta_s + \delta_a + \delta_d$ :	$\delta = 0.03$
<b>Špičkový tlak vetra :</b>	<b><math>q_p(z) = 1.1052 \text{ kPa}</math></b>

##### 4.2.1.1 Zaťaženie vetrom v smere X (kolmo na os mosta)

###### Horný pás

K hornému pásu bola zarátaná aj výška plnej bezpečnostnej bariéry  $(d+2d_1)$  t.j.  $0,2\text{m}+1*1,3\text{m}=2,8\text{m}$ .

Šírka konštrukcie :	$b = 130 \text{ m}$
Výška konštrukcie :	$h = 2.80 \text{ m}$
Referenčná plocha :	$A_{ref} = 364.0 \text{ m}^2$
Súčiniteľ konštrukcie :	$c_s c_d = 0.882$
<b>Síla vetra pôsobiaca na konštrukciu :</b>	<b><math>F_w = 442,8 \text{ kN}</math></b>

### Spodný pás

Šírka konštrukcie :	$b = 130 \text{ m}$
Výška konštrukcie :	$h = 0.36 \text{ m}$
Referenčná plocha :	$A_{\text{ref}} = 46.80 \text{ m}^2$
Súčiniteľ konštrukcie :	$C_s C_d = 0.940$
<b>Sila vetra pôsobiaca na konštrukciu :</b>	<b><math>F_w = 60.71 \text{ kN}</math></b>

### Diagonála

Šírka konštrukcie :	$b = 3,7 \text{ m}$
Výška konštrukcie :	$h = 0.18 \text{ m}$
Referenčná plocha :	$A_{\text{ref}} = 0,666 \text{ m}^2$
Súčiniteľ konštrukcie :	$C_s C_d = 1.835$
<b>Sila vetra pôsobiaca na konštrukciu :</b>	<b><math>F_w = 1,69 \text{ kN}</math></b>

#### 4.2.1.2 **Zaťaženie vetrom v smere Z**

Daný vietor sa vypočítal podľa doporučeného výpočtu pre mosty.

$$F_{w,z} = 1/2 \cdot \rho \cdot v_b^2 \cdot C \cdot A_{\text{ref},z} = \mathbf{569.50 \text{ kN}} \quad \text{excentricita sily :}$$

$$q_{w,z} = F_{w,z} / L = 4.38 \text{ kN/m} \quad e = b/4 = 1.025 \text{ m}$$

#### 4.2.1.3 **Zaťaženie vetrom v smere Y (rovnobežne s osou mosta)**

V pozdĺžnom smere Y sa berie 50%-ná hodnota z priečného smeru vetra X.

### 4.2.2 **Zaťaženie účinkami teploty**

Zaťaženie teplotou je stanovené prostredníctvom normy STN EN 1991-1-5 pre požadované zložky.

#### 4.2.2.1 **Rovnomerná zložka teploty mosta**

Teplota vzduchu sa získala z mapy s izotermami, ktorá sa nachádza v norme STN EN 1991-1-5/NA.

- Min. teplota vzduchu v tieni :  $T_{\text{min}} = -26^\circ\text{C}$
- Max. teplota vzduchu v tieni :  $T_{\text{max}} = 40^\circ\text{C}$
- Začiatková teplota mosta :  $T_0 = 10^\circ\text{C}$
- Typ nosnej konštrukcie mosta : Typ 2 (ocel') Typ 3 (betón)

Charakteristická hodnota maximálneho rozsahu zložky rovnomernej teploty mosta pri skracovaní :

.....  $\Delta T_{N,\text{con}} = -32^\circ\text{C}$  (ocel');  $-28^\circ\text{C}$  (betón)

Charakteristická hodnota maximálneho rozsahu zložky rovnomernej teploty mosta pri predlžovaní :

.....  $\Delta T_{N,\text{exp}} = 34^\circ\text{C}$  (ocel');  $32^\circ\text{C}$  (betón)

#### 4.2.2.2 **Zložka teplotného spádu**

Uvažuje sa so zvislou lineárnou zložkou (postup 1). Pri výpočte teplotného spádu sa zohľadňuje hrúbka povrchovej úpravy.

- Horný povrch teplejší ako spodný povrch :  $\Delta T_{M,\text{heat}} = 12,6^\circ\text{C}$  (ocel');  $10,5^\circ\text{C}$  (betón)
- Spodný povrch teplejší ako horný povrch :  $\Delta T_{M,\text{cool}} = -11,7^\circ\text{C}$  (ocel');  $-7,2^\circ\text{C}$  (betón)

### 4.2.3 **Zaťaženie chodníkov, komunikácií pre cyklistov a lávok pre chodcov**

Zaťaženie chodníkov je stanovené prostredníctvom normy STN EN 1991-2

#### 4.2.3.1 **Rovnomerné spojité zaťaženie**

Pri návrhu lávok pre chodcov spojitú rovnomernú zaťaženie „ $q_{fk}$ “ sa definuje a aplikuje pozdĺžne a priečne len v najnepriaznivejších častiach vplyvovej plochy.

$$\text{Charakteristická hodnota :} \dots\dots\dots 2,5 \text{ kN/m}^2 \leq q_{fk} = 2,0 + \frac{120}{L+30} \leq 5,0 \text{ kN/m}^2 = 2,75 \text{ kN/m}^2$$

#### 4.2.3.2 **Sústredené bremeno**

Charakteristická hodnota sústredeného bremena „ $Q_{fwk}$ “ pôsobiaceho na štvorcovú plochu so stranami 0,10m sa rovná hodnote 10kN.

#### 4.2.3.3 Služobné vozidlo

*Služobné vozidlo sa na lávke neuvažuje, nakoľko sú navrhované trvalé opatrenia na zamedzenie vjazdu všetkých vozidiel na lávku pre chodcov resp. cyklistov.*

#### 4.2.3.4 Vodorovná sila

Vodorovná sila „ $Q_{flk}$ “ sa uvažuje ako súčasne pôsobiaca spolu so zodpovedajúcim zvislým zaťažením, ale neuvažuje sa súčasne so sústredeným bremenom „ $Q_{fwk}$ “.

Charakteristická hodnota vodorovnej sily sa má brať rovná väčšej z nasledujúcich dvoch hodnôt :

- 10% celkového zaťaženia zodpovedajúceho  $\Sigma q_{flk} (L \cdot b)$
- 60% celkovej hmotnosti služobného vozidla  $\Sigma Q_{sv}$

Hodnota vodorovnej sily : .....  $Q_{flk} = 146kN$

#### 4.2.4 Zaťaženia na zábradlia

Pri mostoch je trieda C odporúčaná najnižšia zaťažovacia trieda. Minimálnou hodnotou pre lávky pre chodcov a chodníky mostov je premenné zaťaženie, pôsobiace v najvyššej časti zábradlia v smere vodorovnom alebo zvislom, ako zaťaženie priamkové s intenzitou 1,0kN/m.

#### 4.2.5 Zaťaženie od výstavby

Pri výstavbe predpokladáme použitie montážnej lanovej dráhy, ktorá bude ukotvená na pylóny v mieste styku so vzperou. Pri tomto zaťažení uvažujeme s montážnym vozíkom s hmotnosťou 3t a prepravovaným oceľovým dielcom, ktorý bude bez podlahy a pozdĺžnikov s hmotnosťou 17,6t (vrátane montážnej lanovej dráhy). Celkový zvislý účinok je teda 20,6t.

### 4.3 Zaťažovací model pre opory a steny priľahlé k mostu

Oblasť mimo vozovky umiestnená za oporami, mostné krídla, bočné steny a iné časti mosta, ktoré sú v dotyku so zeminou sa zaťažujú spojitým rovnomerným zvislým zaťažením veľkosti 5,0kN/m<sup>2</sup>.

### 4.4 Seizmické zaťaženia „ $A_{Ed}$ “

Seizmické zaťaženie je namodelované priamo vo výpočtovom programe, kde sa zadávajú parametre seizmickej analýzy.

Informácie zo seizmického prieskumu :

Základné parametre seizmickej analýzy (STN EN 1998) :

- Trieda odolnosti (tab.NB.8.2) : .....E
- Metóda kombinácie odoziev čiastkových tvarov : .....SRSS
- Súčiniteľ správania „ $q$ “ (tab.4.1) : .....1,0
- Súčiniteľ významnosti „ $\gamma_f$ “ (tab.NA.1) : .....1,0
  - Trieda významnosti (tab.NA.1) : .....I
- Kategória podložia (tab.NB1.1) : .....C
- Referenčné špičkové seizmické zrýchlenie „ $a_{gR}$ “ : .....0,63ms<sup>-2</sup>
- Kombinačný súčiniteľ pre dopravu (NA.2.15) : ..... $\psi_{2,1} = 0,2$



## 5 Výpočtový model lávky

### 5.1 Zostavenie výpočtového modelu lávky

Výpočtový model lávky je zostavený v programe STRAP ako 3D priestorový prúto-doskový model. Všetky prvky sú definované svojimi geometrickými a materiálovými vlastnosťami/ charakteristikami.

Medziľahlé pole je tvorené priehradovou priestorovou konštrukciou s oceľovými prútmi. Pochôdzna časť je modelovaná z doskových prvkov, ktoré zaisťujú priečnu stabilitu. Pozdĺžniky sú modelované ako T prierezy s pochôdznym plechom. Pozdĺžniky sú tuho spojené s priečnikmi. Priečniky sú z prútov, ktoré sú tvorené zo zdvojených prierezov IPN280 (v mieste uchytenia lán) UPN260 v nábehovej časti a UPN200 v stredovej časti. Horný pás je z prútov, ktorého prierez tvoria oceľové kruhové prierezy. Diagonály spolu so šikmými zvislicami sú rovnakého kruhového prierezu. Spodný pás je kruhového prierezu. Priehradová konštrukcia je zakotvená do krajných železobetónových dosiek prostredníctvom horného pásu.

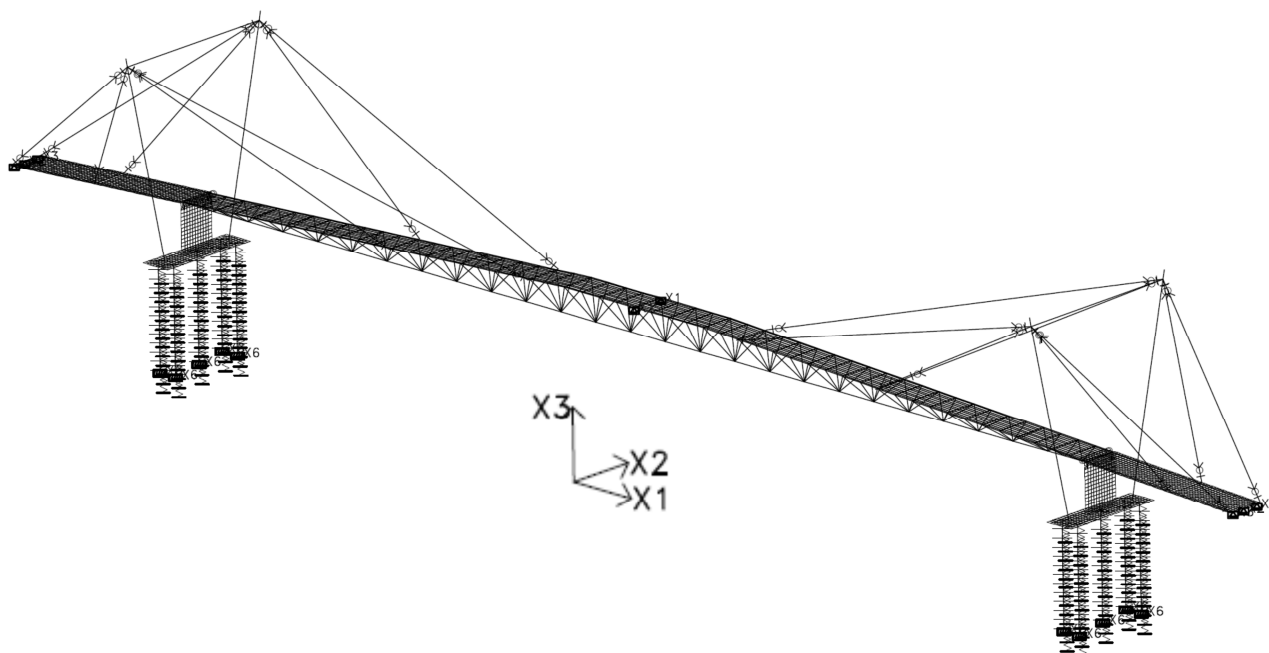
Krajné polia tvoria železobetónové dosky modelované ako plošné prvky.

Celková nosná konštrukcia je zavesená na oceľových lanách, ktoré sú uchytené na masívnych oceľových kruhových pylónoch. Pylóny sú spojené vzperou. Laná sú modelované ako tuhé prvky, ktoré majú znížený modul pružnosti. Laná sú kĺbovo pripojené a definované len na ťah. Medziľahlé podpory sú z plošných prvkov a založené prostredníctvom pilót, ktoré sú na pružných podperách.

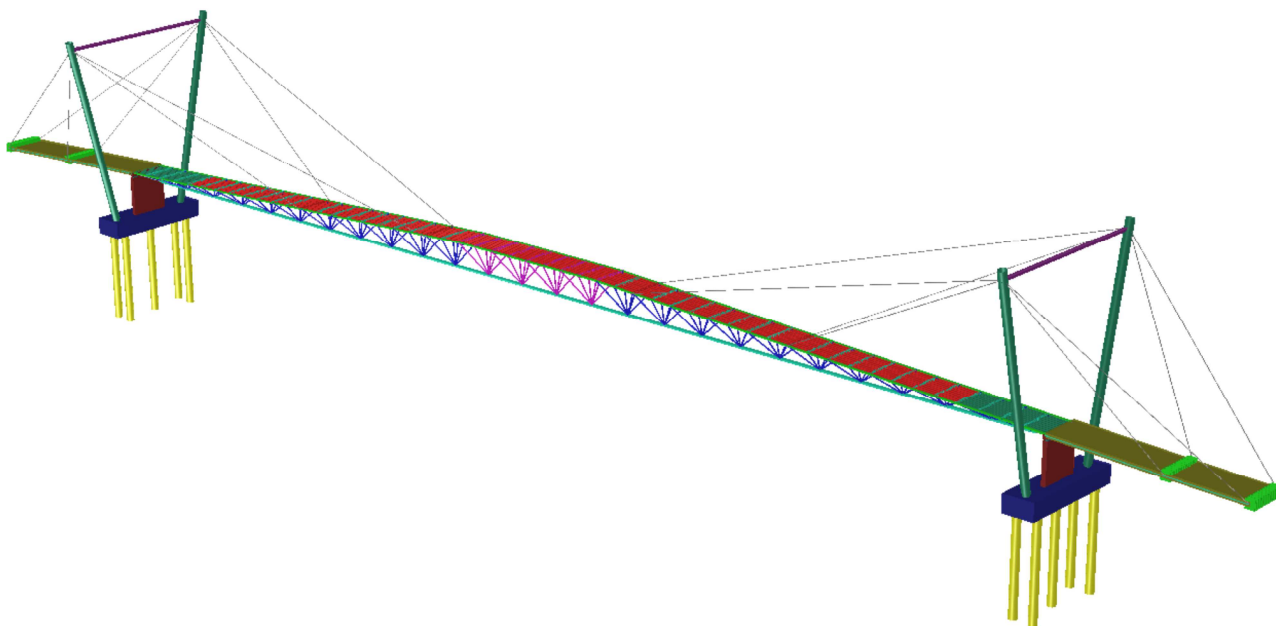
Analýza fáz výstavby je priamo namodelovaná v danom výpočtovom modeli. Pri výstavbe je uvažované celkové podopretie ŽB dosák krajných polí a začiatku oceľovej priehradovej konštrukcie pomocou zvislej podpory umiestnenej na začiatok spodného pásu.

#### Fázy výstavby sú nasledovné :

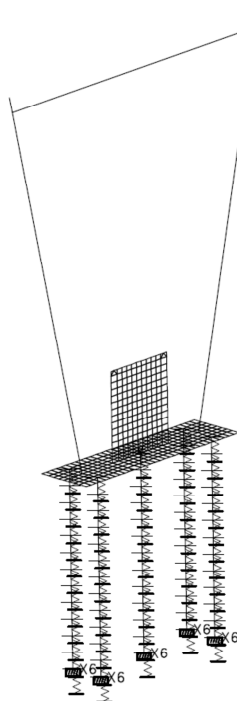
1. Zhotovenie stredovej podpory
2. Vybudovanie opory, oceľových lán a krajného poľa, ktoré bude počas celej fázy výstavby podopreté na debnení. Vo výpočtovom modeli bolo krajné pole celoplošne podopreté a fixované voči vodorovným pohybom.
3. Uloženie prvého oceľového segmentu bez podlahy a pozdĺžnikov zaveseného na oceľových lanách s doplnením stabilizačných lán, ktoré sú v modeli definované cez pružné podpory s účinkom pre vodorovný smer. Začiatok segmentu bude podopretý, v modeli nedefinované ako bodové podopretie spodného pásu zvislou podperou.
4. Zavesenie montážnej dráhy a uloženie nasledujúceho segmentu. V modeli je doplnený ďalší segment a namodelované bodové zaťaženie vystihujúce lanovú dráhu s montážnym vozíkom a nasledovným segmentom.
5. Doplnený ďalší segment so zhotovením oceľových lán a doplnením stabilizačných lán, ktoré sú namodelované ako pružné podpory vo vodorovnom smere.
6. Doplnený predposledný segment, po ktorom bude už len doplnený posledný segment, ktorý spojí obe strany oceľovej konštrukcie.



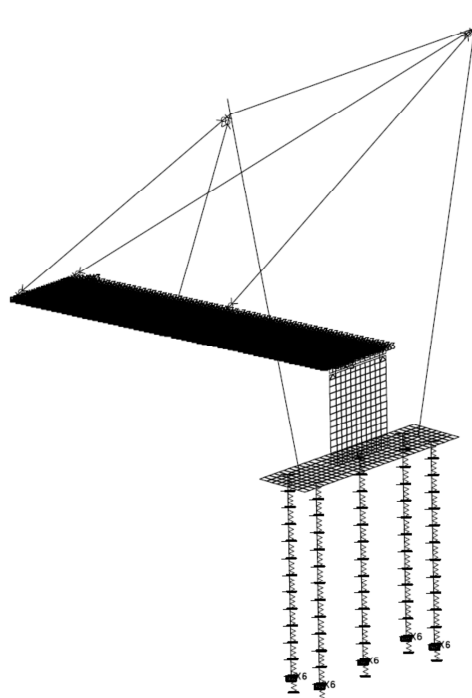
Obr. Štádium prevádzky - prúto-doskový model



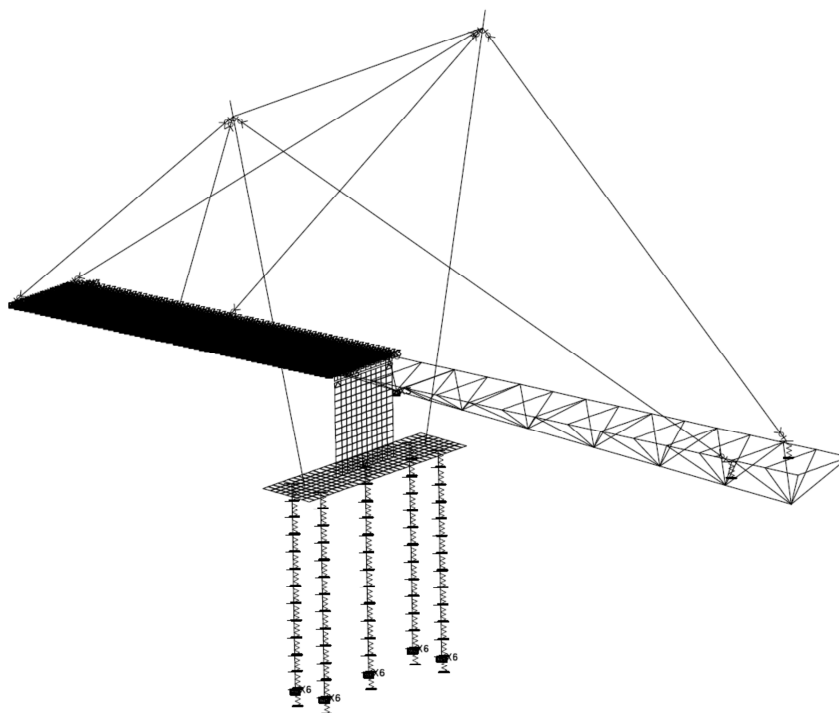
Obr. Štádium prevádzky - rendering modelu



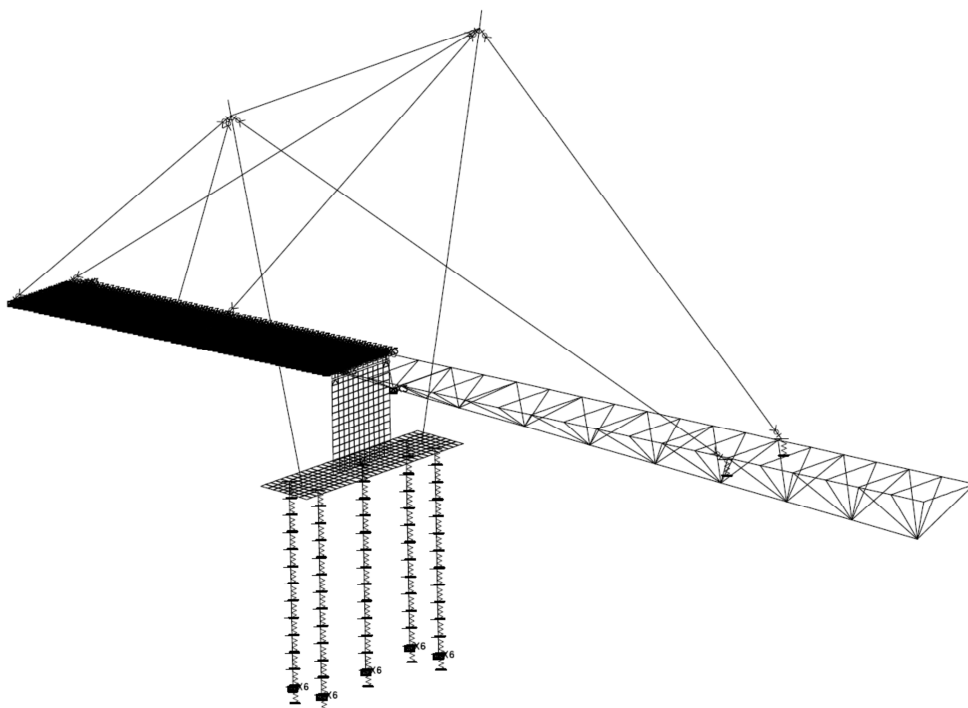
Obr. Štádium výstavby - fáza 1 : zhotovená stredová podpera, zaťažená účinkom vetra



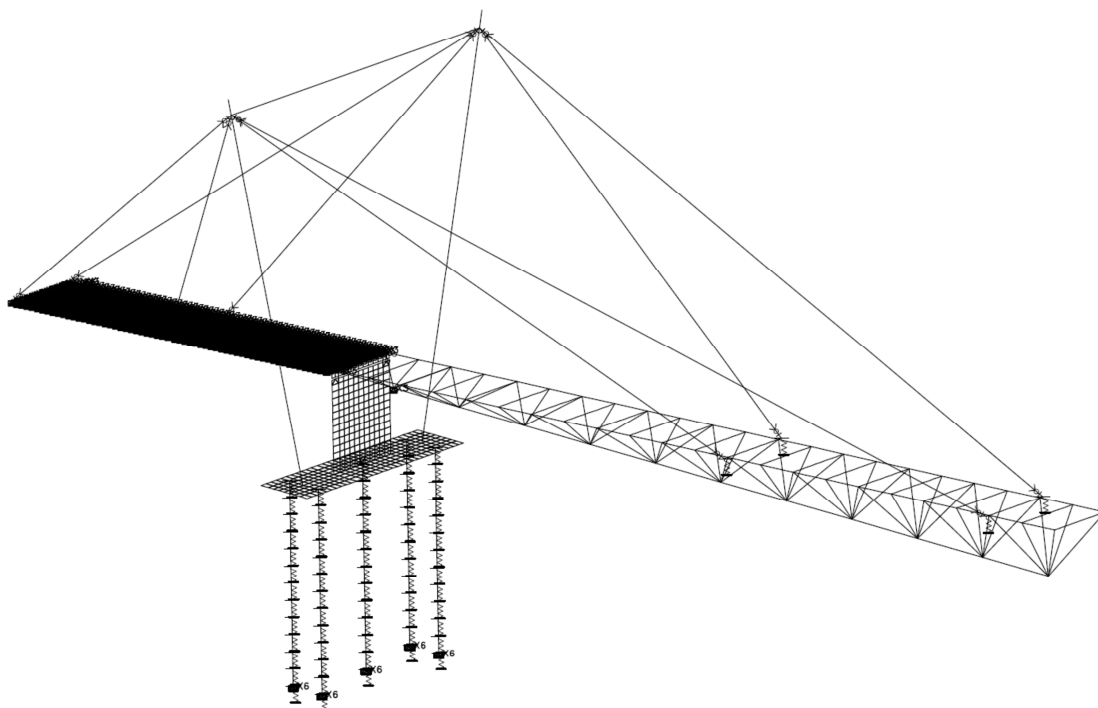
Obr. Štádium výstavby - fáza 2 : zhotovené krajné pole celoplošne podopreté a zafixovanie vodorovného pohybu so zaťažením stredovej podpory od účinku vetra



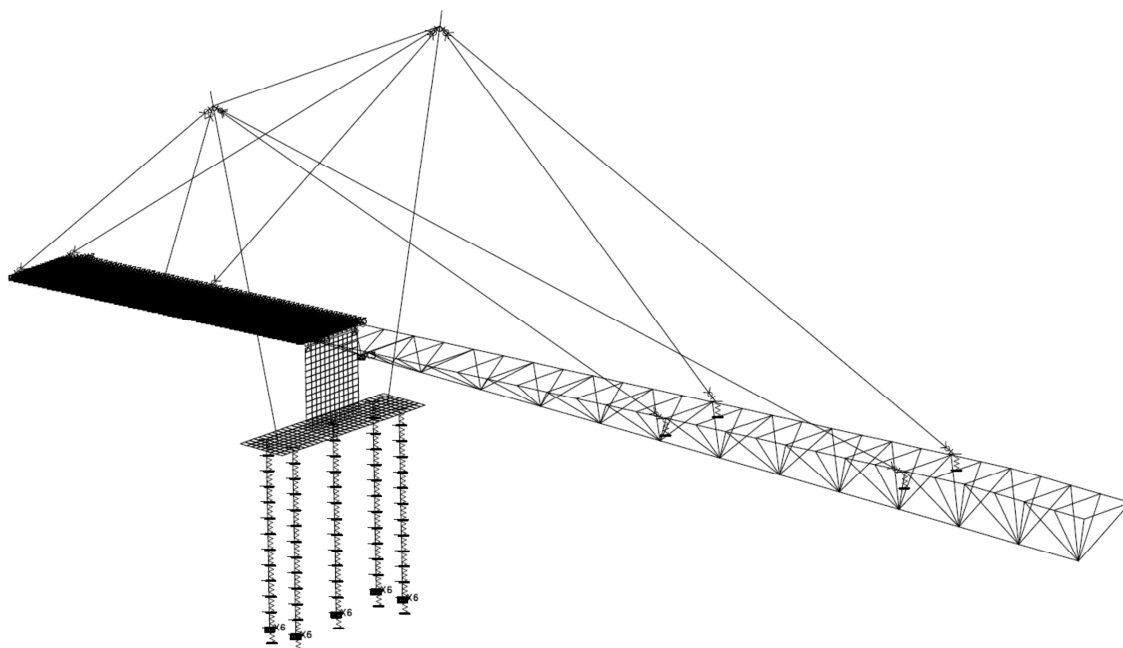
Obr. Štádium výstavby - fáza 3 : osadenie prvého ocelového segmentu s bodovým podopretím na začiatku spodného pásu a namodelovaným pružným podopretím simulujúcim stabilizačné ocelové laná, so zaťažením od vetra na spodný a horný pás



Obr. Štádium výstavby - fáza 4 : osadenie ďalšieho oceľového segmentu so zaťažením od vetra na spodný a horný pás a doplneným zaťažením od montážnej lanovej dráhy

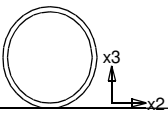


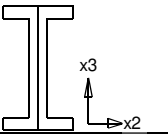


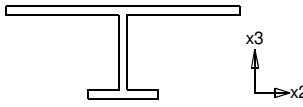
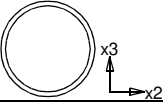


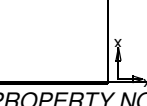

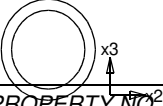
Obr. Štádium výstavby - fáza 5 : osadenie ďalšieho oceľového segmentu a oceľových hlavných lán s doplnením stabilizačných lán modelovaných ako pružné podopretie a so zaťažením od vetra na spodný a horný pás a doplneným zaťažením od montážnej lanovej dráhy



Obr. Štádium výstavby - fáza 6 : osadenie ďalšieho oceľového segmentu so zaťažením od vetra na spodný a horný pás a doplneným zaťažením od montážnej lanovej dráhy

### 5.1.1 Prierezy

SECTION PROPERTY TABLE (units - mm.)					
<b>PROPERTY NO. 1 - Spodny pas</b>					
A=0.1626E+05	I2=0.2423E+09	I3=0.2423E+09	J=0.4847E+09	SF2=0.530	SF3=0.530
Material = 4 - Ocel	Perimeter=1130.9				
h2=360.000	h3=360.000	e2=180.000	e3=180.000		
Spodny pas D =360.0mm t =15.0mm					
					
<b>PROPERTY NO. 2 - Horny pas</b>					
A=0.7540E+04	I2=0.5438E+08	I3=0.5438E+08	J=0.1088E+09	SF2=0.530	SF3=0.530
Material = 4 - Ocel	Perimeter=785.39				
h2=250.000	h3=250.000	e2=125.000	e3=125.000		
Horny pas D =250.0mm t =10.0mm					
					
<b>PROPERTY NO. 3 - Diagonaly</b>					
A=0.4712E+04	I2=0.1331E+08	I3=0.1331E+08	J=0.2663E+08	SF2=0.530	SF3=0.530
Material = 4 - Ocel	Perimeter=502.65				
h2=160.000	h3=160.000	e2=80.000	e3=80.000		
Diagonaly D =160.0mm t =10.0mm					
					
<b>PROPERTY NO. 4 - ][ UPN200</b>					
A=0.6440E+04	I2=0.3820E+08	I3=0.5562E+07	J=0.2380E+06	SF2=0.500	SF3=0.500
Material = 4 - Ocel	Perimeter=966.00				
h2=150.000	h3=200.000	e2=75.000	e3=100.000		
Hot rolled ][ UPN200 h =200.0mm tw=8.5mm bf=75.0mm tf=11.5mm d =0.0mm					
					
<b>PROPERTY NO. 5 - Pozdlník</b>					
A=0.6151E+04	I2=0.1623E+08	I3=0.4456E+08	J=0.2410E+06	SF2=0.500	

SECTION PROPERTY TABLE (units - mm.)					
Material = 4 - Ocel		Perimeter=1270.0		SF3=0.500	
h2=400.000	h3=128.000	e2=200.000	e3=81.197		
		Pozdĺznik			
		h =128.0mm		tw=13.0mm	
		bf1=400.0mm		tf1=8.0mm	
		bf2=120.0mm		tf2=13.0mm	
PROPERTY NO. 6 - Pylon					
A=0.6068E+05	I2=0.5851E+10	I3=0.5851E+10	J=0.1170E+11	SF2=0.530	
Material = 4 - Ocel		Perimeter=2827.4		SF3=0.530	
h2=900.000	h3=900.000	e2=450.000	e3=450.000		
		Pylon			
		D =900.0mm			
		t =22.0mm			
PROPERTY NO. 7 - Vzpera pylonu					
A=0.1382E+05	I2=0.3347E+09	I3=0.3347E+09	J=0.6694E+09	SF2=0.530	
Material = 4 - Ocel		Perimeter=1413.7		SF3=0.530	
h2=450.000	h3=450.000	e2=225.000	e3=225.000		
		Vzpera pylonu			
		D =450.0mm			
		t =10.0mm			
PROPERTY NO. 8 - Lano					
A=0.4418E+04	I2=0.1553E+07	I3=0.1553E+07	J=0.3106E+07	SF2=0.890	
Material = 5 - Lano		Perimeter=235.61		SF3=0.890	
h2=75.000	h3=75.000	e2=37.500	e3=37.500		
		Lano			
		D =75.0mm			
PROPERTY NO. 9 - Mostovková doska ŽB					
Thickness =		500.000			
Material = 2 - C30/37					
PROPERTY NO. 10 - Medziľahlá ŽB stena					
Thickness =		500.000			
Material = 2 - C30/37					
PROPERTY NO. 11 - Základ					
Thickness =		2000.000			
Material = 2 - C30/37					
PROPERTY NO. 12 - Lozisko					
A=0.1500E+06	I2=0.1125E+10	I3=0.3125E+10	J=0.2817E+10	SF2=0.850	
Material = 4 - Ocel		Perimeter=1600.0		SF3=0.850	
h2=500.000	h3=300.000	e2=250.000	e3=150.000		
		Lozisko			
		H =300.0mm			
		B =500.0mm			
PROPERTY NO. 13 - Piloty					
A=0.6362E+06	I2=0.3221E+11	I3=0.3221E+11	J=0.6441E+11	SF2=0.890	
Material = 3 - C25/30		Perimeter=2827.4		SF3=0.890	
h2=900.000	h3=900.000	e2=450.000	e3=450.000		
		Piloty			
		D =900.0mm			
PROPERTY NO. 14 - Krajne diagonaly					
A=0.1005E+05	I2=0.3267E+08	I3=0.3267E+08	J=0.6535E+08	SF2=0.530	
Material = 4 - Ocel		Perimeter=565.48		SF3=0.530	
h2=180.000	h3=180.000	e2=90.000	e3=90.000		
		Krajne diagonaly			
		D =180.0mm			
		t =20.0mm			
PROPERTY NO. 15 - ]I UPN260					
A=0.9660E+04	I2=0.9640E+08	I3=0.1172E+08	J=0.5100E+06	SF2=0.500	
Material = 4 - Ocel		Perimeter=1200.0		SF3=0.500	
h2=180.000	h3=260.000	e2=90.000	e3=130.000		
		Hot rolled		]I UPN260	
		h =260.0mm		tw=10.0mm	
		bf=90.0mm		tf=14.0mm	

### SECTION PROPERTY TABLE (units - mm.)

**PROPERTY NO. 16 - Pochôdzny plech**

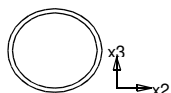
Thickness = 8.000

Material = 4 - Ocel , 9 - Orto

**PROPERTY NO. 18 - Diagonaly v strede**

A=0.2435E+04 I2=0.7319E+07 I3=0.7319E+07 J=0.1464E+08 SF2=0.530  
 Material = 4 - Ocel Perimeter=502.65 SF3=0.530

h2=160.000 h3=160.000 e2=80.000 e3=80.000

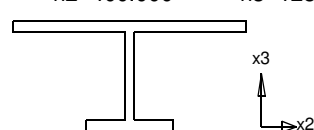


Diagonaly v strede  
 D =160.0mm  
 t =5.0mm

**PROPERTY NO. 20 - Pozdlník na kraji**

A=0.7264E+04 I2=0.2007E+08 I3=0.4720E+08 J=0.4293E+06 SF2=0.500  
 Material = 4 - Ocel Perimeter=1324.0 SF3=0.500

h2=400.000 h3=128.000 e2=200.000 e3=72.846

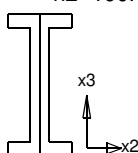


Pozdlník na kraji  
 h =128.0mm tw=16.0mm  
 bf1=400.0mm tf1=8.0mm  
 bf2=150.0mm tf2=16.0mm

**PROPERTY NO. 21 - krajný priečník**

A=0.1066E+05 I2=0.1256E+09 I3=0.1480E+08 J=0.6200E+06 SF2=0.500  
 Material = 4 - Ocel Perimeter=1280.0 SF3=0.500

h2=190.000 h3=280.000 e2=95.000 e3=140.000

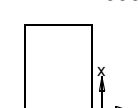


Hot rolled ] UPN280  
 h =280.0mm tw=10.0mm  
 bf=95.0mm tf=15.0mm  
 d =0.0mm

**PROPERTY NO. 22 - Priečník ŽB doska**

A=0.1000E+07 I2=0.8333E+11 I3=0.8333E+11 J=0.1408E+12 SF2=0.850  
 Material = 1 - C35/45 Perimeter=4000.0 SF3=0.850

h2=1000.00 h3=1000.00 e2=500.000 e3=500.000



Priečník doska  
 H =1000.0mm  
 B =1000.0mm

### 5.1.2 Kombinácie zaťažovacích stavov

#### LOAD CASES LIST

no.	no. in results	stage no.	name
1	1		G0 Vlastná tiaž
2	2	qfk-1	Zať. chodcami - na celom moste
3	3	qfk-2	Zať. chodcami - na ocelevej konštrukcii
4	4	qfk-3	Zať. chodcami - na ŽB doskách
5	5	qfk-4	Zať. chodcami - na polovici ocelevej konštrukcii (v pozdĺžnom smere)
6	6	qfk-5	Zať. chodcami - na ocelevej konštrukcii na polovici medzi vnútornými lanami
7	7	qfk-6	Zať. chodcami - na ocelevej konštrukcii na polovici od medziľahlých podpíer po
8	8	qfk-7	Zať. chodcami - na polovici ocelevej konštrukcii medzi lanami (a)
9	9	qfk-8	Zať. chodcami - na polovici ocelevej konštrukcii medzi lanami (b)
10	10	qfk-9	Zať. chodcami - na ocelevej konštrukcii medzi lanami (a)
11	11	qfk-10	Zať. chodcami - na ocelevej konštrukcii medzi lanami (b)
12	12	qfk-11	Zať. chodcami - na ocelevej konštrukcii medzi lanami (c)
13	13	qfk-12	Zať. chodcami - na ocelevej konštrukcii medzi lanami (d)
14	14	Qfk	Pozdĺžna brzdná sila od chodcov
15	15	Fw,x	Vietor na konštrukciu v smere X (pričný smer)
16	16	Fw,y	Vietor na konštrukciu v smere Y (pozdĺžny smer)
17	17	Fw,z+	Vietor na konštrukciu v smere Z (smer hore)
18	18	Fw,z-	Vietor na konštrukciu v smere Z (smer dore)
19	19	HPTaS	Horný povrch teplejší ako spodný
20	20	SPTaH	Spodný povrch teplejší ako horný
21	21	Tn,exp	Teplota pri predlžovaní
22	22	Tn,con	Teplota pri skracovaní
23	23	qfk-3b	Zať. chodcami - na jednom krajnom poli

### LOAD CASES LIST

no.	no. in results	stage no.	name
24	24	1	1E-G+FW Zaťaženie od vlastnej tiaže a účinku vetra na pylóny
25	25	3	3E-G+FW Zaťaženie od vlastnej tiaže a účinku vetra na OK
26	26	4	4E-G+FW Zaťaženie od vlastnej tiaže a účinku vetra na OK
27	27	4	4E-G+FW+V1 Zaťaženie od vlastnej tiaže a účinku vetra na OK + vozík variant A
28	28	4	4E-G+FW+V2 Zaťaženie od vlastnej tiaže a účinku vetra na OK + vozík variant B
29	29	5	5E-G+FW+V1 Zaťaženie od vlastnej tiaže a účinku vetra na OK + vozík variant A
30	30	5	5E-G+FW+V2 Zaťaženie od vlastnej tiaže a účinku vetra na OK + vozík variant B
31	31	6	6E-G+FW+V1 Zaťaženie od vlastnej tiaže a účinku vetra na OK + vozík variant A
32	32	6	6E-G+FW+V2 Zaťaženie od vlastnej tiaže a účinku vetra na OK + vozík variant B

### GROUP DEFINITION (units - )

Group name	Load cases
qfk-a	2/ 3/ 4/ 5/ 6/ 7/ 8/ 9/ 10/ 11/ 12/ 13
qfk-b	10/ 11/ 12/ 13
Fw,k	15/ 16/ 17/ 18
Tk	19/ 20
qfk-3	4
T-axial	21/ 22

### COMBINATIONS DEFINITION (combine results)

Combination list	
1	MSU-G 1 * 1.35
2	MSU-qfk-1 1 * 1.35 +qfk-a* 1.35
3	MSU-qfk-2 1 * 1.35 +qfk-b* 1.35 +qfk-3* 1.35
4	MSU-qfk-3 1 * 1.35 +14 * 1.35 +qfk-a* 1.35
5	MSU-qfk-4 1 * 1.35 +14 * 1.35 +qfk-a* 1.35 +Tk* 0.90
6	MSU-qfk+T-5 1 * 1.35 +qfk-b* 1.35 +qfk-3* 1.35 +Tk* 0.90
7	MSU-qfk+FW-6 1 * 1.35 +14 * 1.35 +qfk-a* 1.35 +Fw,k* 0.45
8	MSU-qfk+FW-7 1 * 1.35 +qfk-b* 1.35 +Fw,k* 0.45 +qfk-3* 1.35
9	MSU-T-8 1 * 1.35 +Tk* 1.50
10	MSU-T+qfk-9 1 * 1.35 +qfk-a* 0.54 +Tk* 1.50
11	MSU-T+qfk-10 1 * 1.35 +qfk-b* 0.54 +qfk-3* 0.54 +Tk* 1.50
12	MSU-Fw-11 1 * 1.35 +Fw,k* 1.50
13	MSU-Fw+qfk-12 1 * 1.35 +qfk-a* 0.54 +Fw,k* 1.50
14	MSU-Fw+qfk-13 1 * 1.35 +qfk-b* 0.54 +Fw,k* 1.50 +qfk-3* 0.54
15	MSU-T axial 1 * 1.35 +T-axial* 1.50
16	MSU-qfk+T axial 1 * 1.35 +14 * 1.35 +qfk-a* 1.35 +T-axial* 0.90

Kombinácie boli počítané ako nelineárne z dôvodu použitia pružinových podopretí a lán.



## 6 Návrh a posúdenie nosnej konštrukcie

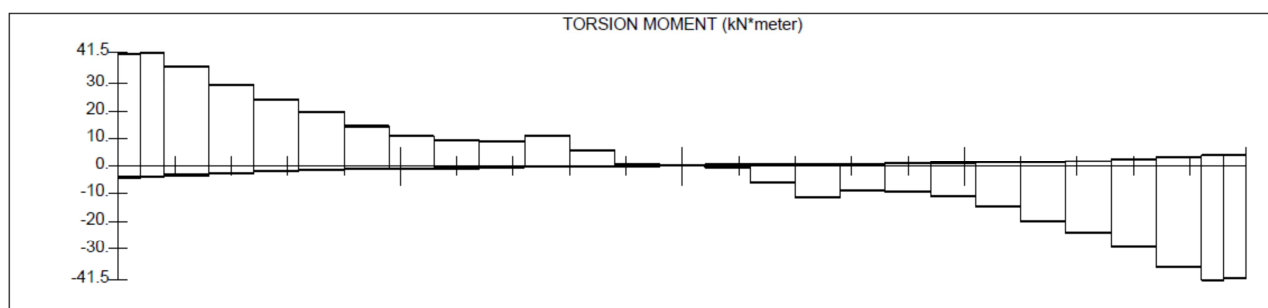
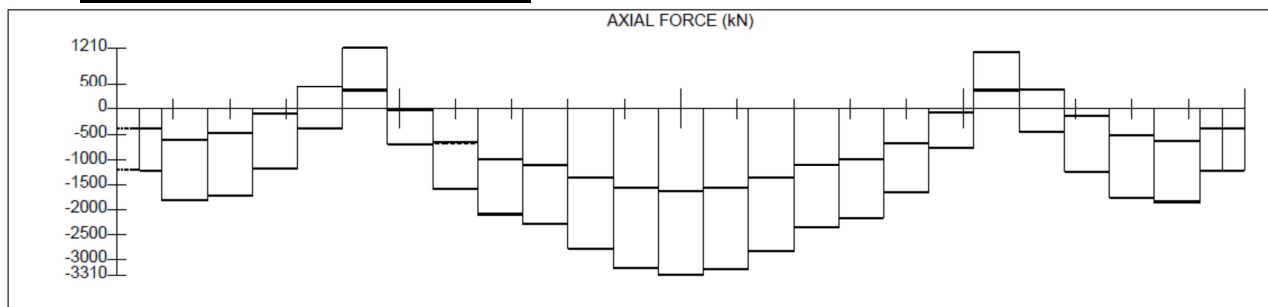
### 6.1 Oceľová priehradová konštrukcia

Oceľová priehradová nosná konštrukcia tvorí stredové pole na predmetnej lávke pre cyklistov.

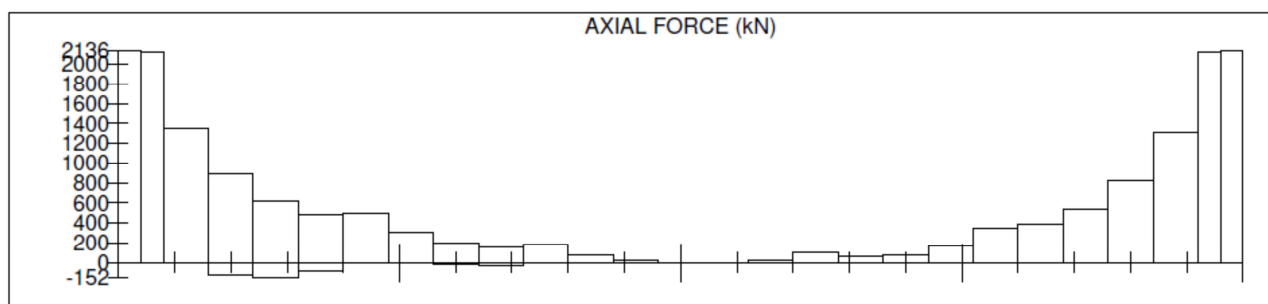
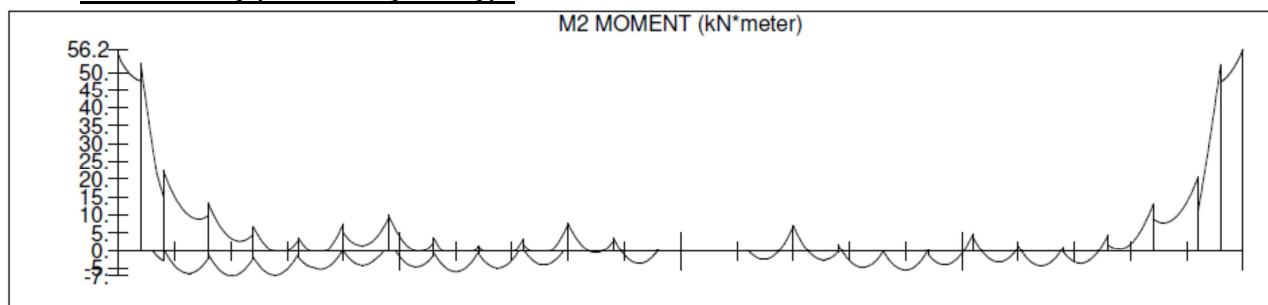
Vnútorne sily sú zobrazené len pre najnepriaznivejší nosník. Posudky sú vyobrazené na maximálne využitie daných prvkov. Pri osových silách : (+) Tlak, (-) Ťah.

#### 6.1.1 Spodný pás

##### Vnútorne sily (štádium prevádzky) :



##### Vnútorne sily (štádium výstavby) :



##### Posúdenie :

Posúdenie bolo vykonané v programe STRAP a zobrazené je percentuálne využitie prierezu pre polku konštrukcie.

27% 27% 36% 35% 26% 13% 56% 17% 32% 40% 42% 50% 55% 58%

Actual/allowable Maximum result

**Vyhovuje pre štádium prevádzky**

65% 61% 91% 64% 42% 35% 39% 31% 29% 24% 28% 11% 3%

Vyhovuje pre štádium výstavby

**Detailný posudok pre max. využitý prút v štádiu prevádzky :**

**Detailed Results Table for Beam 14**

Moments: kN\*meter , Forces: kN , Stresses: mPa , Section prop.: cm.

Beam: 14	14	15	X3 (Major axis)
	5.00		
	Kx for LTB = 1.00		

Ignore: deflections  
CONSTRAINTS

**DESIGN DATA**

- |                |       |  |             |
|----------------|-------|--|-------------|
| - Sections :   | Check | - Kx = 5.00                            | - Ky = 5.00 |
| - Steel Grade: | S355  | - Allow. Slend. : 250 (compr.)         | 300 (tens.) |
|                |       | - Allowable Deflection : 1/350         |             |
|                |       | - Tension Area Reduction Factor : 1.00 |             |

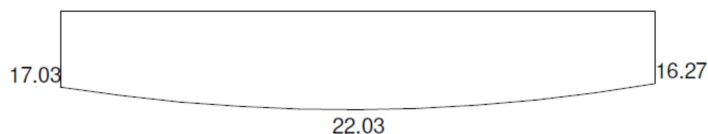
Warping end conditions: Free, Free

Section: 1: Spodny pas

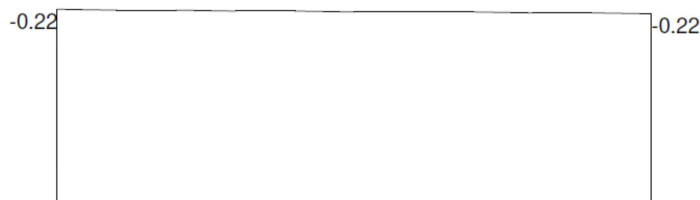
Ix = 24234.2 Iy = 24234.2cm<sup>4</sup> Wplx = 1786 Wply = 1786cm<sup>3</sup> Area = 162.6  
 D = 360.00 t = 15.00mm  
 J = 48468.4 Cw = 2692.69dm<sup>6</sup>

DESIGN COMBINATION = 121

M2 Moment Diagram



Max. AXIAL Force = 3029.22 (tens.) Max. SHEAR Force = 4.46  
 M3 Moment Diagram



Max. AXIAL Force = 3029.22 (tens.) Max. SHEAR Force = 0.00

SECTION CLASSIFICATION: \*\*\* CLASS 1 \*\*\*

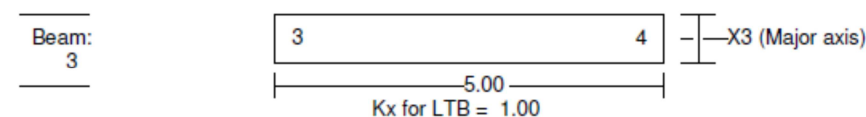
Limiting Ratios: Class 1 Class 2 Class 3  
 d/t = 24.00 < 33.1 46.3 59.6 (e = 0.814 R = -0.525 )  
 \*\* Design Strength (py) = 355.0 \*\*

DESIGN	EQUATION	FACTORS	VALUES	RESULT
M2 Moment (6.12)	Med — < 1.00 Mc	Wpl = 1786.50	Med = 22.03 Mc = 576.55	0.04
Notes:	LOW Shear Load Used for Moment Design			
Combined Stresses (Local) (6.2.9) (6.41)	(My)α (Mz)β (—) + (—) (Mny) (Mnz) < 1.00	n = 0.57735	My = 0.22 Mz = 22.03 Mny = 363.94 Mnz = 363.94 α = 2.00 β = 2.00	0.00

DESIGN	EQUATION	FACTORS	VALUES	RESULT
Axial Force (6.6)	$\frac{N_{ed}}{N_{pl,rd}} < 1.00$	$(kL/r)_x \approx 205$ $(kL/r)_y \approx 205$	$N_{ed} = 3029.22$ $A_g = 162.58$ $f_y = 355.00$	0.58
Bending and Axial Compression 6.3.3	$\frac{N_{ed}}{N_{bmin}} + \frac{k_y M_{y,ed}}{M_{cy}} + \frac{k_z M_{z,ed}}{M_{cz}} < 1.00$ Critical Segment from	$C_{my} = 0.99$ $C_{mz} = 0.91$ $M_y = 0.22$ 0.00 to 5.00	$k_y = 0.60$ $k_z = 0.91$ $\mu_x = 0.80$ $\mu_y = 0.80$ $M_z = 22.03$	0.04
Shear Torsion stresses (Max. total)	$\frac{V_{sd}}{V_{pl}} + \frac{\tau_t}{F_v} < 1.00$ Max. at Z = 5.00	$\phi' = 0.0000$ $V_x = 0.00$ $V_y = -4.46$ $T = -0.01$	$\tau_{sd} = 0.43$ $\tau_t = 0.00$ $F_v = 186.31$	0.00

**Detailný posudok pre max. využitý prút v štádiu výstavby :**

Moments: kN\*meter , Forces: kN , Stresses: mPa , Section prop.: cm.



Ignore: deflections  
CONSTRAINTS

- Sections : Check  
- Steel Grade: S355

**DESIGN DATA**

-  $K_x = 3.20$  -  $K_y = 3.20$   
- Allow. Slend. : 250 (compr.) 300 (tens.)  
- Allowable Deflection : 1/350  
- Tension Area Reduction Factor : 1.00

Section: 1: Spodny pas

$I_x = 24234.2$   $I_y = 24234.2 \text{ cm}^4$   $W_{plx} = 1786$   $W_{ply} = 1786 \text{ cm}^3$   $\text{Area} = 162.6$   
 $D = 360.00$   $t = 15.00 \text{ mm}$   
 $J = 48468.4$   $C_w = 2692.69 \text{ dm}^6$

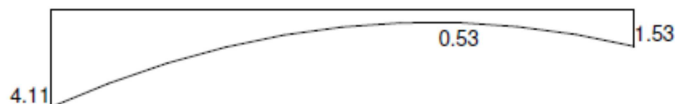
DESIGN COMBINATION = 9

M2 Moment Diagram



Max. AXIAL Force = -1354.57 (compr.) Max. SHEAR Force = 6.33

M3 Moment Diagram



Max. AXIAL Force = -1354.57 (compr.) Max. SHEAR Force = 2.20

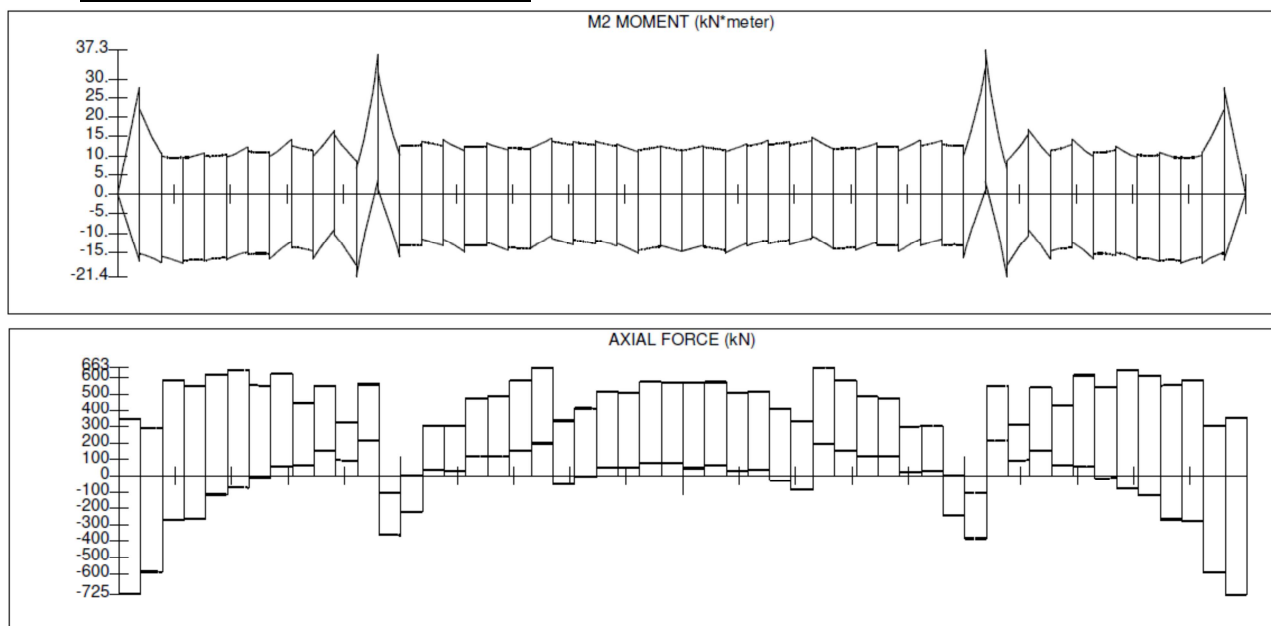
SECTION CLASSIFICATION: \*\*\* CLASS 1 \*\*\*

Limiting Ratios: Class 1 Class 2 Class 3  
 $d/t = 24.00 < 33.1$  46.3 59.6 ( $e = 0.814$   $R = 0.235$ )  
 \*\* Design Strength ( $p_y$ ) = 355.0 \*\*

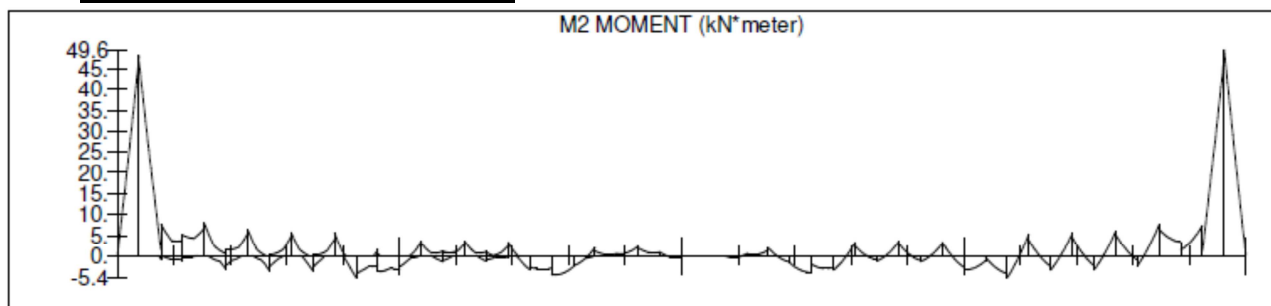
DESIGN	EQUATION	FACTORS	VALUES	RESULT
M3 Moment (6.12)	Med — < 1.00 Mc	Wpl = 1786.50	Med = 4.11 Mc = 576.55	0.01
Notes:	LOW Shear Load Used for Moment Design			
M2 Moment (6.12)	Med — < 1.00 Mc	Wpl = 1786.50	Med = 19.64 Mc = 576.55	0.03
Notes:	LOW Shear Load Used for Moment Design			
Combined Stresses (Local) (6.2.9) (6.41)	(My) $\alpha$ (Mz) $\beta$ (—) + (—) (Mny) (Mnz) — < 1.00	n = 0.25817	My = 4.11 Mz = 19.64 Mny = 539.62 Mnz = 539.62 $\alpha$ = 2.00 $\beta$ = 2.00	0.00
Axial Force 6.3.1 Note:	Ned — < 1.00 Nb,rd buckling curve used is : a	(kL/r)x = 131 (kL/r)y = 131 Xfy = 104	Ned = 1354.57 Ag = 162.58 Ncrd = 1547.53	0.88
Bending and Axial Compression 6.3.3	Ned kyMy kzMz + — + — Nbmin Mcy Mcz — < 1.00 Critical Segment from	Cmy = 0.75 Cmz = 0.57 My = 4.11	ky = 0.76 kz = 0.98 $\mu_x$ = 0.80 $\mu_y$ = 0.80 Mz = 19.64	0.91

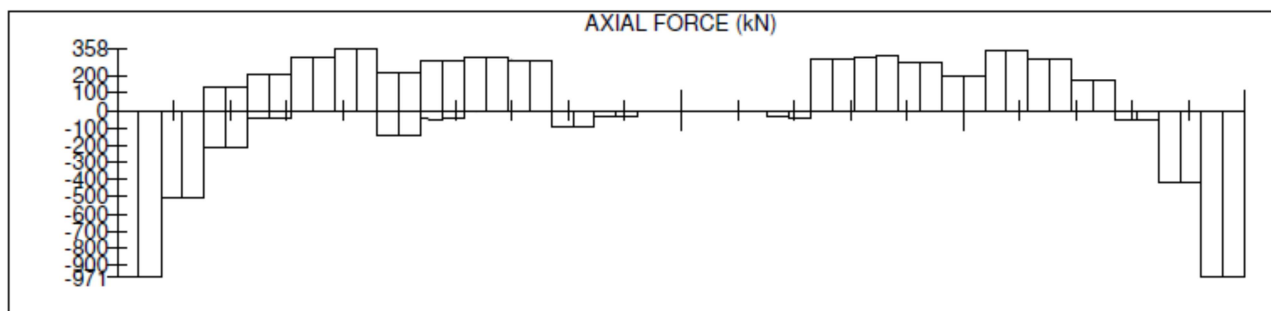
## 6.1.2 Horný pás

### Vnútrotné sily (štádium prevádzky) :



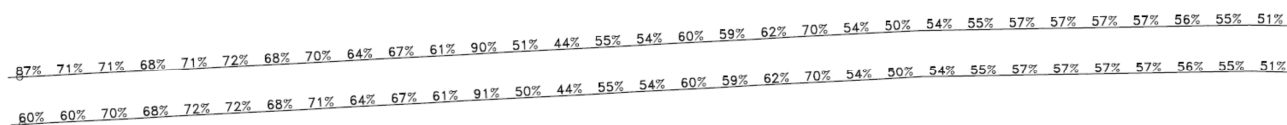
### Vnútrotné sily (štádium výstavby) :



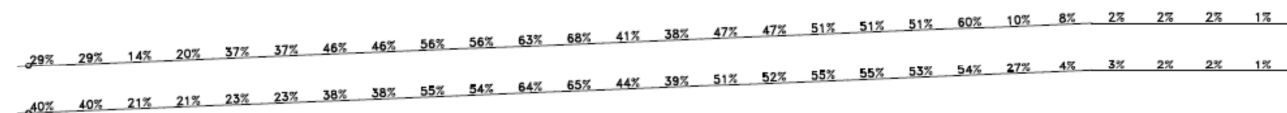


### **Posúdenie :**

Posúdenie bolo vykonané v programe STRAP a zobrazené je percentuálne využitie prierezu pre polku konštrukcie.



**Vyhovuje pre štádium prevádzky**



**Vyhovuje pre štádium výstavby**

### **Detailný posudok pre max. využitý prút v štádiu prevádzky :**

Moments: kN\*meter , Forces: kN , Stresses: mPa , Section prop.: cm.

Beam:	40	41	—X3 (Major axis)
39			

Kx for LTB = 1.00  
DESIGN DATA

#### CONSTRAINTS

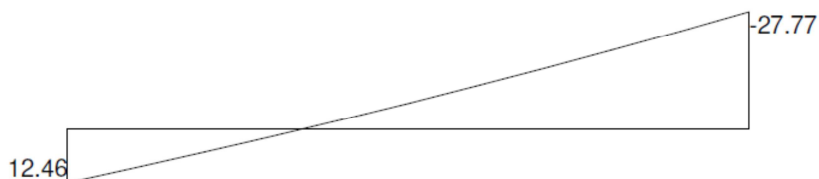
- Sections :	Check	- Kx = 2.50	- Ky = 2.50
- Steel Grade:	S355	- Allow. Slend. : 250 (compr.)	300 (tens.)
		- Allowable Deflection : 1/350	
		- Tension Area Reduction Factor : 1.00	

Section: 2: Horny pas

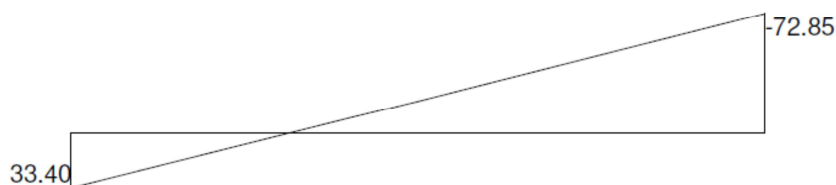
$I_x = 5438.10$   $I_y = 5438.10 \text{ cm}^4$   $W_{plx} = 576.3$   $W_{ply} = 576.3 \text{ cm}^3$  Area = 75.40  
 $D = 250.00$   $t = 10.00 \text{ mm}$   
 $J = 10876.2$   $C_w = 870.10 \text{ dm}^6$

DESIGN COMBINATION = 282

M2 Moment Diagram



Max. AXIAL Force = -1025.54 (compr.) Max. SHEAR Force = 18.42  
 M3 Moment Diagram



Max. AXIAL Force = -1025.54 (compr.) Max. SHEAR Force = 42.44

SECTION CLASSIFICATION: \*\*\* CLASS 1 \*\*\*

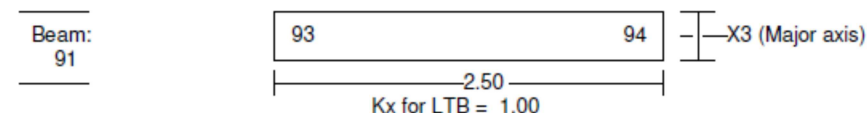
Limiting Ratios: Class 1 Class 2 Class 3  
 $d/t = 25.00 < 33.1$  46.3 59.6 (e = 0.814 R = 0.383)  
 \*\* Design Strength ( $p_y$ ) = 355.0 \*\*

DESIGN	EQUATION	FACTORS	VALUES	RESULT
V2 Shear (6.17)	$V_{ed}/V_{c,rd} < 1.00$	$A_v = 48.00$	$V_{ed} = 42.44$ $V_c = 894.32$	0.05
M3 Moment (6.12)	$\frac{M_{ed}}{M_c} < 1.00$ Notes: LOW Shear Load Used for Moment Design	$W_{pl} = 576.33$	$M_{ed} = 72.85$ $M_c = 186.00$	0.39
V3 Shear (6.17)	$V_{ed}/V_{c,rd} < 1.00$	$A_v = 48.00$	$V_{ed} = 18.42$ $V_c = 894.32$	0.02
M2 Moment (6.12)	$\frac{M_{ed}}{M_c} < 1.00$ Notes: LOW Shear Load Used for Moment Design	$W_{pl} = 576.33$	$M_{ed} = 27.77$ $M_c = 186.00$	0.15
Deflection	$\frac{defl.}{L / 350} < 1.00$		$defl = 0.00163$	0.23
Combined Stresses (Local) (6.2.9) (6.41)	$\frac{(M_y)_{\alpha}}{(M_{ny})} + \frac{(M_z)_{\beta}}{(M_{nz})} < 1.00$	$n = 0.42146$	$M_y = 72.85$ $M_z = 27.77$ $M_{ny} = 148.91$ $M_{nz} = 148.91$ $\alpha = 2.00$ $\beta = 2.00$	0.27
Axial Force 6.3.1 Note:	$\frac{N_{ed}}{N_{b,rd}} < 1.00$ buckling curve used is : a	$(kL/r)_x = 74$ $(kL/r)_y = 74$ $X_{fy} = 244$	$N_{ed} = 1025.54$ $A_g = 75.40$ $N_{crd} = 1673.03$	0.61
Bending and Axial Compression 6.3.3	$\frac{N_{ed}}{N_{bmin}} + \frac{k_y M_y}{M_{cy}} + \frac{k_z M_z}{M_{cz}} < 1.00$ Critical Segment from 0.00 to 2.50	$C_{my} = 0.42$ $C_{mz} = 0.40$ $M_y = 72.85$	$k_y = 0.61$ $k_z = 0.35$ $\mu_x = 0.77$ $\mu_y = 0.77$ $M_z = 27.77$	0.91



### **Detailný posudok pre max. využitý prút v štádiu výstavby :**

Moments: kN\*meter , Forces: kN , Stresses: mPa , Section prop.: cm.



#### **CONSTRAINTS**

- Sections : Check  
 - Steel Grade: S355

#### **DESIGN DATA**

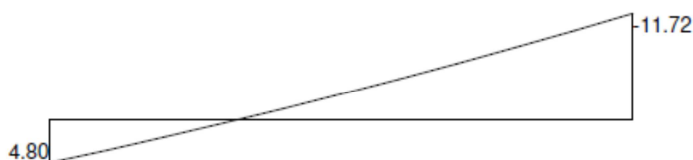
- Kx = 1.22 - Ky = 5.00  
 - Allow. Slend. : 250 (compr.) 300 (tens.)  
 - Allowable Deflection : 1/350  
 - Tension Area Reduction Factor : 1.00

Section: 2: Horny pas

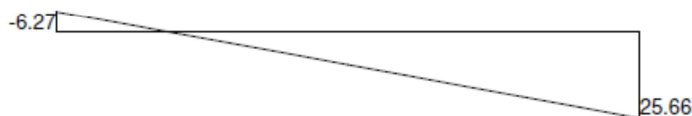
Ix = 5438.10 Iy = 5438.10cm4 Wplx = 576.3 Wply = 576.3cm3 Area = 75.40  
 D = 250.00 t = 10.00mm  
 J = 10876.2 Cw = 870.10dm6

DESIGN COMBINATION = 9

M2 Moment Diagram



Max. AXIAL Force = -351.81 (compr.) Max. SHEAR Force = 7.60  
 M3 Moment Diagram



Max. AXIAL Force = -351.81 (compr.) Max. SHEAR Force = 12.76

SECTION CLASSIFICATION: \*\*\* CLASS 1 \*\*\*

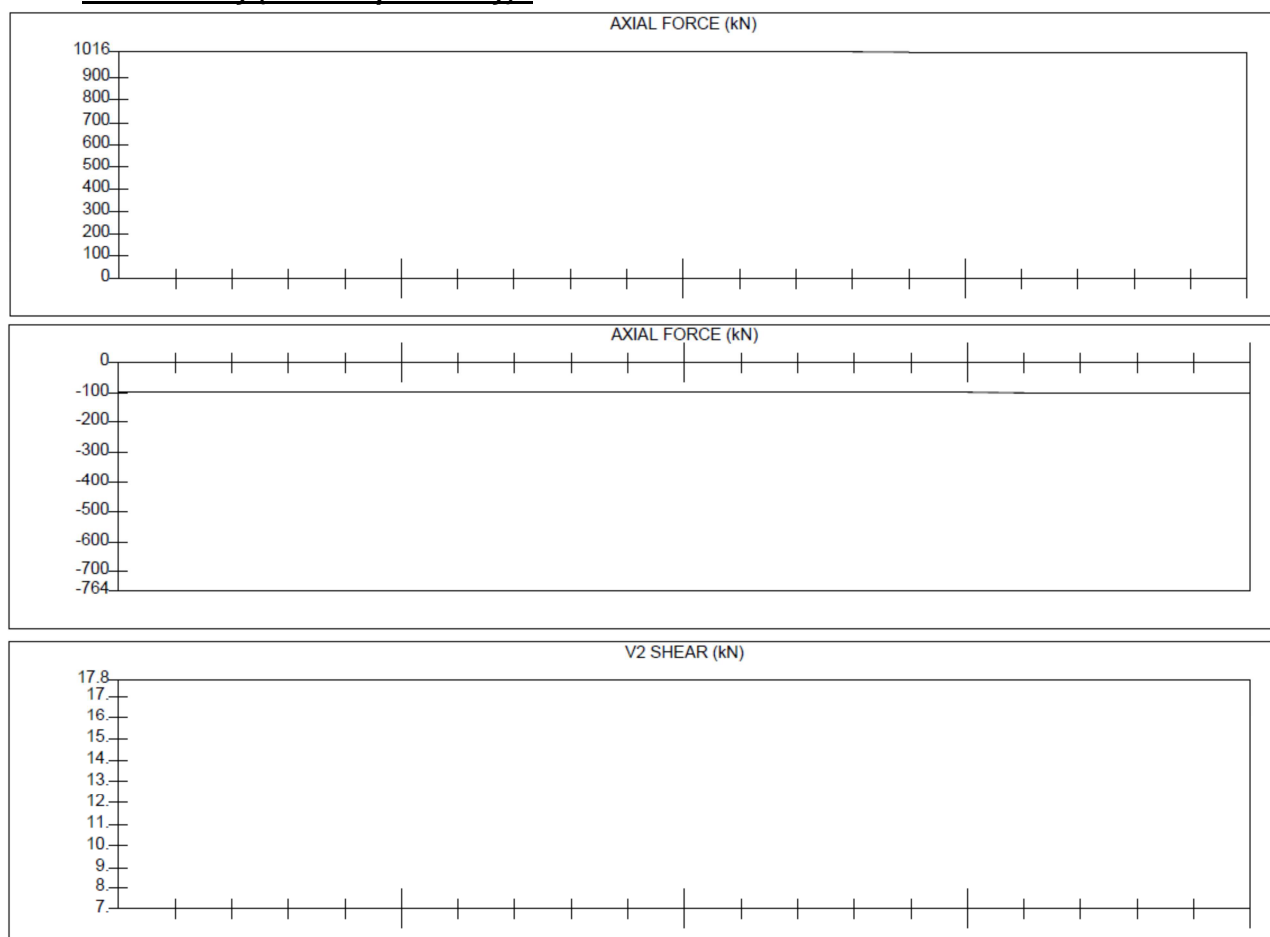
Limiting Ratios: Class 1 Class 2 Class 3  
 d/t= 25.00 < 33.1 46.3 59.6 (e = 0.814 R = 0.131 )  
 \*\* Design Strength (py) = 355.0 \*\*

DESIGN	EQUATION	FACTORS	VALUES	RESULT
V2 Shear (6.17)	Ved/Vc,rd < 1.00	Av = 48.00	Ved = 12.76 Vc = 894.32	0.01
M3 Moment (6.12)	Med Mc < 1.00	Wpl = 576.33	Med = 25.66 Mc = 186.00	0.14
Notes:	LOW Shear Load Used for Moment Design			
V3 Shear (6.17)	Ved/Vc,rd < 1.00	Av = 48.00	Ved = 7.60 Vc = 894.32	0.01
M2 Moment (6.12)	Med Mc < 1.00	Wpl = 576.33	Med = 11.72 Mc = 186.00	0.06
Notes:	LOW Shear Load Used for Moment Design			

DESIGN	EQUATION	FACTORS	VALUES	RESULT
Deflection	$\frac{\text{defl.}}{L/350} < 1.00$		$\text{defl} = 0.00055$	0.08
Combined Stresses (Local) (6.2.9) (6.41)	$\frac{(M_y)\alpha}{(M_{ny})} + \frac{(M_z)\beta}{(M_{nz})} < 1.00$	$n = 0.14458$	$M_y = 25.66$ $M_z = 11.72$ $M_{ny} = 186.00$ $M_{nz} = 186.00$ $\alpha = 2.00$ $\beta = 2.00$	0.02
Axial Force 6.3.1 Note:	$\frac{N_{ed}}{N_{b,rd}} < 1.00$ buckling curve used is : a	$(kL/r)_x = 36$ $(kL/r)_y = 147$ $X_{fy} = 85$	$N_{ed} = 351.81$ $A_g = 75.40$ $N_{crd} = 582.53$	0.60
Bending and Axial Compression 6.3.3	$\frac{N_{ed}}{N_{bmin}} + \frac{k_y M_y}{M_{cy}} + \frac{k_z M_z}{M_{cz}} < 1.00$ Critical Segment from	$C_{my} = 0.50$ $C_{mz} = 0.40$ $M_y = 25.66$ 0.00 to 2.50	$k_y = 0.31$ $k_z = 0.59$ $\mu_x = 0.27$ $\mu_y = 0.80$ $M_z = 11.72$	0.68

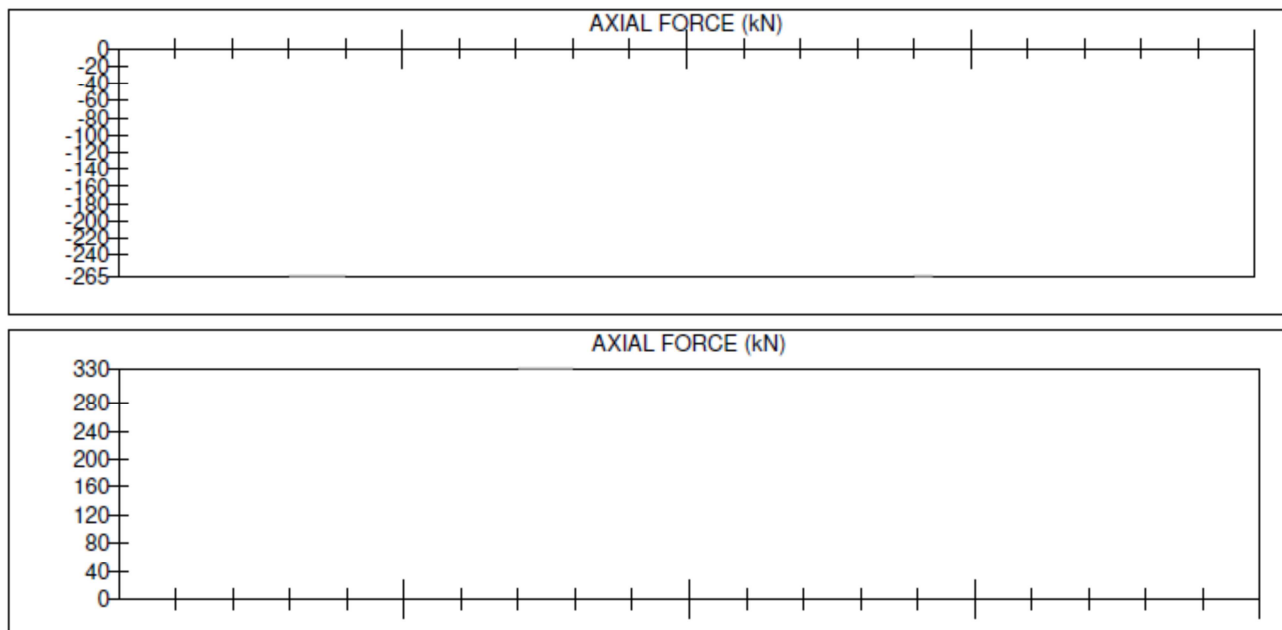
### 6.1.3 Diagonály a vzpery

#### Vnútorne sily (štádium prevádzky) :



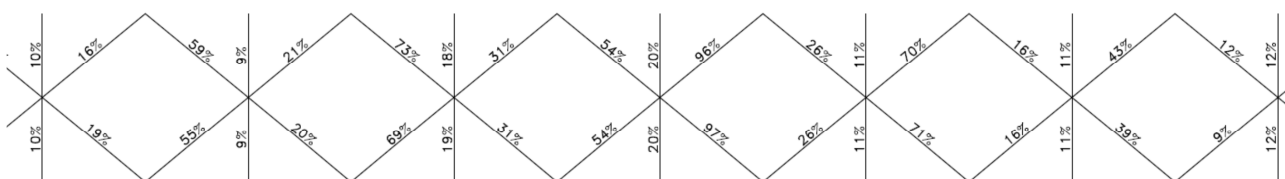


**Vnútorne sily (štádium výstavby) :**

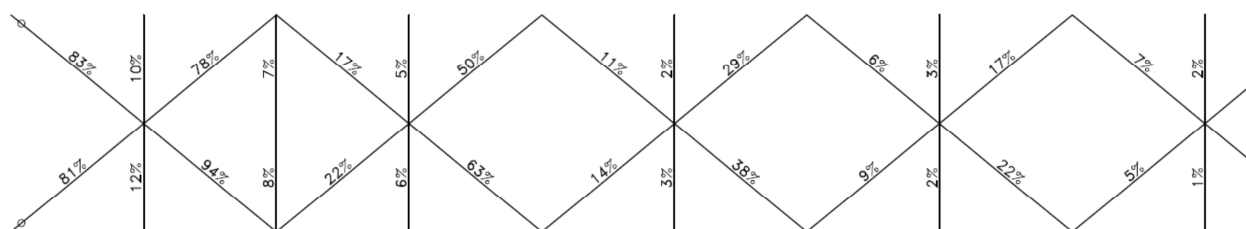


**Posúdenie :**

Posúdenie bolo vykonané v programe STRAP a zobrazené je percentuálne využitie prierezu pre polku konštrukcie.



**Vyhovuje pre štádium prevádzky**



**Vyhovuje pre štádium výstavby**

**Detailný posudok pre max. využitý prút v štádiu prevádzky :**

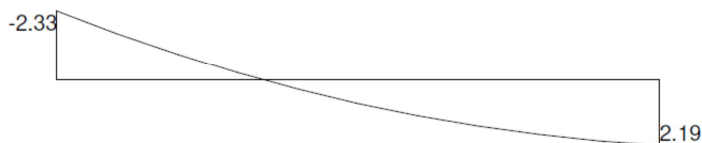
Moments: kN\*meter , Forces: kN , Stresses: mPa , Section prop.: cm.

Beam: 153	8	43	X3 (Major axis)
	4.24		
	Kx for LTB = 1.00		
CONSTRAINTS	DESIGN DATA		
- Sections :	Check	- Kx = 1.50	- Ky = 1.50
- Steel Grade:	S355	- Allow. Slend. : 250 (compr.)	300 (tens.)
		- Allowable Deflection : 1/350	
		- Tension Area Reduction Factor : 1.00	
Section: 3: Diagonals			

$I_x = 1331.25$   $I_y = 1331.25 \text{ cm}^4$   $W_{plx} = 225.3$   $W_{ply} = 225.3 \text{ cm}^3$   $\text{Area} = 47.12$   
 $D = 160.00$   $t = 10.00 \text{ mm}$   
 $J = 2662.50$   $C_w = 332.81 \text{ dm}^6$

DESIGN COMBINATION = 121

M2 Moment Diagram



Max. AXIAL Force = -486.92 (compr.) Max. SHEAR Force = 1.87  
 M3 Moment Diagram



Max. AXIAL Force = -486.92 (compr.) Max. SHEAR Force = 1.49

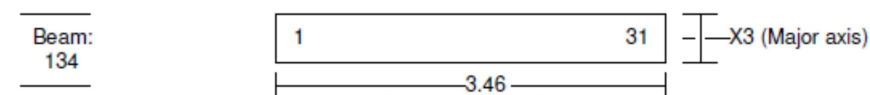
SECTION CLASSIFICATION: \*\*\* CLASS 1 \*\*\*

Limiting Ratios: Class 1 Class 2 Class 3  
 $d/t = 16.00 < 33.1$   $46.3$   $59.6$  ( $e = 0.814$   $R = 0.291$ )  
 \*\* Design Strength ( $p_y$ ) = 355.0 \*\*

DESIGN	EQUATION	FACTORS	VALUES	RESULT
M3 Moment (6.12)	$\frac{M_{ed}}{M_c} < 1.00$	$W_{pl} = 225.33$	$M_{ed} = 3.88$ $M_c = 72.72$	0.05
Notes:	LOW Shear Load Used for Moment Design			
M2 Moment (6.12)	$\frac{M_{ed}}{M_c} < 1.00$	$W_{pl} = 225.33$	$M_{ed} = 2.33$ $M_c = 72.72$	0.03
Notes:	LOW Shear Load Used for Moment Design			
Deflection	$\frac{\text{defl.}}{L / 350} < 1.00$		$\text{defl} = 0.00099$	0.08
Combined Stresses (Local) (6.2.9) (6.41)	$\frac{(M_y)_{\alpha}}{(M_{ny})} + \frac{(M_z)_{\beta}}{(M_{nz})} < 1.00$	$n = 0.32017$	$M_y = 3.88$ $M_z = 2.33$ $M_{ny} = 64.72$ $M_{nz} = 64.72$ $\alpha = 2.00$ $\beta = 2.00$	0.00
Axial Force 6.3.1 Note:	$\frac{N_{ed}}{N_{b,rd}} < 1.00$	$(kL/r)_x = 119$ $(kL/r)_y = 119$ $X_{fy} = 124$ buckling curve used is : a	$N_{ed} = 486.92$ $A_g = 47.12$ $N_{crd} = 531.10$	0.92
Bending and Axial Compression 6.3.3	$\frac{N_{ed}}{N_{bmin}} + \frac{k_y M_y}{M_{cy}} + \frac{k_z M_z}{M_{cz}} < 1.00$	$C_{my} = 0.40$ $C_{mz} = 0.40$ $M_y = 3.88$ Critical Segment from 0.00 to 4.24	$k_y = 0.69$ $k_z = 0.42$ $\mu_x = 0.80$ $\mu_y = 0.80$ $M_z = 2.33$	0.97

**Detailný posudok pre max. využitý prút v štádiu výstavby :**

Moments: kN\*meter , Forces: kN , Stresses: mPa , Section prop.: cm.



**CONSTRAINTS**

- Sections : Check  
 - Steel Grade: S355

Kx for LTB = 1.00  
**DESIGN DATA**

- Kx = 1.48 - Ky = 2.00  
 - Allow. Slend. : 250 (compr.) 300 (tens.)  
 - Allowable Deflection : 1/350  
 - Tension Area Reduction Factor : 1.00

Section: 3: Diagonal

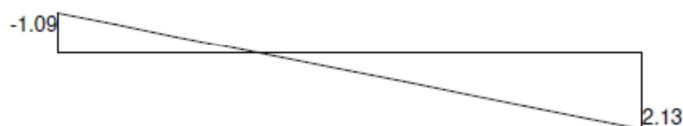
Ix = 1331.25 Iy = 1331.25cm<sup>4</sup> Wplx = 225.3 Wply = 225.3cm<sup>3</sup> Area = 47.12  
 D = 160.00 t = 10.00mm  
 J = 2662.50 Cw = 332.81dm<sup>6</sup>

DESIGN COMBINATION = 7

M2 Moment Diagram



Max. AXIAL Force = -406.24 (compr.) Max. SHEAR Force = 1.32  
 M3 Moment Diagram



Max. AXIAL Force = -406.24 (compr.) Max. SHEAR Force = 0.93

SECTION CLASSIFICATION: \*\*\* CLASS 1 \*\*\*

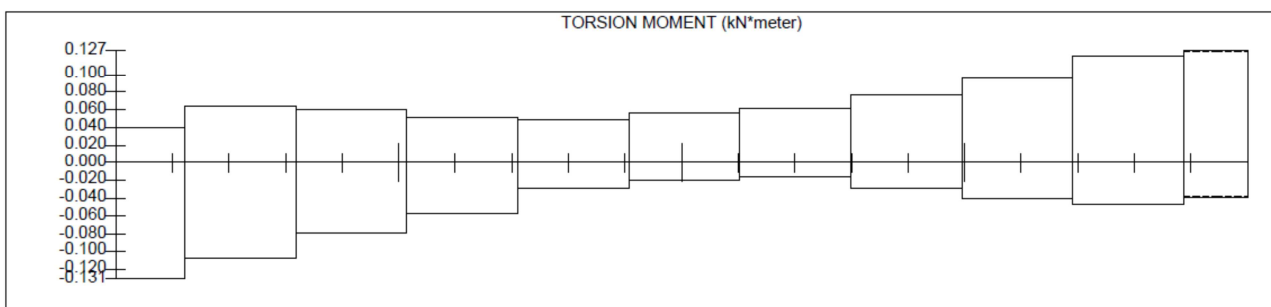
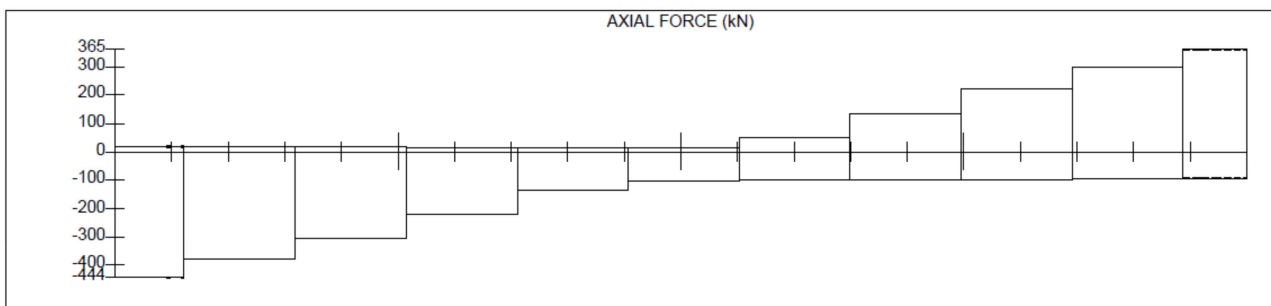
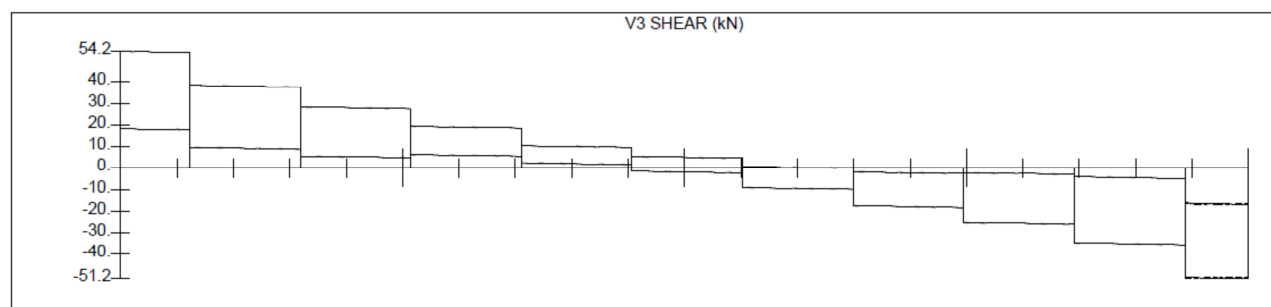
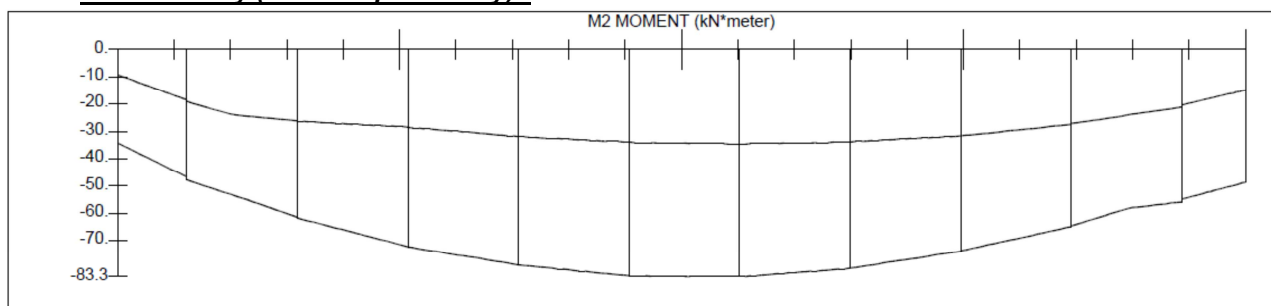
Limiting Ratios: Class 1 Class 2 Class 3  
 d/t= 16.00 < 33.1 46.3 59.6 (e = 0.814 R = 0.243 )  
 \*\* Design Strength (py ) = 355.0 \*\*

DESIGN	EQUATION	FACTORS	VALUES	RESULT
M3 Moment (6.12)	Med Mc < 1.00	Wpl = 225.33	Med = 2.13 Mc = 72.72	0.03
Notes:	LOW Shear Load Used for Moment Design			
M2 Moment (6.12)	Med Mc < 1.00	Wpl = 225.33	Med = 2.75 Mc = 72.72	0.04
Notes:	LOW Shear Load Used for Moment Design			
Deflection	defl. L / 350 < 1.00		defl = 0.00057	0.06

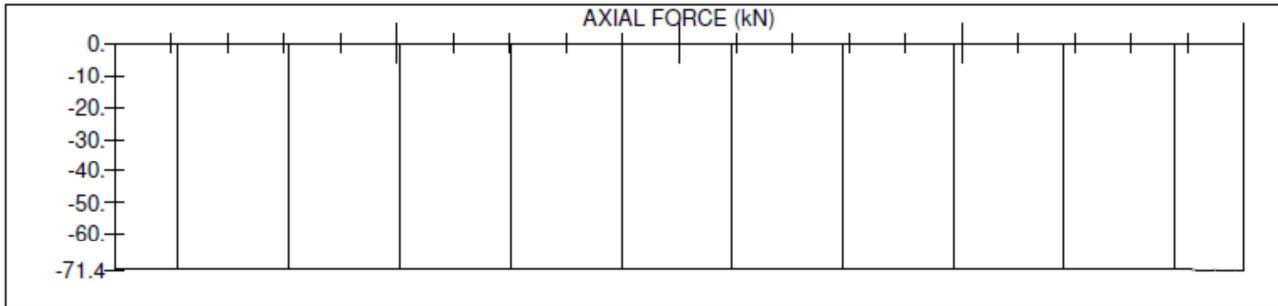
DESIGN	EQUATION	FACTORS	VALUES	RESULT
Combined Stresses (Local) (6.2.9) (6.41)	$\frac{(M_y)_\alpha}{(M_{ny})} + \frac{(M_z)_\beta}{(M_{nz})} < 1.00$	$n = 0.26712$	$M_y = 2.13$ $M_z = 2.75$ $M_{ny} = 67.61$ $M_{nz} = 67.61$ $\alpha = 2.00$ $\beta = 2.00$	0.00
Axial Force 6.3.1 Note:	$\frac{N_{ed}}{N_{b,rd}} < 1.00$ buckling curve used is : a	$(kL/r)_x = 96$ $(kL/r)_y = 130$ $X_{fy} = 106$	$N_{ed} = 406.24$ $A_g = 47.12$ $N_{crd} = 454.73$	0.89
Bending and Axial Compression 6.3.3	$\frac{N_{ed}}{N_{bmin}} + \frac{k_y M_y}{M_{cy}} + \frac{k_z M_z}{M_{cz}} < 1.00$ Critical Segment from	$C_{my} = 0.40$ $C_{mz} = 0.54$ $M_y = 2.13$ 0.00 to 3.46	$k_y = 0.34$ $k_z = 0.92$ $\mu_x = 0.80$ $\mu_y = 0.80$ $M_z = 2.75$	0.94

## 6.1.4 Priečniky

### Vnútorne sily (štádium prevádzky) :

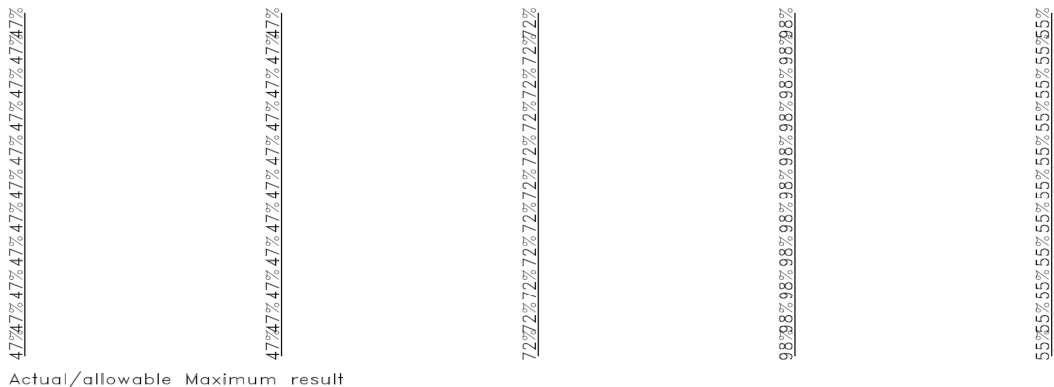


### Vnútorne sily (štádium výstavby) :



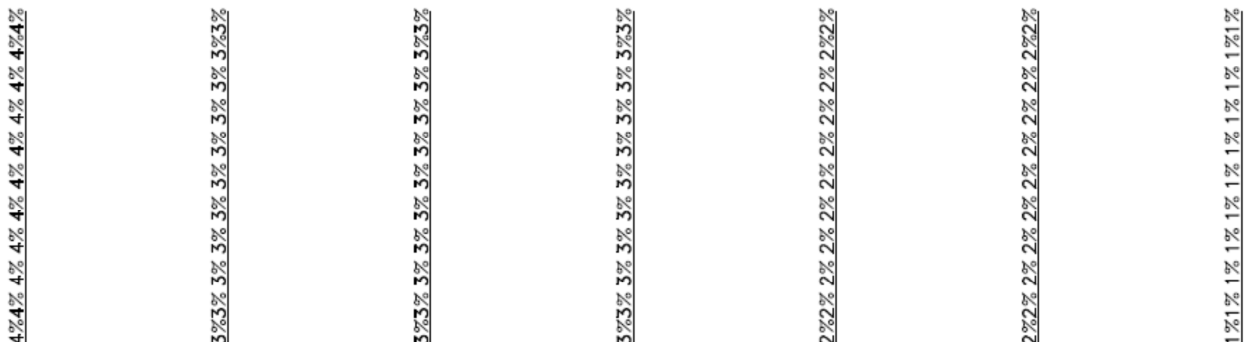
### Posúdenie :

Posúdenie bolo vykonané v programe STRAP a zobrazené je percentuálne využitie prierezu pre časť konštrukcie.



Actual/allowable Maximum result

### Vyhovuje pre štádium prevádzky



### Vyhovuje pre štádium výstavby (pre nízke využité neuvádzam detailný posudok)

### Detailný posudok pre max. využitý prút (v mieste prichytenia lana) :

Moments: kN\*meter , Forces: kN , Stresses: mPa , Section prop.: cm.

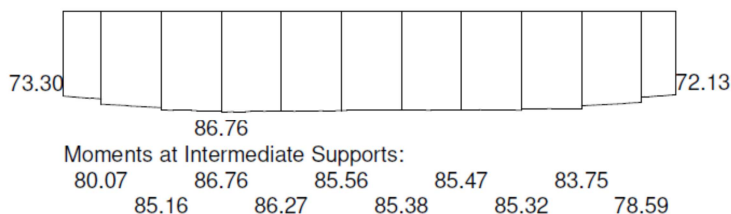
Beam: 413 to 423	41	94	X2 (Major axis) s.c. at +x2,+x3
4.08			
Kx for LTB = 1.00			
DESIGN DATA			
CONSTRAINTS			
- Sections :	Check	- Kx = 1.00	- Ky = 1.00
- Steel Grade:	S355	- Allow. Slend. : 250 (compr.)	300 (tens.)
		- Allowable Deflection : 1/350	
		- Tension Area Reduction Factor : 1.00	
INTERMEDIATE SUPPORTS			
L =	0.25	0.65	1.05
	1.45	1.85	2.25
	2.65	3.05	3.45
	3.85		
Lat.-Tors.	+	-	+
	-	+	-
Compress.	Y	Y	Y

Section: I+H IPN 280+IPN280 D=0.

$I_x = 7954.00$   $I_y = 7954.00 \text{ cm}^4$   $W_{plx} = 734.1$   $W_{ply} = 764.9 \text{ cm}^3$   $\text{Area} = 122.0$   
 $h_{w1} = 280.00$   $h_{w2} = 290.10 \text{ mm}$   $t_{w1} = 10.10$   $t_{w2} = 10.10 \text{ mm}$   $e_y = 140.0 \text{ mm}$   
 $b_{f1} = 119.00$   $b_{f2} = 119.00 \text{ mm}$   $t_{f1} = 15.20$   $t_{f2} = 15.20 \text{ mm}$   
 $J = 88.40$   $C_w = 0.15 \text{ dm}^6$  shear center at +axis

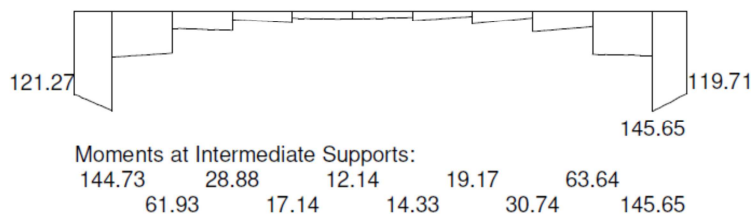
DESIGN COMBINATION = 111

M2 Moment Diagram



Max. AXIAL Force = -99.88 (compr.) Max. SHEAR Force = 9.79

M3 Moment Diagram



Max. AXIAL Force = -99.88 (compr.) Max. SHEAR Force = 112.90

SECTION CLASSIFICATION: \*\*\* CLASS 1 \*\*\*

Limiting Ratios:	Class 1	Class 2	Class 3
$d/t = 14.36$	$< 55.4$	$63.8$	$91.5$ ( $e = 0.814$ $R = 0.023$ )
$b/t = 3.91$	$< 7.3$	$8.1$	$11.4$

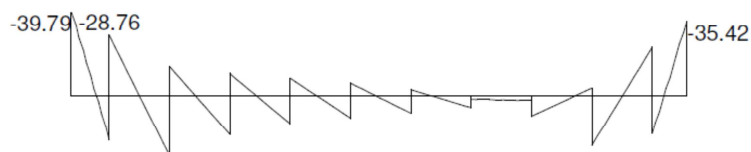
\*\* Design Strength ( $p_y$ ) = 355.0 \*\*

DESIGN	EQUATION	FACTORS	VALUES	RESULT
V2 Shear (6.17)	$V_{ed}/V_{c,rd} < 1.00$	$A_v = 61.86$	$V_{ed} = 112.90$ $V_c = 1152.49$	0.10
M3 Moment (6.12)	$\frac{M_{ed}}{M_c} < 1.00$	$W_{pl} = 764.91$	$M_{ed} = 145.65$ $M_c = 246.86$	0.59
Notes:	LOW Shear Load Used for Moment Design			
V3 Shear (6.17)	$V_{ed}/V_{c,rd} < 1.00$	$A_v = 61.17$	$V_{ed} = 9.79$ $V_c = 1139.71$	0.01
M2 Moment (6.12)	$\frac{M_{ed}}{M_c} < 1.00$	$W_{pl} = 734.10$	$M_{ed} = 86.76$ $M_c = 236.91$	0.37
Notes:	LOW Shear Load Used for Moment Design			
Deflection	$\frac{\text{defl.}}{L/350} < 1.00$		$\text{defl} = 0.01092$	0.94
Combined Stresses (Local) (6.44)	$\frac{N_{ed}}{N_{pl}} + \frac{M_{yed}}{M_{cy}} + \frac{M_{zed}}{M_{cz}} < 1.00$	$M_{cy} = 236.91$ $M_{cz} = 246.86$ $M_{yed} = 86.76$ $M_{zed} = 145.65$	$N_{ed} = 99.88$ $A_g = 122.00$ $F_y = 355.00$	0.98





Max. AXIAL Force = -10.50 (compr.) Max. SHEAR Force = 26.88  
 M3 Moment Diagram



Moments at Intermediate Supports:

-28.76 18.20 10.39 5.52 9.61 23.48  
 28.15 13.11 8.11 -22.91

Max. AXIAL Force = -10.50 (compr.) Max. SHEAR Force = 242.79

SECTION CLASSIFICATION: \*\*\* CLASS 1 \*\*\*

Limiting Ratios: Class 1 Class 2 Class 3  
 d/t= 26.00 < 58.2 67.0 97.5 (e = 0.814 R = 0.003 )  
 b/t= 6.43 < 7.3 8.1 11.4

\*\* Design Strength (py) = 355.0 \*\*

DESIGN	EQUATION	FACTORS	VALUES	RESULT
V2 Shear (6.17)	Ved/Vc,rd < 1.00	Av = 50.40	Ved = 242.79 Vc = 939.00	0.26
M3 Moment (6.12)	Med < 1.00 Mc	Wpl = 227.98	Med = 39.79 Mc = 73.57	0.54
Notes:	LOW Shear Load Used for Moment Design			
V3 Shear (6.17)	Ved/Vc,rd < 1.00	Av = 52.00	Ved = 26.88 Vc = 968.81	0.03
M2 Moment (6.12)	Med < 1.00 Mc	Wpl = 887.60	Med = 50.05 Mc = 286.45	0.17
Notes:	LOW Shear Load Used for Moment Design			
Deflection	defl. < 1.00 L / 350		defl = 0.00482	0.41
Combined Stresses (Local) (6.44)	Ned Myed Mzed Npl Mcy Mcz < 1.00	Mcy= 286.45 Mcz= 73.57 Myed= 50.05 Mzed= 39.79	Ned = 10.50 Ag = 96.60 Fy = 355.00	0.72
Axial Force 6.3.1 Note:	Ned < 1.00 Nb,rd buckling curve used is : c	(kL/r)x =40 (kL/r)y =11 Xfy =294	Ned = 10.50 Ag = 96.60 Ncrd= 2586.81	0.00
Lateral Torsional Buckling 6.3.2	Med < 1.00 Mb,rd beam is LOADED	Wpl = 887.60 k = 1.00 kL = 0.40 ψ = 0.94 C1 = 1.03	Med = 50.05 Mbrd= 286.45 λ = 0.13 Xlt = 1.00 Mcr = 17641.8	0.17
Critical Segment from 1.45 to 1.85 on +z flange Segment End Moments: 46.37 and 49.21				
Bending and Axial Compression 6.3.3	Ned kyMy kzMz Nbmin Mby Mcz < 1.00	Cm1t= 0.90 Cmz= 0.40 My = 38.99 ( 0.00 + 0.14 + 0.15 )	ky = 1.00 kz = 0.40 μlt = 0.14 μy = -0.31 Mz = 28.15	0.29
Critical Segment from 0.65 to 1.05				



**Detailný posudok pre max. využitý prút (2\*UPN200) :**

Moments: kN\*meter , Forces: kN , Stresses: mPa , Section prop.: cm.

Beam:  
567 to 577

55

108

X2 (Major axis)

4.08

Kx for LTB = 1.00

CONSTRAINTS

- Sections : Check

- Steel Grade: S355

- Kx = 1.00

- Ky = 1.00

- Allow. Slend. : 250 (compr.) 300 (tens.)

- Allowable Deflection : 1/350

- Tension Area Reduction Factor : 1.00

Connectors spacing = default (= 0.08)(members closely spaced)

INTERMEDIATE SUPPORTS

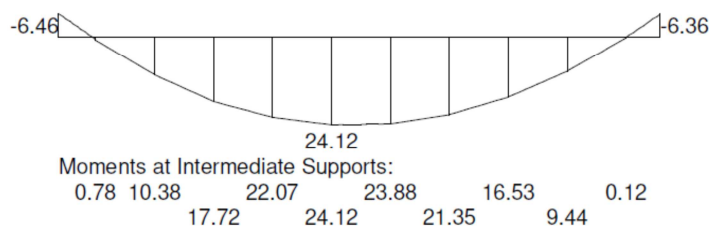
L =	0.25	0.65	1.05	1.45	1.85	2.25	2.65	3.05	3.45	3.85
Lat.-Tors.	+ -	+ -	+ -	+ -	+ -	+ -	+ -	+ -	+ -	+ -
Compress.	Y	Y	Y	Y	Y	Y	Y	Y	Y	Y

Section: ][ UPN 200 D=0.

Ix = 3820.00 Iy = 556.18cm<sup>4</sup> Wplx = 457.2 Wply = 129.4cm<sup>3</sup> Area = 64.40  
 hw = 200.00 bf = 75.00mm tw = 8.50 tf = 11.50mm  
 J = 23.80 Cw = 40237.5cm<sup>6</sup>

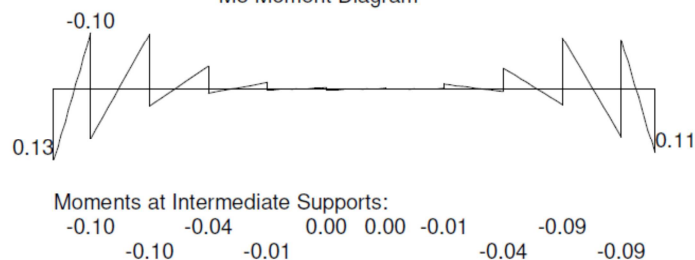
DESIGN COMBINATION = 135

M2 Moment Diagram



Max. AXIAL Force = 3.90 (tens.) Max. SHEAR Force = 28.36

M3 Moment Diagram



Max. AXIAL Force = 3.90 (tens.) Max. SHEAR Force = 0.91

SECTION CLASSIFICATION: \*\*\* CLASS 1 \*\*\*

Limiting Ratios:	Class 1	Class 2	Class 3
d/t= 23.53	< 58.8	67.7	102.8
b/t= 6.52	< 7.3	8.1	11.4

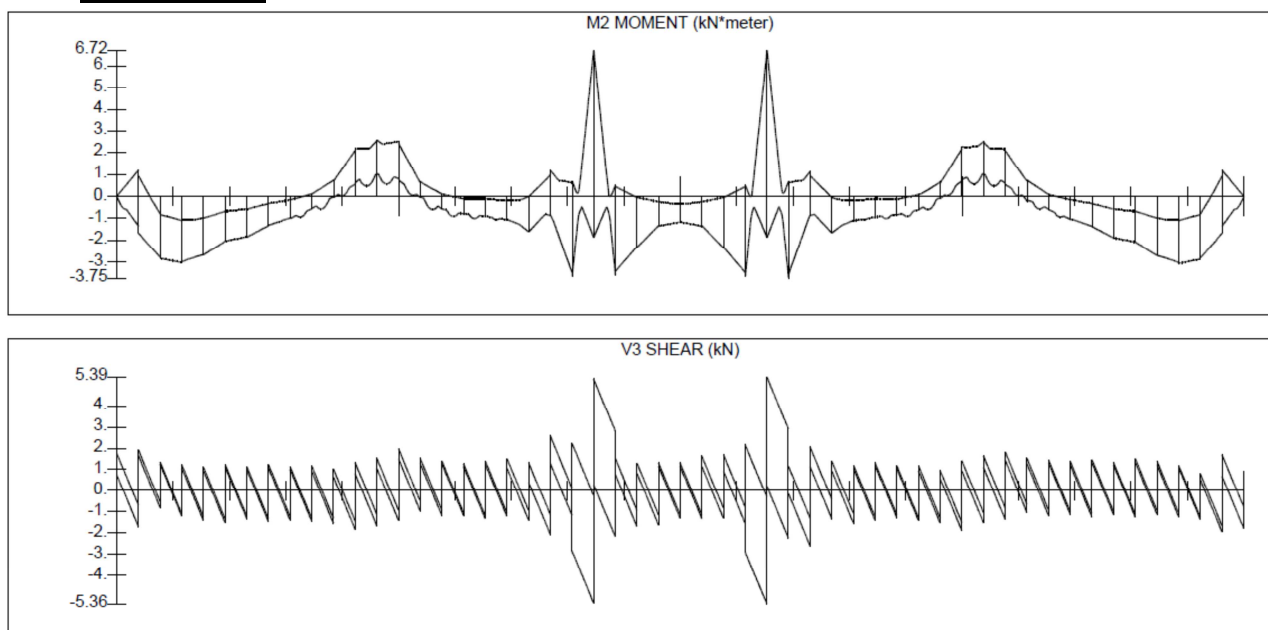
(e = 0.814 R = -0.002 )

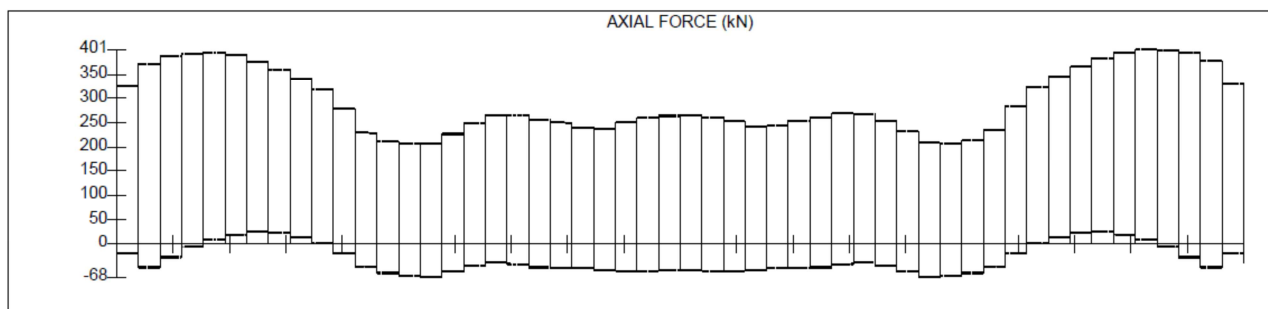
\*\* Design Strength (py) = 355.0 \*\*

DESIGN	EQUATION	FACTORS	VALUES	RESULT
M3 Moment (6.12)	$\frac{M_{ed}}{M_c} < 1.00$	Wpl = 129.44	M <sub>ed</sub> = 0.13 M <sub>c</sub> = 41.77	0.00
Notes:	LOW Shear Load Used for Moment Design			
V3 Shear (6.17)	V <sub>ed</sub> /V <sub>c,rd</sub> < 1.00	A <sub>v</sub> = 34.00	V <sub>ed</sub> = 28.36 V <sub>c</sub> = 633.46	0.04
M2 Moment (6.12)	$\frac{M_{ed}}{M_c} < 1.00$	Wpl = 457.20	M <sub>ed</sub> = 24.12 M <sub>c</sub> = 147.55	0.16
Notes:	LOW Shear Load Used for Moment Design			
Deflection	$\frac{defl.}{L / 350} < 1.00$		defl = 0.00506	0.43
Combined Stresses (Local) (6.44)	$\frac{N_{ed}}{N_{pl}} + \frac{M_{yed}}{M_{cy}} + \frac{M_{zed}}{M_{cz}} < 1.00$	M <sub>cy</sub> = 147.55 M <sub>cz</sub> = 41.77 M <sub>yed</sub> = 24.12 M <sub>zed</sub> = 0.13	N <sub>ed</sub> = 3.90 A <sub>net</sub> = 64.40 F <sub>u</sub> = 490.00	0.17
Axial Force (6.6)	$\frac{N_{ed}}{N_{pl,rd}} < 1.00$	(kL/r) <sub>x</sub> = 53 (kL/r) <sub>y</sub> = 14	N <sub>ed</sub> = 3.90 A <sub>g</sub> = 64.40 f <sub>y</sub> = 355.00	0.00
Lateral Torsional Buckling 6.3.2	$\frac{M_{ed}}{M_{b,rd}} < 1.00$ beam is LOADED	Wpl = 457.20 k = 1.00 kL = 0.40 ψ = 0.92 C1 = 1.05	M <sub>ed</sub> = 24.12 M <sub>brd</sub> = 147.55 λ = 0.16 X <sub>lt</sub> = 1.00 M <sub>cr</sub> = 6538.30	0.16
Critical Segment from 1.45 to 1.85 on +z flange Segment End Moments: 22.07 and 24.11				
Bending and Axial Compression 6.3.3	$\frac{N_{ed}}{N_{bmin}} + \frac{k_y M_y}{M_{by}} + \frac{k_z M_z}{M_{cz}} < 1.00$	C <sub>mlt</sub> = 0.97 C <sub>mz</sub> = 0.41 M <sub>y</sub> = 24.12	k <sub>y</sub> = 1.00 k <sub>z</sub> = 0.25 μ <sub>lt</sub> = 0.18 μ <sub>y</sub> = -0.23 M <sub>z</sub> = 0.01	0.16
Critical Segment from 1.45 to 1.85				

## 6.1.5 Pozdĺžniky

### Vnútorne sily :





### Posúdenie :

Posúdenie bolo vykonané v programe STRAP a zobrazené je percentuálne využitie prierezu pre časť konštrukcie.

83%	77%	87%	80%	72%	74%	68%	68%	62%	82%	63%	23%	32%
78%	75%	81%	74%	67%	65%	63%	59%	52%	47%	46%	35%	34%
73%	74%	76%	72%	65%	60%	56%	53%	48%	47%	47%	43%	40%
69%	72%	74%	72%	68%	64%	60%	56%	49%	57%	56%	46%	46%
64%	68%	71%	70%	67%	65%	63%	59%	49%	63%	63%	47%	50%
58%	63%	66%	66%	65%	64%	62%	60%	50%	65%	65%	47%	53%
55%	56%	59%	60%	60%	60%	59%	57%	49%	63%	64%	47%	53%
54%	53%	62%	61%	60%	59%	56%	54%	47%	58%	60%	44%	51%
51%	51%	67%	67%	67%	66%	63%	59%	52%	49%	51%	40%	44%
55%	55%	73%	75%	72%	74%	67%	68%	61%	85%	67%	27%	31%

**Vyhovuje**

### Detailný posudok pre max. využitý prút :

Moments: kN\*meter , Forces: kN , Stresses: mPa , Section prop.: cm.

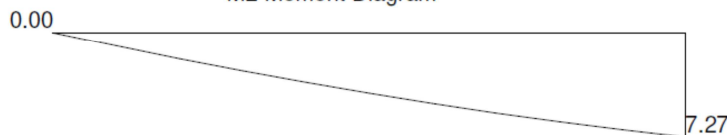
Beam: 1102	663	725	X2 (Major axis)
	2.50		s.c. at +x2,+x3
	Kx for LTB = 1.00		
CONSTRAINTS	DESIGN DATA		
- Sections : Check	- Kx = 1.00 - Ky = 1.00		
- Steel Grade: S355	- Allow. Slend. : 250 (compr.) 300 (tens.)		
	- Allowable Deflection : 1/350		
	- Tension Area Reduction Factor : 1.00		

Section: 20: Pozdĺžnik na kraji

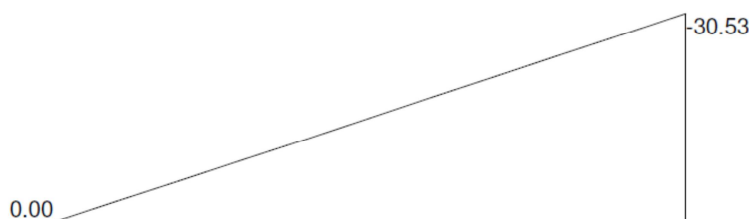
$I_x = 2007.27$   $I_y = 4720.22 \text{ cm}^4$   $W_{elx} = 275.6$   $W_{ely} = 236.0 \text{ cm}^3$   $Area = 72.64$   
 $h_w = 128.00$   $b_f = 400.00 \text{ mm}$   $t_w = 16.00$   $t_f = 8.00 \text{ mm}$   $e_y = 72.85 \text{ mm}$   
 $b_{f2} = 150.00 \text{ mm}$   $t_{f2} = 16.00 \text{ mm}$   
 $J = 42.93$   $C_w = 54775.0 \text{ cm}^6$  Flange at +axis

DESIGN COMBINATION = 203

M2 Moment Diagram



Max. AXIAL Force = -609.45 (compr.) Max. SHEAR Force = 3.87  
 M3 Moment Diagram



Max. AXIAL Force = -609.45 (compr.) Max. SHEAR Force = 12.20

SECTION CLASSIFICATION: \*\*\* CLASS 4 \*\*\*

Limiting Ratios: Class 1 Class 2 Class 3  
 d/t= 6.50 < 35.5 39.1 39.1 (e = 0.814 R = 0.236 )  
 b/t= 24.00 < 7.3 8.1 11.4  
 \*\* Design Strength (py) = 355.0 \*\*

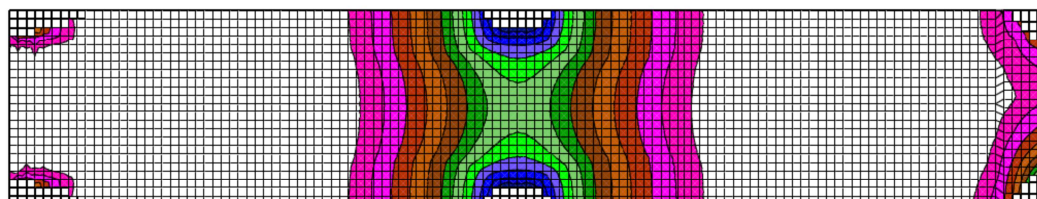
DESIGN	EQUATION	FACTORS	VALUES	RESULT
V2 Shear (6.17)	$V_{ed}/V_{c,rd} < 1.00$	$A_v = 52.16$	$V_{ed} = 12.20$ $V_c = 971.80$	0.01
M3 Moment (6.12)	$\frac{M_{ed}}{M_{c,rd}} < 1.00$	$W_{eff} = 217.70$ $W_{el} = 236.01$	$M_{ed} = 30.53$ $M_c = 70.26$	0.43
Notes:	LOW Shear Load Used for Moment Design			
V3 Shear (6.17)	$V_{ed}/V_{c,rd} < 1.00$	$A_v = 17.92$	$V_{ed} = 3.87$ $V_c = 333.87$	0.01
M2 Moment (6.12)	$\frac{M_{ed}}{M_{c,rd}} < 1.00$	$W_{eff} = 256.04$ $W_{el} = 275.55$	$M_{ed} = 7.27$ $M_c = 82.63$	0.09
Notes:	LOW Shear Load Used for Moment Design			
Combined Stresses (Local) (6.44)	$\frac{N_{ed}}{N_{pl,Rd}} + \frac{M_{y,ed}}{M_{y,Rd}} + \frac{M_{z,ed}}{M_{z,Rd}} < 1.00$	$M_{cy} = 74.32$ $M_{cz} = 70.26$ $e_{nx} = 1.22$ ( 0.32 + 0.20 + 0.43 ) at: larger flange tip	$N_{ed} = 609.45$ $A_g = 58.62$ $F_y = 355.00$ $M_{y,ed} = 14.73$ $M_{z,ed} = 30.53$	0.95
Axial Force 6.3.1	$\frac{N_{ed}}{N_{b,rd}} < 1.00$	$(kL/r)_x = 48$ $(kL/r)_y = 31$ $X_{fy} = 262$ flexural torsional buckling is critical: equivalent $(kL/r)_t = 57$ buckling curve used is : c	$N_{ed} = 609.45$ $A_g = 72.64$ $N_{crd} = 1398.82$  $A_{eff} = 58.62$	0.44
Notes:				
Lateral Torsional Buckling 6.3.2	$\frac{M_{ed}}{M_{b,rd}} < 1.00$	$W_{eff} = 230.28$ $k = 1.00$ $kL = 2.50$ $\psi = 0.00$ $C_1 = 1.39$	$M_{ed} = 14.73$ $M_{brd} = 74.32$ $\lambda = 0.27$ $X_{lt} = 1.00$ $M_{cr} = 1263.39$ $C_3 = 0.95$ $Z_j = 0.02$	0.20
	beam is LOADED Critical Segment from 0.00 to 2.50 at: larger flange tip Segment End Moments: 0.00 and 7.27			
Bending and Axial Compression 6.3.3	$\frac{N_{ed}}{N_{bmin}} + \frac{k_y M_{y,ed}}{M_{y,Rd}} + \frac{k_z M_{z,ed}}{M_{z,Rd}} < 1.00$ ( $M_y = M_{y,ed} + e_{ny} N_{ed}$ )	$C_{m1t} = 0.89$ $C_{m2} = 0.60$  $e_{ny} = 1.22$ $M_y = 14.73$ ( 0.44 + 0.19 + 0.31 )	$k_y = 0.98$ $k_z = 0.71$ $\mu_{lt} = 0.68$ $\mu_y = 0.41$ $M_y = 14.73$ $M_z = 30.53$	0.94
	Critical Segment from 0.00 to 2.50 at: larger flange tip			



## 6.2 Železobetónová mostovka

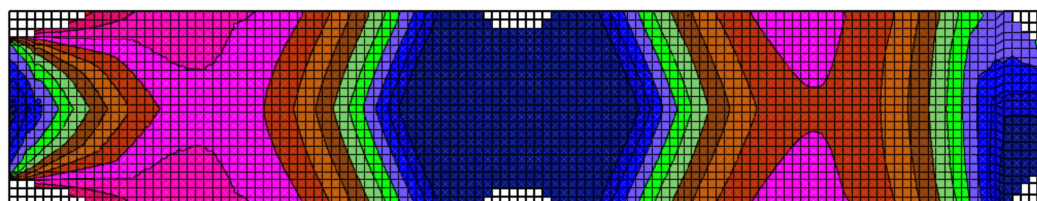
Táto ŽB nosná konštrukcia tvorí krajné polia na predmetnej lávke pre cyklistov. Vyobrazené sú len maximálne vnútorné sily a navrhnuté minimálne plochy vystuženia pre NK.

### 6.2.1 Vnútorne sily



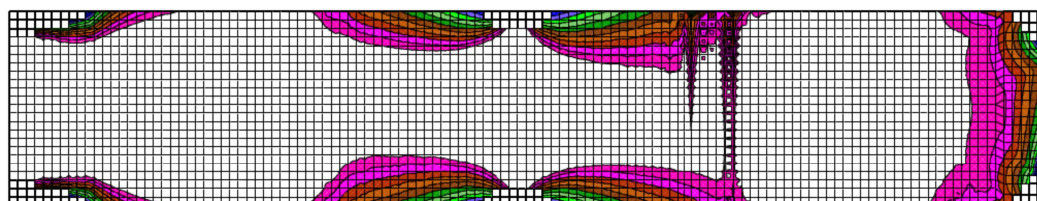
+MX\* CONTOUR LINES MINIMUM LOADS ENVELOPE 23-275

LINE	VALUE
	-601
	-554
	-508
	-462
	-416
	-369
	-323
	-277
	-231
	-184
	-138
	-92
	0



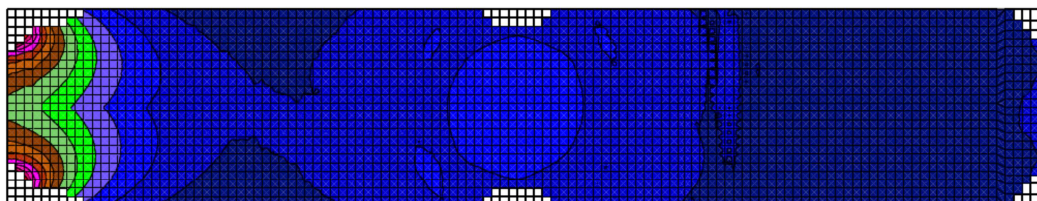
-MX\* CONTOUR LINES MAXIMUM LOADS ENVELOPE 23-275

LINE	VALUE
	25
	51
	77
	103
	129
	154
	180
	206
	232
	258
	284
	309
	335



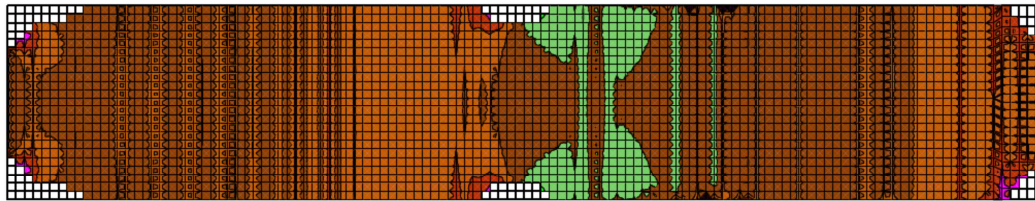
+MY\* CONTOUR LINES MINIMUM LOADS ENVELOPE 23-275

LINE	VALUE
	-142
	-131
	-120
	-109
	-98
	-87
	-76
	-65
	-54
	-43
	-32
	-21
	0



-MY\* CONTOUR LINES MAXIMUM LOADS ENVELOPE 23-275

LINE	VALUE
	47
	95
	143
	190
	238
	286
	334
	381
	429
	477
	524
	572
	620



QX CONTOUR LINES MAXIMUM LOADS ENVELOPE 23-275

LINE	VALUE
■	-654
■	-554
■	-453
■	-352
■	-252
■	-151
■	-51
■	150
■	250
■	351
■	451
■	552
■	653

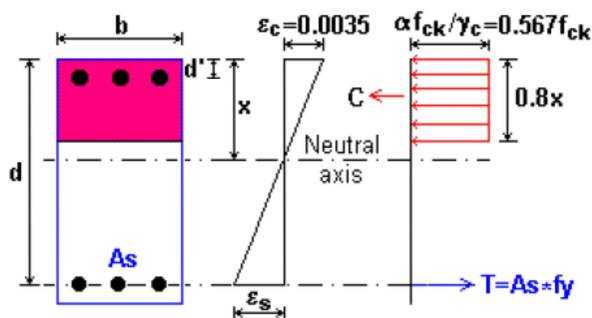
## 6.2.2 Návrh výstuže

Návrh výstuže bol vykonaný v programe STRAP v module concrete. Pri návrhu tento program nezobrazuje detailné posudky ako sú uvedené napr. pri posúdení oceľových prvkov. Pre predstavu ako program uvažuje pri posúdení uvádzam vybranú stať z možnosti „help“.

This section describes the calculation method for reinforced concrete elements, beams and walls with combined moment and axial force.

### Rectangular sections:

The stress block for the case of bending only is:



where:

**M<sub>d</sub>** = design moment. The value may be the *STRAP* moment or the [Wood & Armer](#) moment (elements)

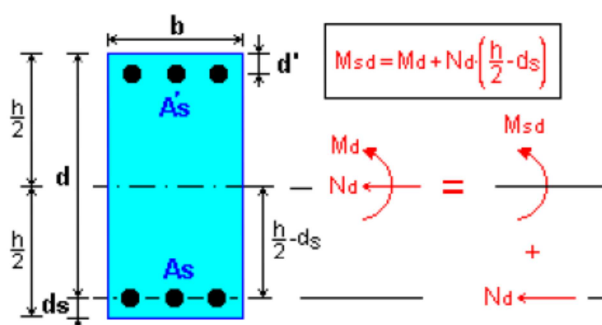
**M<sub>cd</sub>** = the moment corresponding to the Code compression block height in pure bending.

- for C12/15 to C35/45: [(x/d)<sub>max</sub> = 0.45]  
**M<sub>cd</sub> = 0.167 b d<sup>2</sup> f<sub>ck</sub>**
- for C40/50 and greater: [(x/d)<sub>max</sub> = 0.35]  
**M<sub>cd</sub> = 0.136 b d<sup>2</sup> f<sub>ck</sub>**

For the general case:

**N<sub>d</sub>** = design axial force. The value may be the *STRAP* force or the [Wood & Armer](#) force (elements).

Transposing the axial force to the tension steel level:



### Reinforcement:

There are three design cases:

- Section in tension and compression:

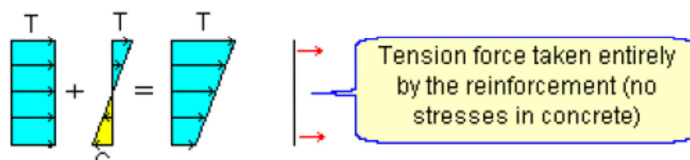
- $M_{sd} > M_{cd}$   
 $\Delta M = M_{sd} - M_{cd}$   
 $A'_s = \Delta M / (d - d') \cdot 0.87 f_y$   
 $A_s = A'_s + M_{cd} / (z_{min} \cdot 0.87 f_y) - N_d / 0.87 f_y$   
 C12/15 to C35/45:  $z_{min} = 0.82d$   
 C40/50 and greater:  $z_{min} = 0.86d$

- $M_{sd} < M_{cd}$   

$$\omega = 1 - \sqrt{1 - \frac{M_{sd}}{0.2825 \cdot b d^2 \cdot f_{ck}}}$$

$$A_s = M_{sd} / (1 - 0.5\omega) \cdot d \cdot 0.87 f_y - N_d / 0.87 f_y$$

- Entire section in tension:

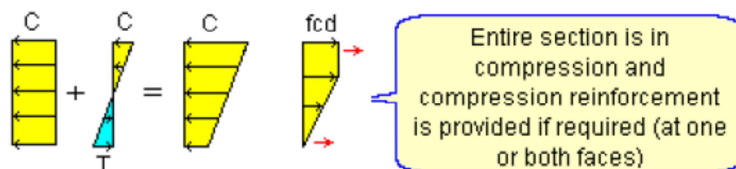


$$A_s = \frac{(h/2 - d') + e}{(d - d')} \cdot \frac{N_d}{0.87 f_y}$$

$$A_s = \frac{(h/2 - d') - e}{(d - d')} \cdot \frac{N_d}{0.87 f_y}$$

where:  $e = M_d / N_d$

- Entire section in compression



- the program initially checks where the concrete capacity is sufficient for equilibrium. If so, reinforcement is not required and only minimum reinforcement is provided.
- the program then tries to provide reinforcement only at the face with the greater compression. If equilibrium of forces and moments cannot be satisfied the program provides reinforcement at both faces.

Note:

- all sections are designed for minimum eccentricity
- for small loads the program calculates the reinforcement based on an elastic stress distribution.

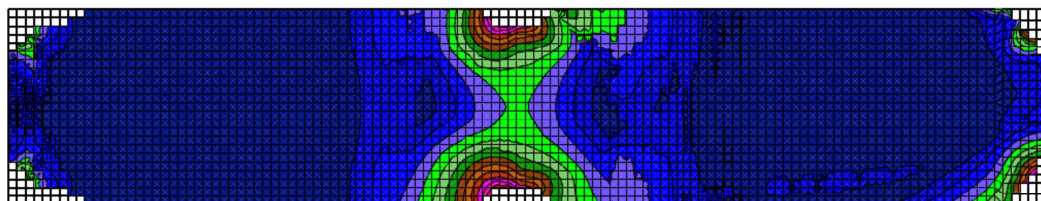
### Minimum reinforcement:

- Slabs, beams: (Section 9.2.1.1)  
 $A_{s,min} = 0.26 (f_{ctm} / f_{yk}) b d$
- Walls: (Section 9.6.2)  
 $A_{s,min} = 0.002 b h$

Na obrázkoch sú uvedené minimálne navrhnuté plochy výstuže.

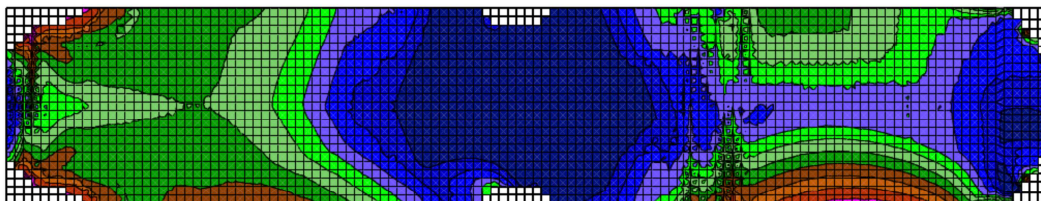


LINE	VALUE
	257
	515
	773
	1031
	1288
	1546
	1804
	2062
	2319
	2577
	2835
	3093
	3350



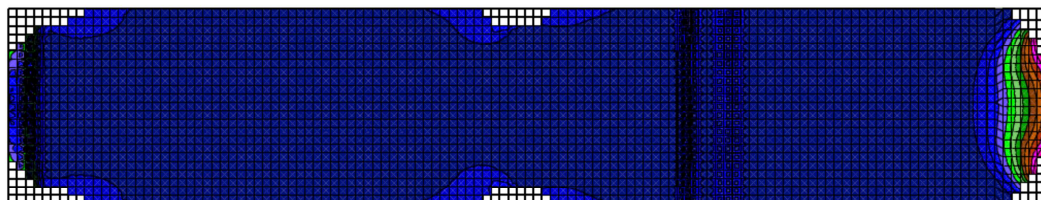
Concrete: 30 Steel: 500 Cover: 6. (Wood&Armer) (As in mm.~2/meter)  
 +AsX CONTOUR LINES LOADS ENVELOPE 23-275

LINE	VALUE
	169
	339
	509
	679
	849
	1019
	1189
	1359
	1529
	1699
	1869
	2039
	2209



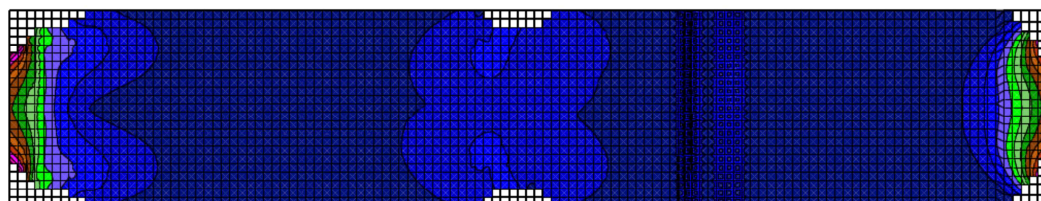
Concrete: 30 Steel: 500 Cover: 6. (Wood&Armer) (As in mm.~2/meter)  
 -AsX CONTOUR LINES LOADS ENVELOPE 23-275

LINE	VALUE
	430
	861
	1292
	1723
	2153
	2584
	3015
	3446
	3876
	4307
	4738
	5169
	5599



Concrete: 30 Steel: 500 Cover: 6. (Wood&Armer) (As in mm.~2/meter)  
 +AsY CONTOUR LINES LOADS ENVELOPE 23-275

LINE	VALUE
	555
	1111
	1667
	2223
	2779
	3335
	3891
	4447
	5003
	5559
	6115
	6671
	7227



Concrete: 30 Steel: 500 Cover: 6. (Wood&Armer) (As in mm.~2/meter)  
 -AsY CONTOUR LINES LOADS ENVELOPE 23-275



## 6.1 Oceľové laná NK

Max. návrhová osová sila v lane :  $N_{Ed} = 2500 \text{ kN}$

Charakt. osová sila vo fáze výstavby :  $N_{Ek,V} = 1784 \text{ kN}$

Charakt. osová sila vo fáze prevádzky :  $N_{Ek,P} = 1300 \text{ kN}$

Trieda pevnosti :

Oceľové Z-drôty

$f_u = 1570 \text{ MPa}$

$f_{0,1k} = 1390 \text{ MPa}$

$\alpha_T = 1.2E-05 \text{ K}^{-1}$

Charakteristiky oceľového lana :

Priemer lana :  $d = 80 \text{ mm}$

Plocha kovového prierezu :  $A_m = 4423 \text{ mm}^2$

Faktor sily pri pretrhnutí :  $K = 0.643$

Faktor plnosti :  $f = 0.88$

Faktor straty :  $k_e = 0.8$

Posúdenie medzného stavu únosnosti oceľového lana :

Charakt. hodnota sily pri pretrhnutí :  $F_{uk} = F_{min} \cdot k_e = 5169 \text{ kN}$

Najmenšia sila pri pretrhnutí :  $F_{min} = K \cdot d^2 \cdot R_r / 1000 = 6461 \text{ kN}$

Char. hodnota skúš. pevnosti ťah. prvku :  $F_k = F_{0,2k} = 5308 \text{ kN}$

Návrhová hodnota odolnosti v ťahu :  $F_{Rd} = \min[F_{uk} / 1.5 \gamma_R; F_k / \gamma_R] = 3446 \text{ kN}$

Návrhová hodnota osovej sily v lane :  $F_{Ed} = 2500 \text{ kN}$

**Posúdenie :  $F_{Ed} / F_{Rd} < 1$**  0.73 < 1.0 Navrhnuté lano vyhovuje

Posúdenie medzného stavu použiteľnosti oceľového lana :

Medzné napätie pri pretrhnutí :  $\sigma_{uk} = F_{uk} / A_m = 1168 \text{ MPa}$

Štádium montáže :

Po montáži ďalších ťahaných prvkov Napätie v prvom lane vyhovuje 62.8%

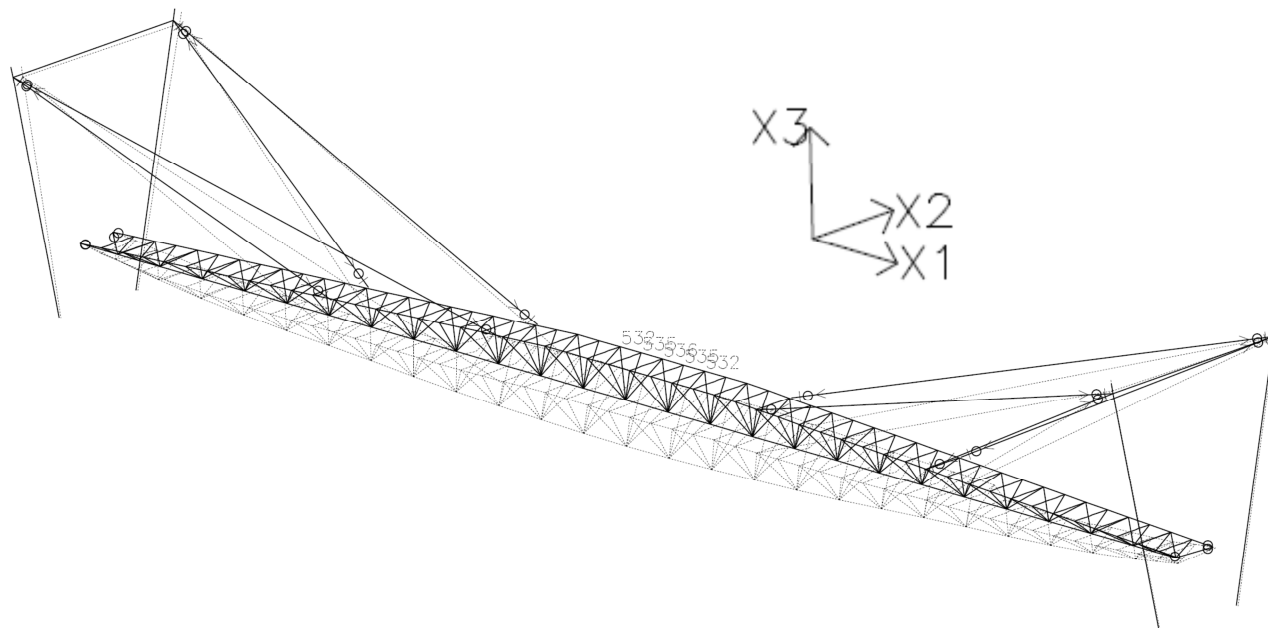
Obmedzené napätia :  $f_{const} = 0.55 \sigma_{uk} = 643 \text{ MPa}$  >  $\sigma_{s,V,max} = 403 \text{ MPa}$

Štádium prevádzky :

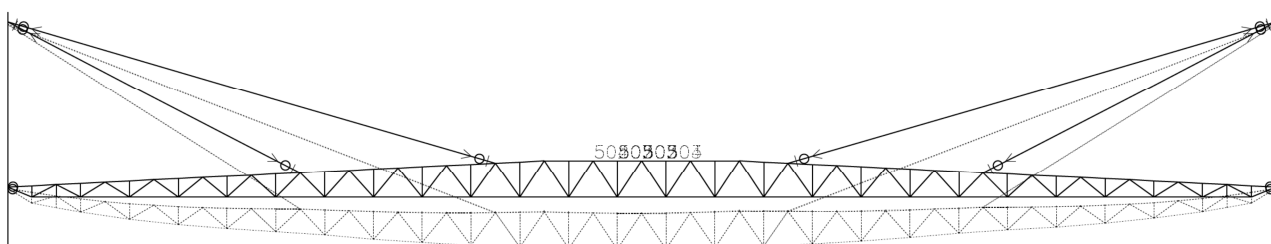
Návrh na únavu bez ohybových napätí Napätie v prvom lane vyhovuje 55.9%

Obmedzené napätia :  $f_{SLS} = 0.45 \sigma_{uk} = 526 \text{ MPa}$  >  $\sigma_{s,P,max} = 294 \text{ MPa}$

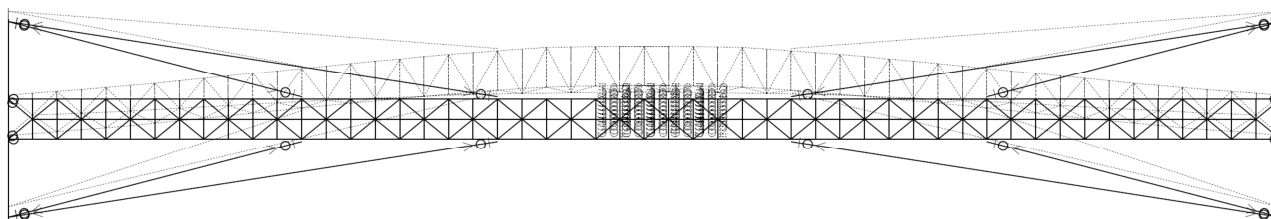
## 6.2 Priehyb ocelejovej konštrukcie



VALUES ARE \*  $10^0$  (Max.=535.92mm)  
 DISPLACEMENTS (nodes only) MAXIMUM LOADS ENVELOPE 24-302



VALUES ARE \*  $10^0$  IN X3 DIRECTION (Min.= -506.72mm)  
 DISPLACEMENTS (nodes only) MAXIMUM LOADS ENVELOPE 24-302



VALUES ARE \*  $10^0$  IN X2 DIRECTION (Max.=363.84mm)  
 DISPLACEMENTS (nodes only) MAXIMUM LOADS ENVELOPE 24-302

Výsledky priehybov sú zobrazené z kombinácií pre MSÚ. Charakteristické hodnoty priehybov sú uvedené nasledovne :

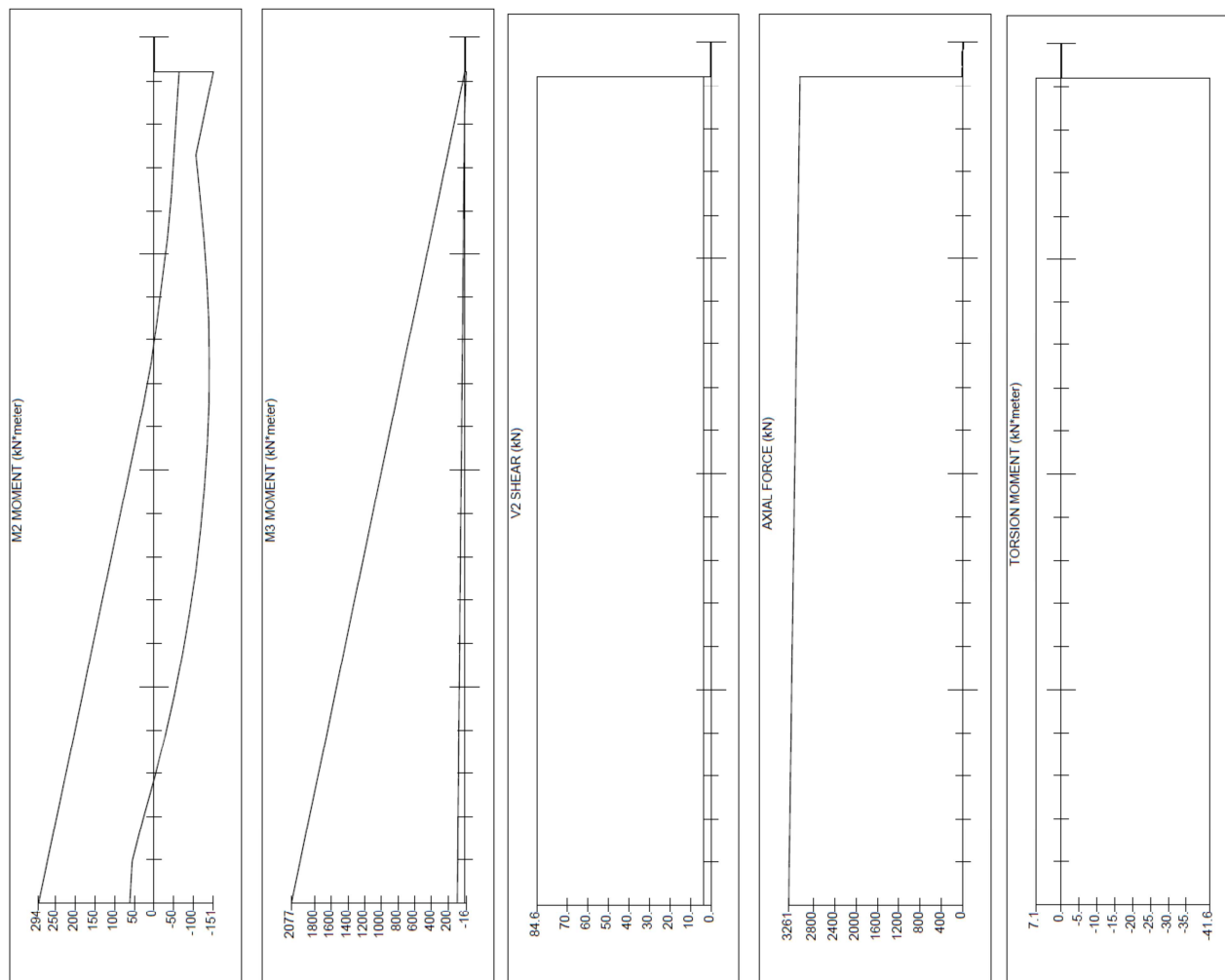
- |  |       |
|--|-------|
| • Zvislý priehyb : Stále zaťaženie       | 183mm |
| • Zvislý priehyb : Stále + chodci        | 364mm |
| • Zvislý priehyb : Celkové kombinácie    | 375mm |
| • Vodorovný priehyb : Celkové kombinácie | 269mm |
| • Limitný priehyb L/250                  | 500mm |

## 7 Návrh a posúdenie spodnej stavby

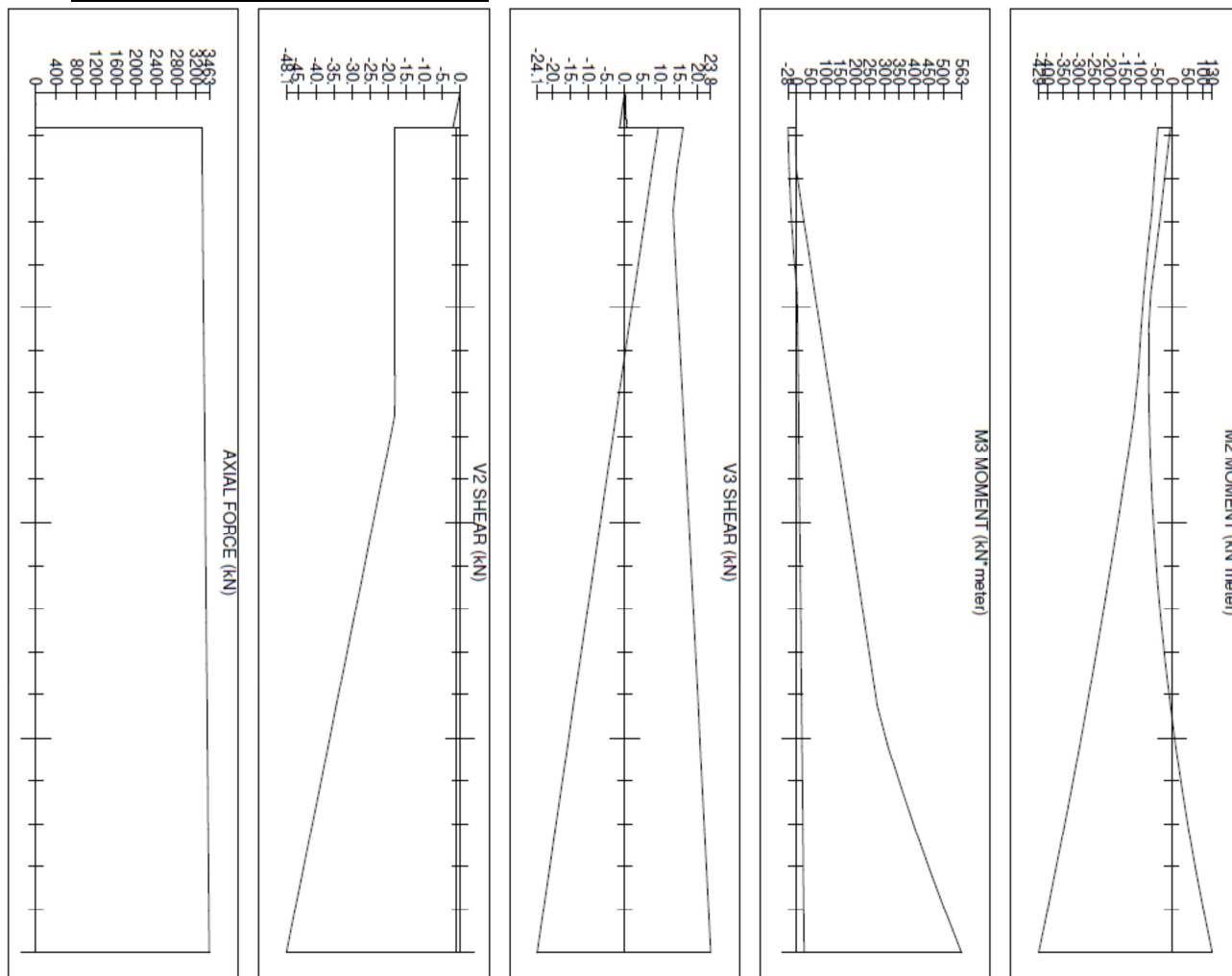
### 7.1 Medziľahlá podpera

#### 7.1.1 Pylóny a vzpera pylónov

Vnútorne sily (štádium prevádzky) :

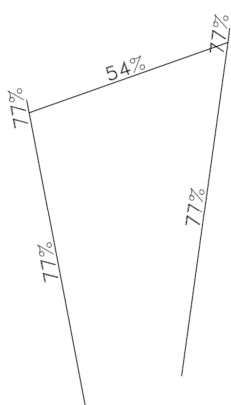


**Vnútorne sily (štádium výstavby) :**

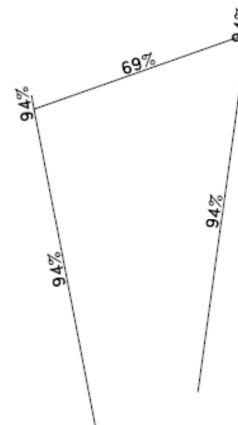


**Posúdenie :**

Posúdenie bolo vykonané v programe STRAP a zobrazené je percentuálne využitie prierezu.



**Vyhovuje pre štádium prevádzky**



**Vyhovuje pre štádium výstavby**

**Detailný posudok pre max. využitý pylón v štádiu prevádzky:**

Moments: kN\*meter , Forces: kN , Stresses: mPa , Section prop.: cm.

Beam: 1391, 1390	1328	1327	—X3 (Major axis)
	24.58		
	Kx for LTB = 1.00		

**CONSTRAINTS**

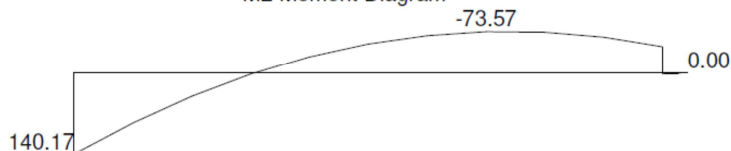
- |                |       |  |             |
|----------------|-------|--|-------------|
| - Sections :   | Check | - Kx = 2.10                                | - Ky = 2.10 |
| - Steel Grade: | S355  | - Allow. Slend. : 250 (compr.) 300 (tens.) |             |
|                |       | - Allowable Deflection : 1/350             |             |
|                |       | - Tension Area Reduction Factor : 1.00     |             |

Section: 6: Pylon

Ix = 585111 Iy = 585111cm<sup>4</sup> Wplx = 16962 Wply = 16962cm<sup>3</sup> Area = 606.8  
 D = 900.00 t = 22.00mm  
 J = 1170223 Cw = 26005.0dm<sup>6</sup>

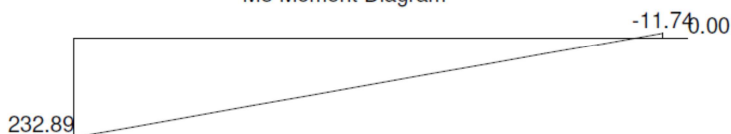
DESIGN COMBINATION = 110

M2 Moment Diagram



Max. AXIAL Force = -2727.24 (compr.) Max. SHEAR Force = 24.65

M3 Moment Diagram



Max. AXIAL Force = -2727.24 (compr.) Max. SHEAR Force = 10.37

SECTION CLASSIFICATION: \*\*\* CLASS 2 \*\*\*

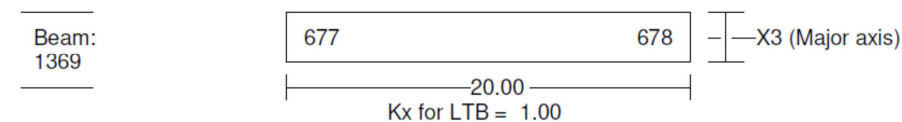
Limiting Ratios: Class 1 Class 2 Class 3  
 d/t = 40.91 < 33.1 46.3 59.6 (e = 0.814 R = 0.127)  
 \*\* Design Strength (py) = 355.0 \*\*

DESIGN	EQUATION	FACTORS	VALUES	RESULT
M3 Moment (6.12)	$\frac{M_{ed}}{M_c} < 1.00$	Wpl = 16962.99	M <sub>ed</sub> = 232.89 M <sub>c</sub> = 5474.42	0.04
Notes:	LOW Shear Load Used for Moment Design			
M2 Moment (6.12)	$\frac{M_{ed}}{M_c} < 1.00$	Wpl = 16962.99	M <sub>ed</sub> = 140.17 M <sub>c</sub> = 5474.42	0.03
Notes:	LOW Shear Load Used for Moment Design			
Deflection	$\frac{defl.}{L / 350} < 1.00$		defl = 0.00714	0.10
Combined Stresses (Local) (6.2.9) (6.41)	$\frac{(M_y)_{\alpha}}{(M_{ny})} + \frac{(M_z)_{\beta}}{(M_{nz})} < 1.00$	n = 0.13926	M <sub>y</sub> = 232.89 M <sub>z</sub> = 140.17 M <sub>ny</sub> = 5474.42 M <sub>nz</sub> = 5474.42 $\alpha = 2.00$ $\beta = 2.00$	0.00
Axial Force 6.3.1 Note:	$\frac{N_{ed}}{N_{b,rd}} < 1.00$ buckling curve used is : a	(kL/r) <sub>x</sub> = 164 (kL/r) <sub>y</sub> = 164 X <sub>fy</sub> = 69	N <sub>ed</sub> = 2727.24 A <sub>g</sub> = 606.83 N <sub>crd</sub> = 3828.87	0.71

Bending and Axial Compression 6.3.3	Ned	kyMy	kzMz	Cmy = 0.60	ky = 0.94	0.77
	+ + +			Cmz = 0.60	kz = 0.57	
	Nbmin	Mcy	McZ	My = 232.89	$\mu_x = 0.80$	
	< 1.00			Mz = 140.17	$\mu_y = 0.80$	
	Critical Segment from			0.00 to 24.58		

**Detailný posudok pre max. využitú vzperu v štádiu prevádzky :**

Moments: kN\*meter , Forces: kN , Stresses: mPa , Section prop.: cm.



Ignore: deflections  
 CONSTRAINTS

- Sections : Check  
 - Steel Grade: S355

DESIGN DATA

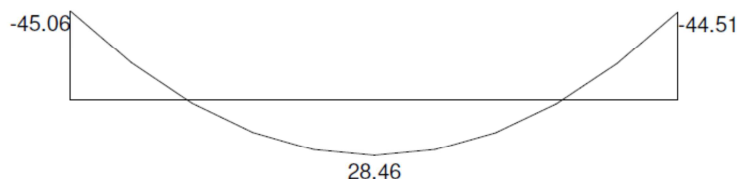
- Kx = 1.00 - Ky = 1.00  
 - Allow. Slend. : 250 (compr.) 300 (tens.)  
 - Allowable Deflection : 1/350  
 - Tension Area Reduction Factor : 1.00

Section: 7: Vzpera pylonu

Ix = 33469.0 Iy = 33469.0cm4 Wplx = 1936 Wply = 1936cm3 Area = 138.2  
 D = 450.00 t = 10.00mm  
 J = 66937.9 Cw = 2975.02dm6

DESIGN COMBINATION = 294

M2 Moment Diagram



Max. AXIAL Force = -529.94 (compr.) Max. SHEAR Force = 14.68  
 M3 Moment Diagram



Max. AXIAL Force = -529.94 (compr.) Max. SHEAR Force = 0.00

SECTION CLASSIFICATION: \*\*\* CLASS 2 \*\*\*

Limiting Ratios:	Class 1	Class 2	Class 3
d/t= 45.00	< 33.1	46.3	59.6 (e = 0.814 R = 0.108 )

\*\* Design Strength (py ) = 355.0 \*\*

DESIGN	EQUATION	FACTORS	VALUES	RESULT
M3 Moment (6.12)  Notes:	$\frac{M_{ed}}{M_c} < 1.00$ LOW Shear Load Used for Moment Design	Wpl = 1936.33	Med = 57.89 Mc = 624.91	0.09
V3 Shear (6.17)	Ved/Vc,rd < 1.00	Av = 88.00	Ved = 14.68 Vc = 1639.58	0.01
M2 Moment (6.12)  Notes:	$\frac{M_{ed}}{M_c} < 1.00$ LOW Shear Load Used for Moment Design	Wpl = 1936.33	Med = 45.06 Mc = 624.91	0.07
Combined Stresses (Local) (6.2.9) (6.41)	$\frac{(M_y)_{\alpha}}{(M_{ny})} + \frac{(M_z)_{\beta}}{(M_{nz})} < 1.00$	n = 0.11879	My = 57.89 Mz = 45.06 Mny = 624.91 Mnz = 624.91 $\alpha = 2.00$ $\beta = 2.00$	0.01
Axial Force 6.3.1 Note:	$\frac{N_{ed}}{N_{b,rd}} < 1.00$ buckling curve used is : a	$(kL/r)_x = 128$ $(kL/r)_y = 128$ Xfy = 109	Ned = 529.94 Ag = 138.23 Ncrd = 1371.14	0.39
Bending and Axial Compression 6.3.3	$\frac{N_{ed}}{N_{bmin}} + \frac{k_y M_y}{M_{cy}} + \frac{k_z M_z}{M_{cz}} < 1.00$ Critical Segment from	Cmy = 1.00 Cmz = 0.61  My = 57.89 Mz = 45.06	ky = 1.31 kz = 0.48 $\mu_x = 0.80$ $\mu_y = 0.80$ Mz = 45.06	0.54

**Detailný posudok pre max. využitý pylón v štádiu výstavby:**

Moments: kN\*meter, Forces: kN, Stresses: mPa, Section prop.: cm.

Beam: 1388, 1389

1325 1326

24.58

X3 (Major axis)

Kx for LTB = 1.00

**CONSTRAINTS**

- Sections : Check

- Steel Grade: S355

**DESIGN DATA**

- Kx = 1.50 - Ky = 2.00

- Allow. Slend. : 250 (compr.) 300 (tens.)

- Allowable Deflection : 1/350

- Tension Area Reduction Factor : 1.00

Section: 6: Pylon

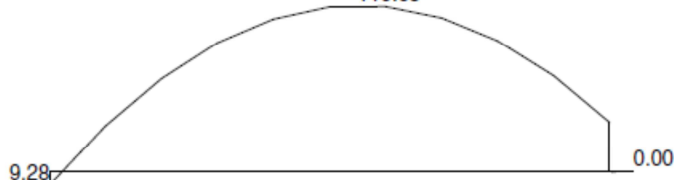
Ix = 585111 Iy = 585111cm<sup>4</sup> Wplx = 16962 Wply = 16962cm<sup>3</sup> Area = 606.8

D = 900.00 t = 22.00mm

J = 1170223 Cw = 26005.0dm<sup>6</sup>

DESIGN COMBINATION = 8

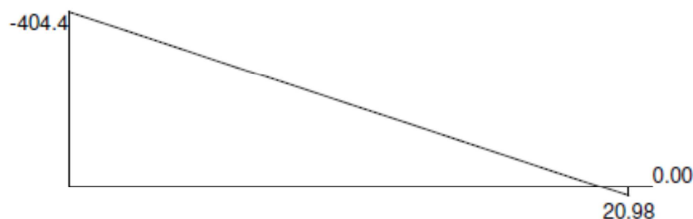
M2 Moment Diagram  
-110.63



Max. AXIAL Force = -3643.52 (compr.) Max. SHEAR Force = 18.51



M3 Moment Diagram



Max. AXIAL Force = -3643.52 (compr.) Max. SHEAR Force = 18.04

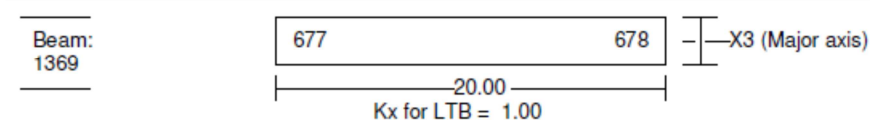
SECTION CLASSIFICATION: \*\*\* CLASS 2 \*\*\*

Limiting Ratios: Class 1 Class 2 Class 3  
 d/t= 40.91 < 33.1 46.3 59.6 (e = 0.814 R = 0.169 )  
 \*\* Design Strength (p<sub>y</sub>) = 355.0 \*\*

DESIGN	EQUATION	FACTORS	VALUES	RESULT
M3 Moment (6.12)	$\frac{M_{ed}}{M_c} < 1.00$	Wpl = 16962.99	M <sub>ed</sub> = 404.49 M <sub>c</sub> = 5474.42	0.07
Notes:	LOW Shear Load Used for Moment Design			
M2 Moment (6.12)	$\frac{M_{ed}}{M_c} < 1.00$	Wpl = 16962.99	M <sub>ed</sub> = 110.63 M <sub>c</sub> = 5474.42	0.02
Notes:	LOW Shear Load Used for Moment Design			
Deflection	$\frac{defl.}{L / 350} < 1.00$		defl = 0.00956	0.14
Combined Stresses (Local) (6.2.9) (6.41)	$\frac{(M_y)_\alpha}{(M_{ny})} + \frac{(M_z)_\beta}{(M_{nz})} < 1.00$	n = 0.18605	M <sub>y</sub> = 404.49 M <sub>z</sub> = 110.63 M <sub>ny</sub> = 5367.02 M <sub>nz</sub> = 5367.02 $\alpha = 2.00$ $\beta = 2.00$	0.01
Axial Force 6.3.1 Note:	$\frac{N_{ed}}{N_{b,rd}} < 1.00$ buckling curve used is : a	(kL/r) <sub>x</sub> = 117 (kL/r) <sub>y</sub> = 157 X <sub>fy</sub> = 75	N <sub>ed</sub> = 3643.52 A <sub>g</sub> = 606.83 N <sub>crd</sub> = 4152.50	0.88
Bending and Axial Compression 6.3.3	$\frac{N_{ed}}{N_{bmin}} + \frac{k_y M_y}{M_{cy}} + \frac{k_z M_z}{M_{cz}} < 1.00$ Critical Segment from 0.00 to 24.58	C <sub>my</sub> = 0.60 C <sub>mz</sub> = 0.60 M <sub>y</sub> = 404.49	k <sub>y</sub> = 0.51 k <sub>z</sub> = 1.02 $\mu_x = 0.80$ $\mu_y = 0.80$ M <sub>z</sub> = 110.63	0.94

**Detailný posudok pre max. využitú vzperu v štádiu výstavby :**

Moments: kN\*meter , Forces: kN , Stresses: mPa , Section prop.: cm.



Ignore: deflections  
 CONSTRAINTS

- Sections : Check  
 - Steel Grade: S355

DESIGN DATA

- K<sub>x</sub> = 1.00 - K<sub>y</sub> = 1.00  
 - Allow. Slend. : 250 (compr.) 300 (tens.)  
 - Allowable Deflection : 1/350  
 - Tension Area Reduction Factor : 1.00

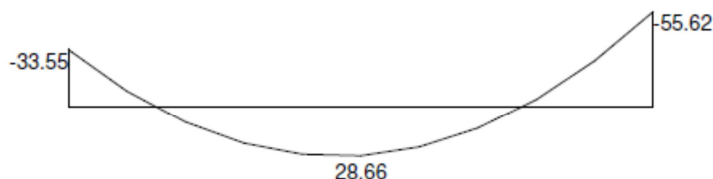
Section: 7: Vzpera pylonu

I<sub>x</sub> = 33469.0 I<sub>y</sub> = 33469.0cm<sup>4</sup> W<sub>plx</sub> = 1936 W<sub>ply</sub> = 1936cm<sup>3</sup> Area = 138.2  
 D = 450.00 t = 10.00mm  
 J = 66937.9 C<sub>w</sub> = 2975.02dm<sup>6</sup>



DESIGN COMBINATION = 8

M2 Moment Diagram



Max. AXIAL Force = -625.23 (compr.) Max. SHEAR Force = 15.75

M3 Moment Diagram



Max. AXIAL Force = -625.23 (compr.) Max. SHEAR Force = 0.19

SECTION CLASSIFICATION: \*\*\* CLASS 2 \*\*\*

Limiting Ratios: Class 1 Class 2 Class 3  
 d/t= 45.00 < 33.1 46.3 59.6 (e = 0.814 R = 0.127 )  
 \*\* Design Strength (py) = 355.0 \*\*

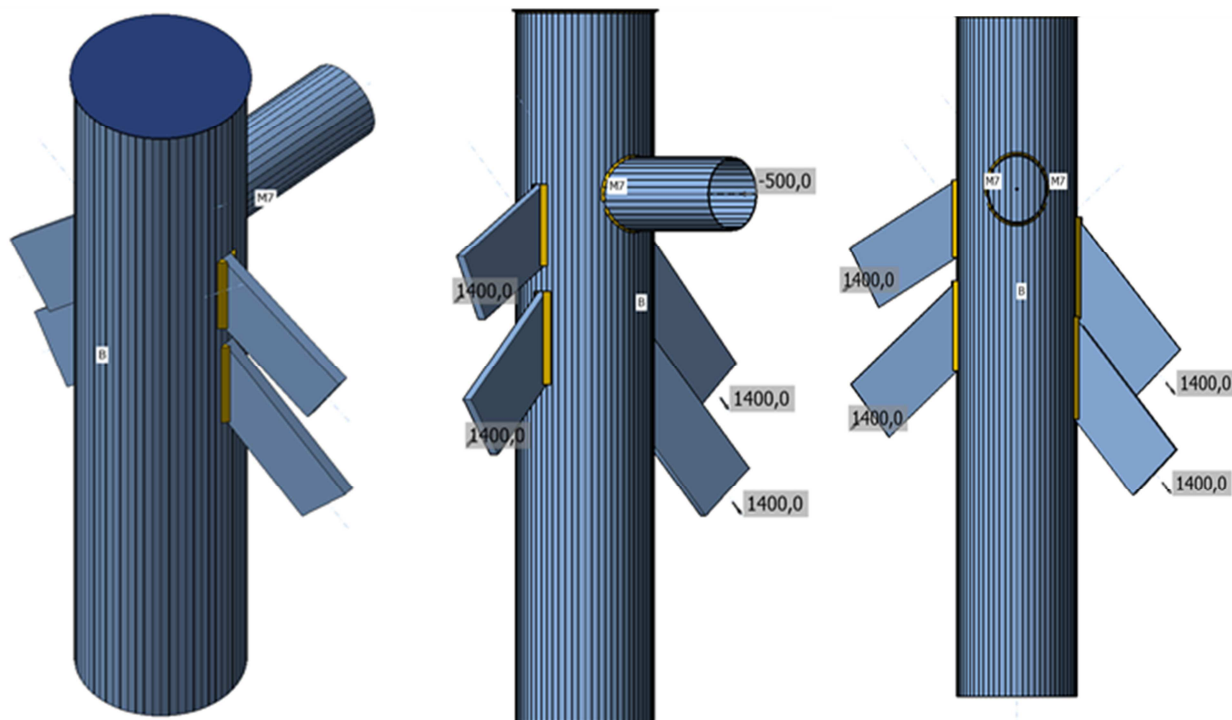
DESIGN	EQUATION	FACTORS	VALUES	RESULT
M3 Moment (6.12)	$\frac{M_{ed}}{M_c} < 1.00$	Wpl = 1936.33	M <sub>ed</sub> = 93.39 M <sub>c</sub> = 624.91	0.15
Notes:	LOW Shear Load Used for Moment Design			
V3 Shear (6.17)	V <sub>ed</sub> /V <sub>c,rd</sub> < 1.00	A <sub>v</sub> = 88.00	V <sub>ed</sub> = 15.75 V <sub>c</sub> = 1639.58	0.01
M2 Moment (6.12)	$\frac{M_{ed}}{M_c} < 1.00$	Wpl = 1936.33	M <sub>ed</sub> = 55.62 M <sub>c</sub> = 624.91	0.09
Notes:	LOW Shear Load Used for Moment Design			
Combined Stresses (Local) (6.2.9) (6.41)	$\frac{(M_y)_\alpha}{(M_{ny})} + \frac{(M_z)_\beta}{(M_{nz})} < 1.00$	n = 0.14015	M <sub>y</sub> = 93.39 M <sub>z</sub> = 55.62 M <sub>ny</sub> = 624.91 M <sub>nz</sub> = 624.91 α = 2.00 β = 2.00	0.03
Axial Force 6.3.1 Note:	$\frac{N_{ed}}{N_{b,rd}} < 1.00$	(kL/r) <sub>x</sub> = 128 (kL/r) <sub>y</sub> = 128 X <sub>fy</sub> = 109 buckling curve used is : a	N <sub>ed</sub> = 625.23 A <sub>g</sub> = 138.23 N <sub>crd</sub> = 1371.14	0.46
Bending and Axial Compression 6.3.3	$\frac{N_{ed}}{N_{bmin}} + \frac{k_y M_y}{M_{cy}} + \frac{k_z M_z}{M_{cz}} < 1.00$	C <sub>my</sub> = 0.98 C <sub>mz</sub> = 0.51 M <sub>y</sub> = 93.39	k <sub>y</sub> = 1.34 k <sub>z</sub> = 0.42 μ <sub>x</sub> = 0.80 μ <sub>y</sub> = 0.80 M <sub>z</sub> = 55.62	0.69
	Critical Segment from 0.00 to 20.00			

### 7.1.1 Posúdenie hlavice pylónu v mieste napojenia lán

V tomto mieste je posúdený oceľový prierez pylónu na roztrhnutie.

#### Nosníky a stĺpy

Meno	Prierez	$\beta$ - Smer [°]	$\gamma$ - Sklon [°]	$\alpha$ - Pootočenie [°]	Odsadenie ex [mm]	Odsadenie ey [mm]	Odsadenie ez [mm]	Sily v
B	3 - Pylón CHS914,25(CHS914,25)	0,0	90,0	0,0	0	0	0	Uzol
M3	4 - Plech prípoja závesu 65, 450(Doska 65, 450)	4,5	29,0	90,0	0	-958	0	Uzol
M4	4 - Plech prípoja závesu 65, 450(Doska 65, 450)	7,0	40,0	90,0	0	-1280	0	Uzol
M5	4 - Plech prípoja závesu 65, 450(Doska 65, 450)	173,3	48,0	90,0	0	-780	0	Uzol
M6	4 - Plech prípoja závesu 65, 450(Doska 65, 450)	166,0	48,0	90,0	0	-1220	0	Uzol
M7	5 - vzpera CHS100,3(CHS457,10)	90,0	0,0	0,0	-280	0	-1150	Uzol

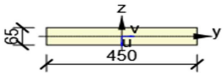
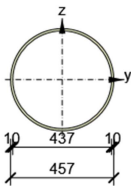


#### Prierezy

Meno	Materiál
3 - Pylón CHS914,25(CHS914,25)	S 355
4 - Plech prípoja závesu 65, 450(Doska 65, 450)	S 355
5 - vzpera CHS100,3(CHS457,10)	S 355

#### Prierezy

Meno	Materiál	Obrázok
3 - Pylón CHS914,25(CHS914,25)	S 355	

4 - Plech prípoja závesu 65, 450(Doska 65, 450)	S 355	
5 - vzpera CHS100,3(CHS457,10)	S 355	

### Účinky zaťaženia (rovnováha není požadována)

Meno	Prvok	N [kN]	V <sub>y</sub> [kN]	V <sub>z</sub> [kN]	M <sub>x</sub> [kNm]	M <sub>y</sub> [kNm]	M <sub>z</sub> [kNm]
LE1	M3	1400,0	0,0	0,0	0,0	0,0	0,0
	M4	1400,0	0,0	0,0	0,0	0,0	0,0
	M5	1400,0	0,0	0,0	0,0	0,0	0,0
	M6	1400,0	0,0	0,0	0,0	0,0	0,0
	M7	-500,0	0,0	0,0	0,0	0,0	0,0

### Posudek

#### Súhrn

Meno	Hodnota	Status
Výpočet	100,0%	OK
Plech	4,4 < 5,0%	OK
Zvary	98,3 < 100%	OK
Vzper	Nespočítané	
GMNA	Vypočítané	

### Plech

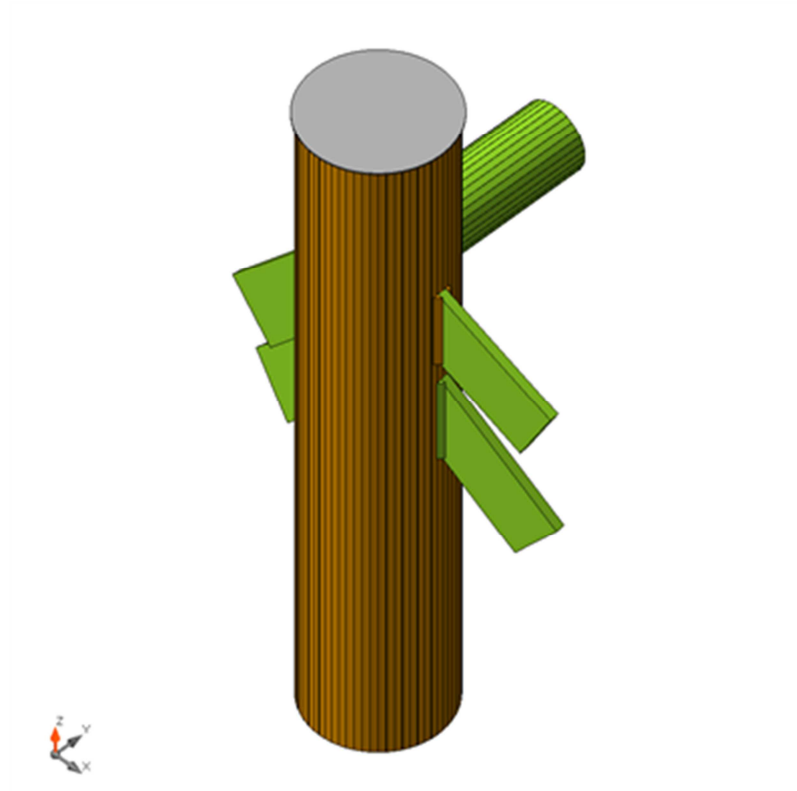
Meno	Materiál	Hrúbka [mm]	Zaťaženie	$\sigma_{Ed}$ [MPa]	$\epsilon_{pl}$ [%]	$\sigma_{C_{Ed}}$ [MPa]	Status
B	S 355	25,0	LE1	364,3	4,4	0,0	OK
M3-bfl 1	S 355 - 1	65,0	LE1	265,3	0,0	0,0	OK
M4-bfl 1	S 355 - 1	65,0	LE1	302,5	0,1	0,0	OK
M5-bfl 1	S 355 - 1	65,0	LE1	335,3	0,1	0,0	OK
M6-bfl 1	S 355 - 1	65,0	LE1	335,8	0,4	0,0	OK
M7	S 355	10,0	LE1	355,6	0,3	0,0	OK
SP1	S 355	10,0	LE1	171,9	0,0	0,0	OK

### Návrhové údaje

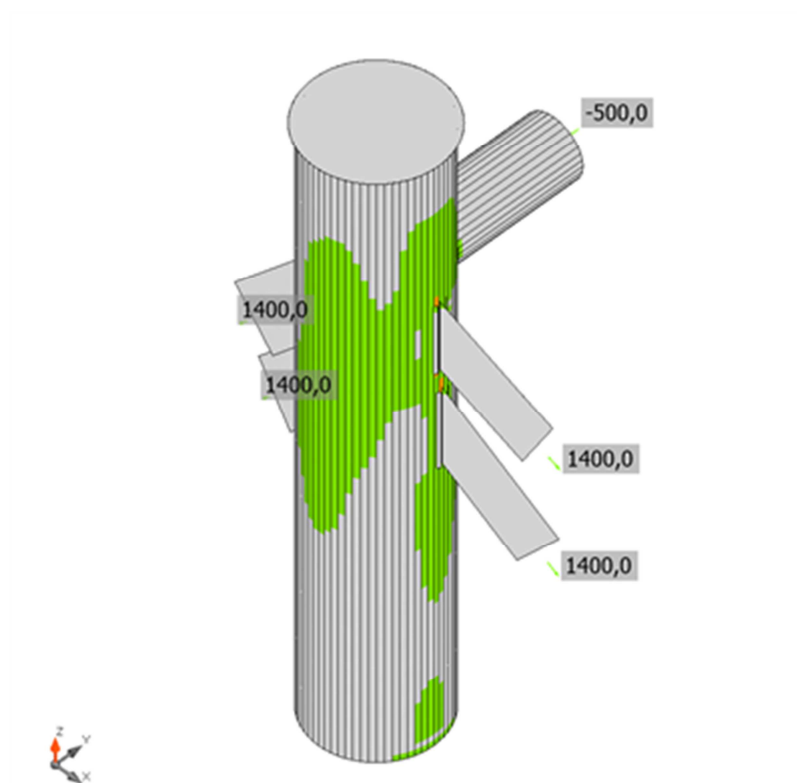
Materiál	$f_y$ [MPa]	$\epsilon_{lim}$ [%]
S 355	355,0	5,0
S 355 - 1	335,0	5,0

### Vysvetlenie symbolov

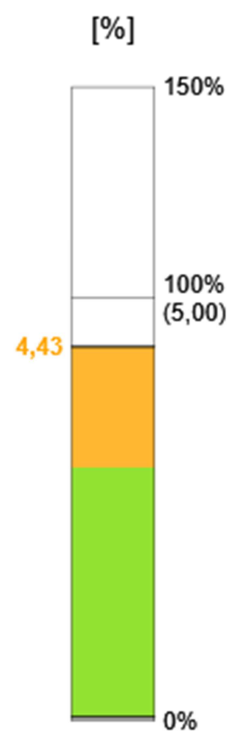
$\epsilon_{pl}$	Pomerné pretvorenie
$\sigma_{Ed}$	Zrovn. napätie
$\sigma_{C_{Ed}}$	Kontaktné napätie
$f_y$	Mez kluzu
$\epsilon_{lim}$	Mezní plastické pretvoření

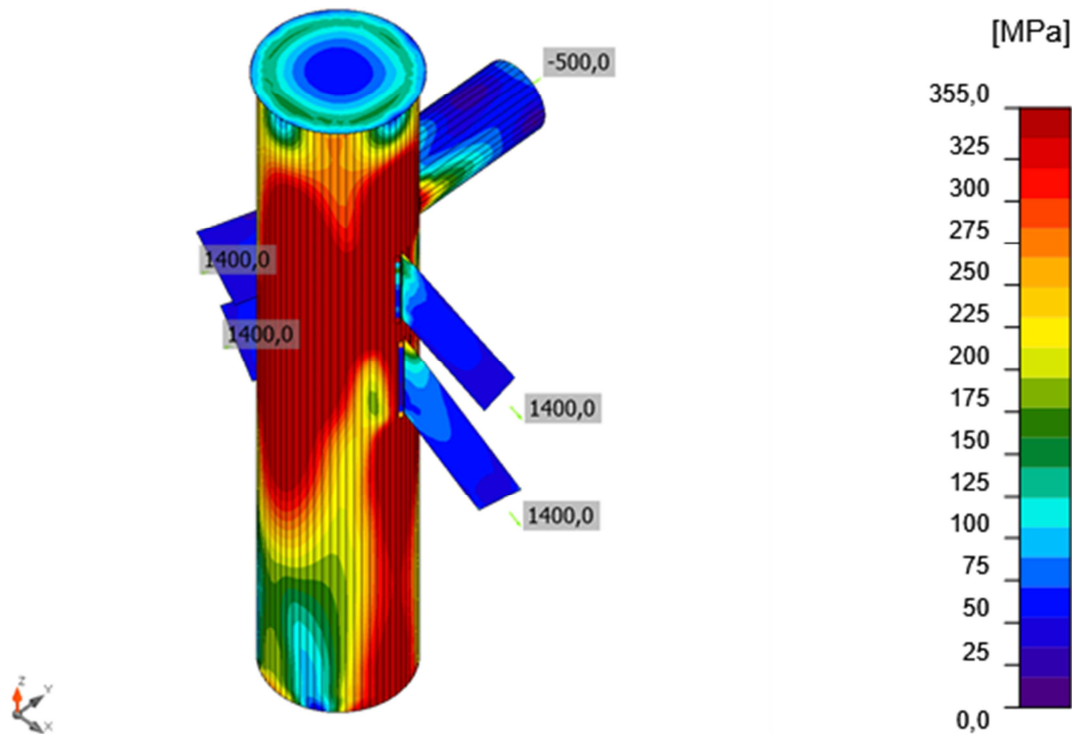


Súhrnný posudok, LE1



Posudok pretvorenia, LE1





Zrovnávacie napätie , LE1

#### Zvary (Plastická redistribúcia)

Položka	Hrana	Účinná hr. [mm]	Dĺžka [mm]	Zat'azenie	$\sigma_{w,Ed}$ [MPa]	$\epsilon_{PI}$ [%]	$\sigma_{\perp}$ [MPa]	$\tau_{  }$ [MPa]	$\tau_{\perp}$ [MPa]	Ut [%]	Ut <sub>c</sub> [%]	Status
SP1	B	▲10,0▲	2792	LE1	187,9	0,0	-11,4	106,8	-18,1	43,1	21,2	OK
B-arc 6	M7	▲10,0▲	1405	LE1	427,1	1,0	-345,8	18,9	143,5	98,1	68,1	OK
		▲10,0▲	2792	LE1	115,6	0,0	1,8	-66,7	-1,9	26,5	8,7	OK
B-arc 16	M3-bfl 1	▲25,0▲	515	LE1	427,0	0,1	105,2	226,0	77,5	98,0	31,8	OK
		▲25,0▲	515	LE1	389,9	0,0	39,4	-211,8	-72,8	89,5	26,6	OK
B-arc 15	M4-bfl 1	▲25,0▲	587	LE1	272,0	0,0	1,1	150,2	45,8	62,4	17,7	OK
		▲25,0▲	587	LE1	409,5	0,0	114,2	-224,7	-32,1	94,0	26,9	OK
B-arc 50	M5-bfl 1	▲25,0▲	673	LE1	427,1	0,2	40,8	244,7	19,8	98,1	31,9	OK
		▲25,0▲	673	LE1	427,2	0,2	128,8	215,4	-94,4	98,1	26,4	OK
B-arc 51	M6-bfl 1	▲25,0▲	673	LE1	428,3	0,8	74,9	241,3	32,4	98,3	29,0	OK
		▲25,0▲	673	LE1	426,9	0,0	-67,4	-242,7	-18,0	98,0	18,4	OK

#### Návrhové údaje

	$\beta_w$ [-]	$\sigma_{w,Rd}$ [MPa]	$0.9 \sigma$ [MPa]
S 355	0,90	435,6	352,8

#### Vysvetlenie symbolov

$\epsilon_{PI}$	Pomerné pretvorenie
$\sigma_{w,Ed}$	Zrovnávacie napätie
$\sigma_{w,Rd}$	Únosnosť na zrovnávacie napätie
$\sigma_{\perp}$	Kolmé napätie
$\tau_{  }$	Šmykové napätie rovnobežné s osou zvaru
$\tau_{\perp}$	Šmykové napätie kolmé k osi zvaru
$0.9 \sigma$	Únosnosť na kolmé napätie - $0.9 \cdot f_u / \gamma_{M2}$
$\beta_w$	Súčiniteľ korelácie podľa EN 1993-1-8 tab. 4.1
Ut	Využitie
Ut <sub>c</sub>	Využitie únosnosti zvaru

### Podrobné výsledky pro B-arc 51 M6-bf1 1

Posúdenie únosnosti zvaru (EN 1993-1-8 4.5.3.2)

$$\sigma_{w,Ed} = f_u / (\beta_w \gamma_{M2}) = 435,6 \text{ MPa} \geq \sigma_{w,Ed} = [\sigma_1^2 + 3(\tau_1^2 + \tau_{II}^2)]^{0,5} = 428,3 \text{ MPa}$$

$$\sigma_{1,Ed} = 0,9 f_u / \gamma_{M2} = 352,8 \text{ MPa} \geq |\sigma_1| = 74,9 \text{ MPa}$$

kde:

$$f_u = 490,0 \text{ MPa} \quad \text{– Medzná pevnosť}$$

$$\beta_w = 0,90 \quad \text{– vhodný korelačný súčiniteľ prevzatý z tabuľky 4.1}$$

$$\gamma_{M2} = 1,25 \quad \text{– Súčiniteľ spoľahlivosti}$$

Využitie napätia

$$U_i = \max\left(\frac{\sigma_{w,Ed}}{\sigma_{w,Rd}}; \frac{|\sigma_1|}{\sigma_{1,Rd}}\right) = 98,3 \quad \%$$

### Vzper

**Analýza boulení nebyla provedena.**

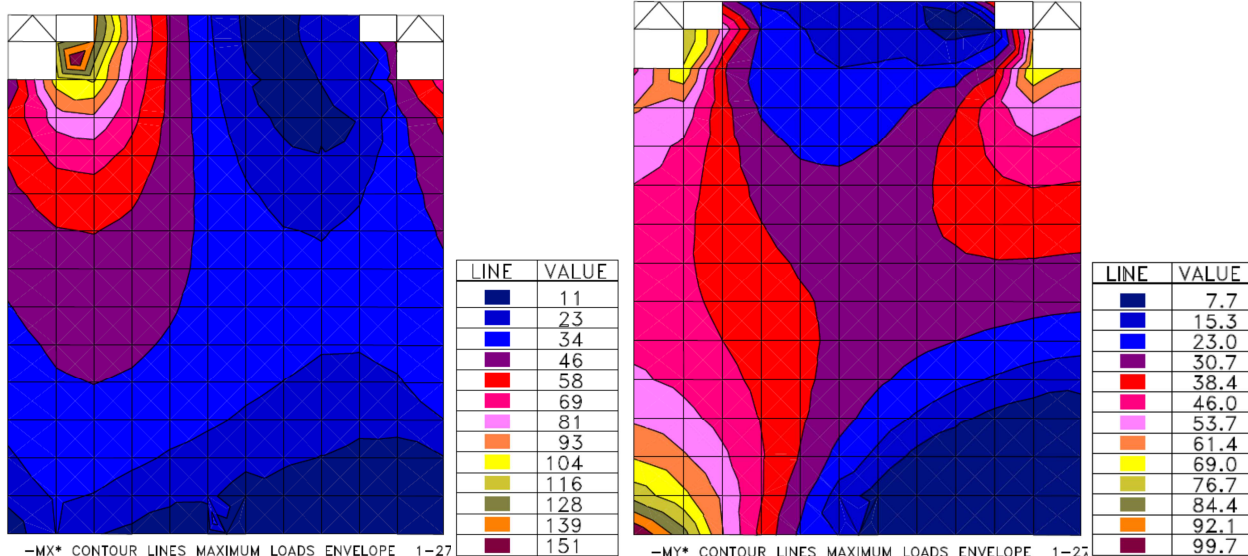
*Nastavenie normy*

Položka	Hodnota	Jednotka	Článok/Rovnica
Y <sub>M0</sub>	1,00	-	EN 1993-1-1: 6.1
Y <sub>M1</sub>	1,00	-	EN 1993-1-1: 6.1
Y <sub>M2</sub>	1,25	-	EN 1993-1-1: 6.1
Y <sub>M3</sub>	1,25	-	EN 1993-1-8: 2.2
Y <sub>C</sub>	1,50	-	EN 1992-1-1: 2.4.2.4
Y <sub>Inst</sub>	1,20	-	EN 1992-4: Table 4.1
Súčiniteľ styčníc β <sub>j</sub>	0,67	-	EN 1993-1-8: 6.2.5
Účinná plocha - súčiniteľ veľkosti oka	0,10	-	
Súčiniteľ trenia - betón	0,25	-	EN 1993-1-8
Súčiniteľ trenia v únosnosti preklzu	0,30	-	EN 1993-1-8 tab 3.7
Limitné plastické pretvorenie	0,05	-	EN 1993-1-5
Vyhodnotenie napätie zvarov	Plastická redistribúcia		
Konštrukčné zásady	Nie		
Vzdialenosť medzi skrutkami [d]	2,20	-	EN 1993-1-8: tab 3.3
Vzdialenosť medzi skrutkami a hranou [d]	1,20	-	EN 1993-1-8: tab 3.3
Únosnosť vytržení betonu	Oba		EN 1992-4: 7.2.1.4 and 7.2.2.5
Použití vypočítané ab v posudku otláčení.	Áno		EN 1993-1-8: tab 3.4
Potrhaný betón	Áno		EN 1992-4
Kontrola lokálnej deformácie	Nie		CIDECT DG 1, 3 - 1.1
Limita lokálnej deformácie	0,03	-	CIDECT DG 1, 3 - 1.1
Geometrická nelinearita (GMNA)	Áno		Veľké deformácie pre duté profily
Vystužený systém	Nie		EN 1993-1-8: 5.2.2.5



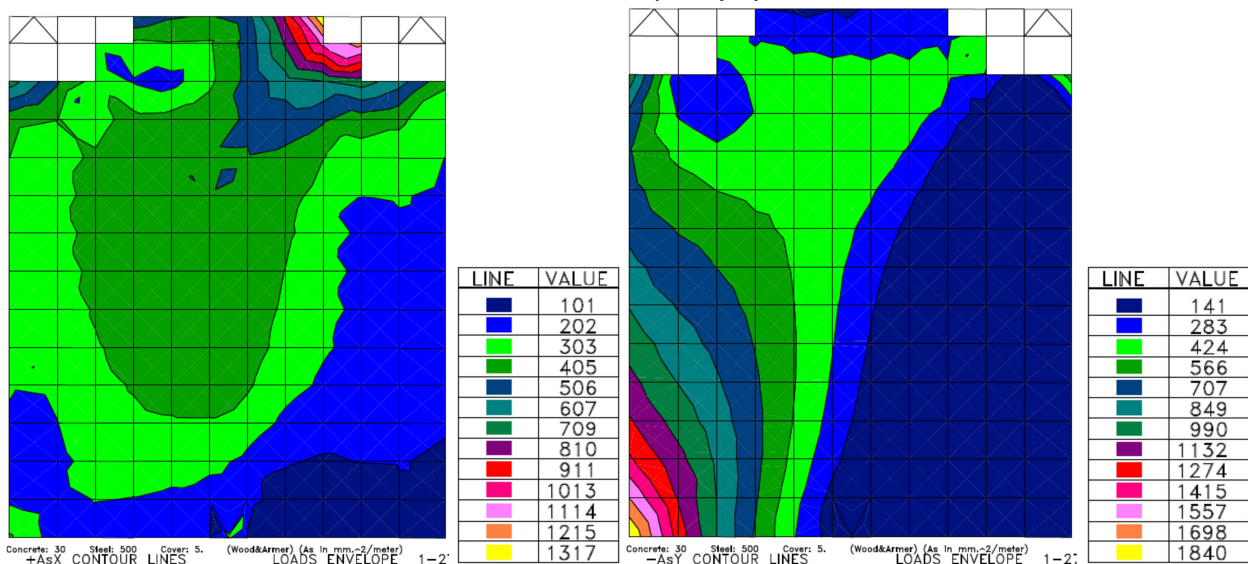
## 7.1.2 ŽB stena

### 7.1.2.1 Vnútročné sily



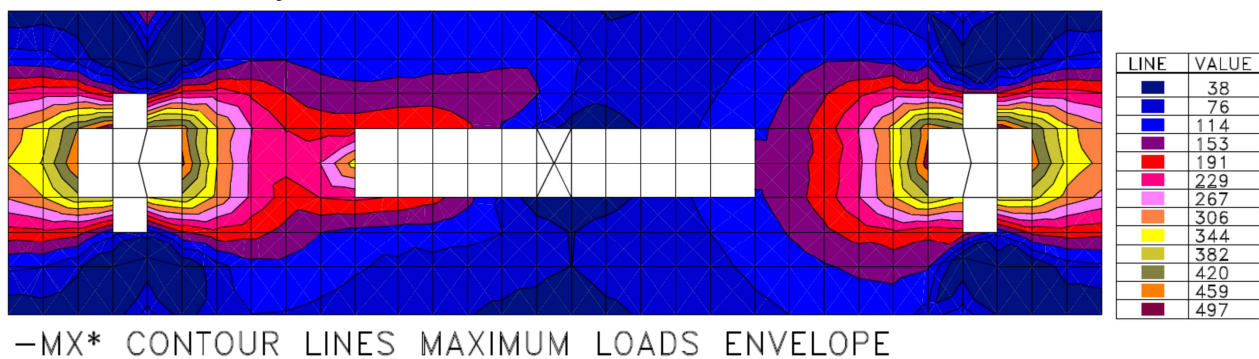
### 7.1.2.2 Návrh výstuže

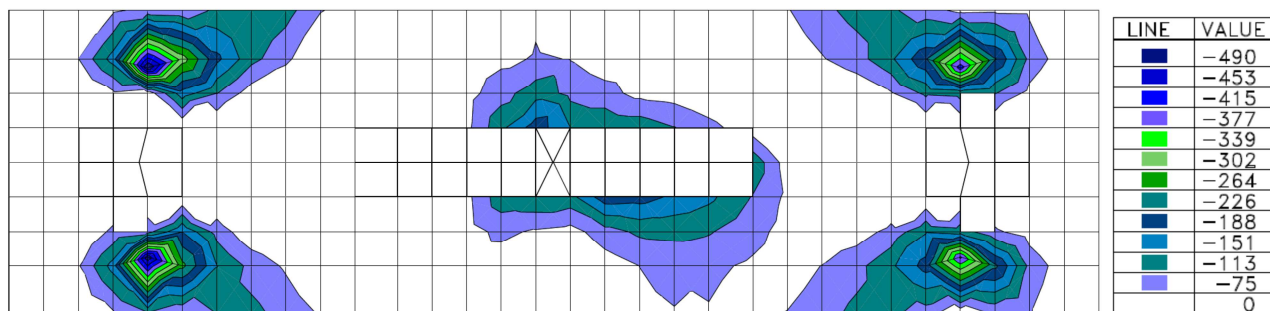
Na obrázkoch sú uvedené minimálne navrhnuté plochy výstuže.



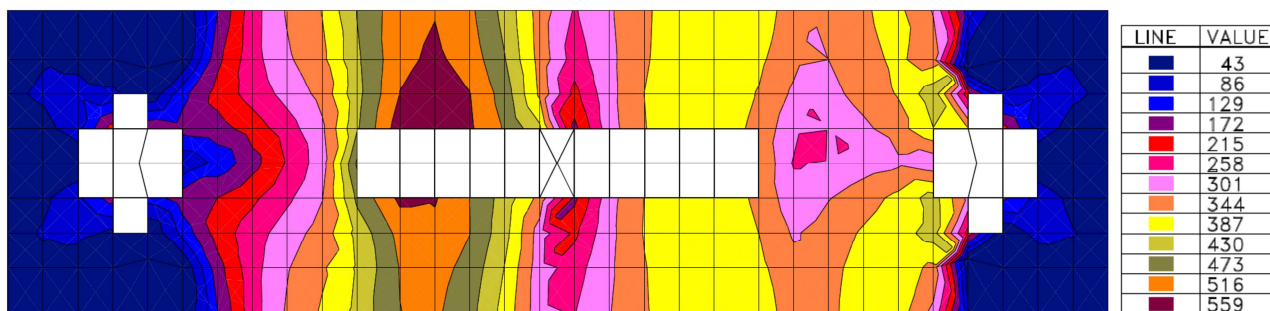
## 7.1.3 Základový rošt

### 7.1.3.1 Vnútročné sily

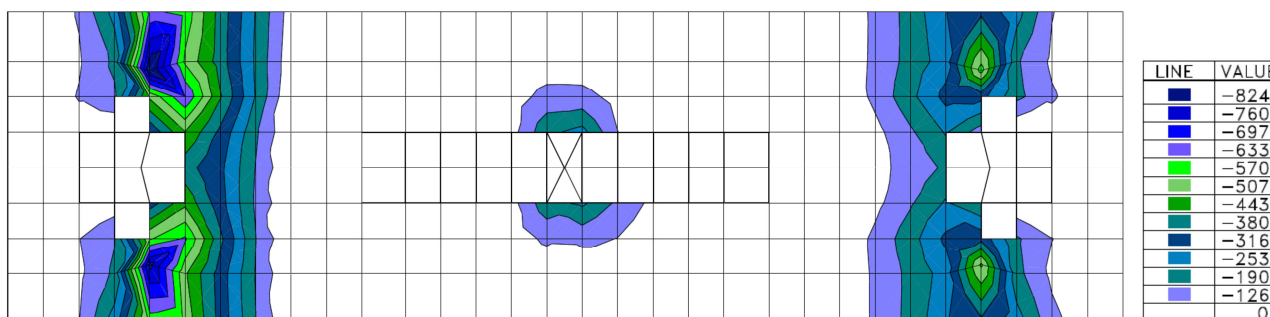




+MX\* CONTOUR LINES MINIMUM LOADS ENVELOPE



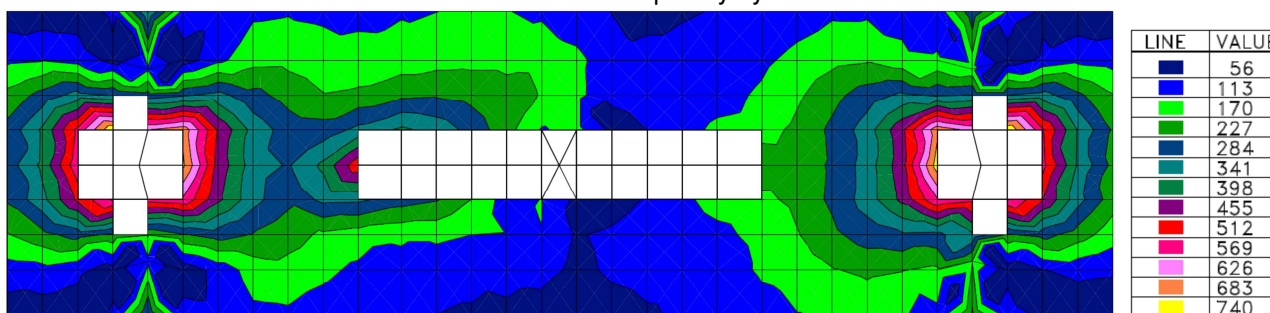
-MY\* CONTOUR LINES MAXIMUM LOADS ENVELOPE



+MY\* CONTOUR LINES MINIMUM LOADS ENVELOPE

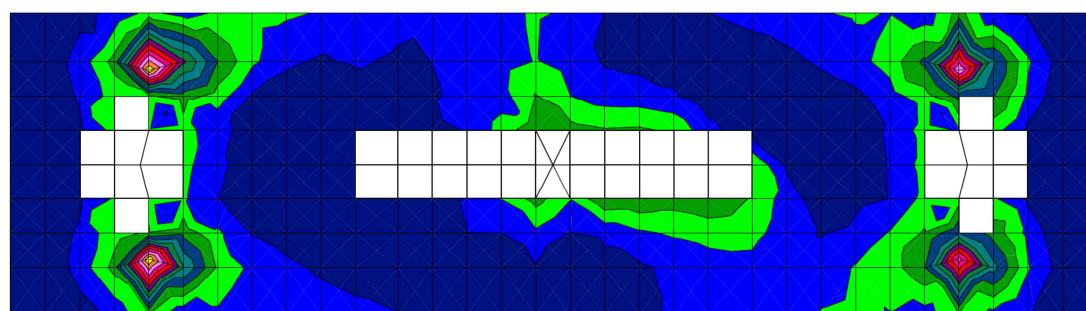
### 7.1.3.2 Návrh výstuže

Na obrázkoch sú uvedené minimálne navrhnuté plochy výstuže.



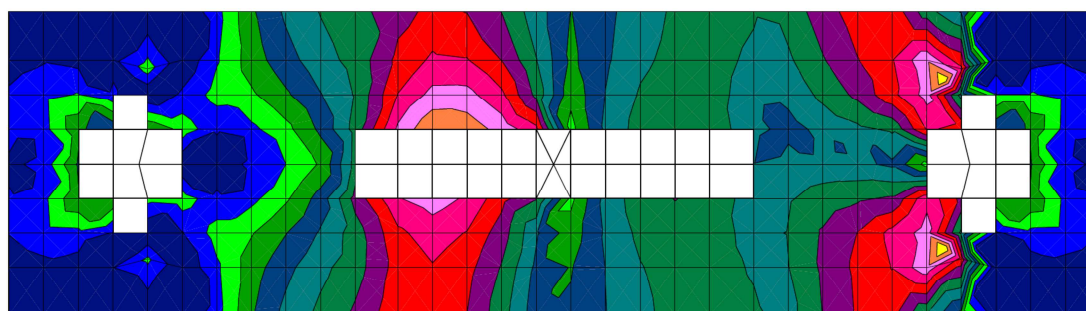
Concrete: 30 Steel: 500 Cover: 5. (Wood&Armer) (As in mm.<sup>2</sup>/meter)  
 -AsX CONTOUR LINES LOADS ENVELOPE





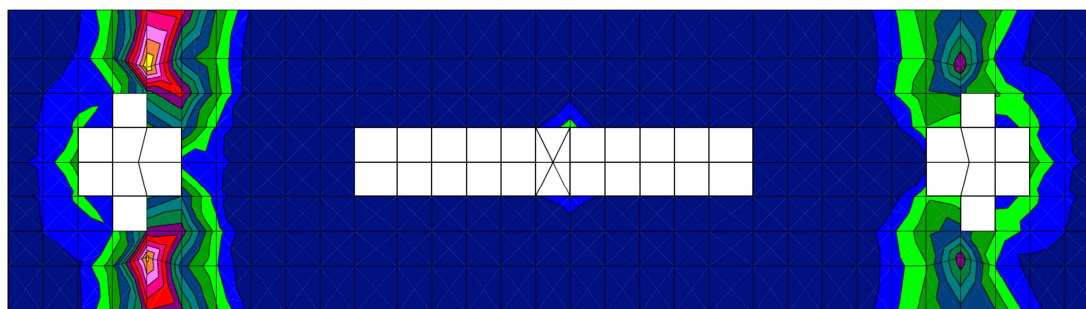
Concrete: 30 Steel: 500 Cover: 5. (Wood&Armer) (As in mm.<sup>2</sup>/meter)  
 +AsX CONTOUR LINES LOADS ENVELOPE

LINE	VALUE
54	54
109	109
164	164
219	219
274	274
329	329
383	383
438	438
493	493
548	548
603	603
658	658
712	712



Concrete: 30 Steel: 500 Cover: 5. (Wood&Armer) (As in mm.<sup>2</sup>/meter)  
 -AsY CONTOUR LINES LOADS ENVELOPE

LINE	VALUE
53	53
106	106
160	160
213	213
266	266
320	320
373	373
427	427
480	480
533	533
587	587
640	640
693	693



Concrete: 30 Steel: 500 Cover: 5. (Wood&Armer) (As in mm.<sup>2</sup>/meter)  
 +AsY CONTOUR LINES LOADS ENVELOPE

LINE	VALUE
70	70
141	141
212	212
283	283
354	354
424	424
495	495
566	566
637	637
708	708
778	778
849	849
920	920

#### 7.1.4 Ložiská

Ložiská sú navrhované na medziráhlych podperách. Zvolené boli hrncové ložiská.

Návrhová max. zvislá sila .....  $F_{zd} = 600kN$

#### 7.2 Opora č.1 a č.4

Obe opory sú svojím namáhaním si podobné. Jedná sa o ťahané prvky. Ťah je spôsobený že ŽB polia tvoria protiváhu pre stredové pole. Opory boli posúdené tak, aby ich gravitačný účinok bol väčší ako pôsobiaca ťahová zložka. Opora č.1 je spojená s masívnym podkladovým betónom a opora č.4 je spojená s preinjektovaným štrkovým založením. Vystuženie opôr je navrhnuté na minimálne stupne vystuženia.

##### Opora č.1

Pôsobiaca ťahová zložka .....  $F_{z,d} = 1600kN$

- Celková tiaž opory č.1  $G_{k,1} = 1790kN$
- Zásyp za oporou  $G_{k,2} = 205kN$
- Celková tiaž  $G_k = 1995kN$

Opora č.1 vyhovuje na stabilitu

##### Opora č.4

Pôsobiaca ťahová zložka .....  $F_{z,d} = 1900kN$

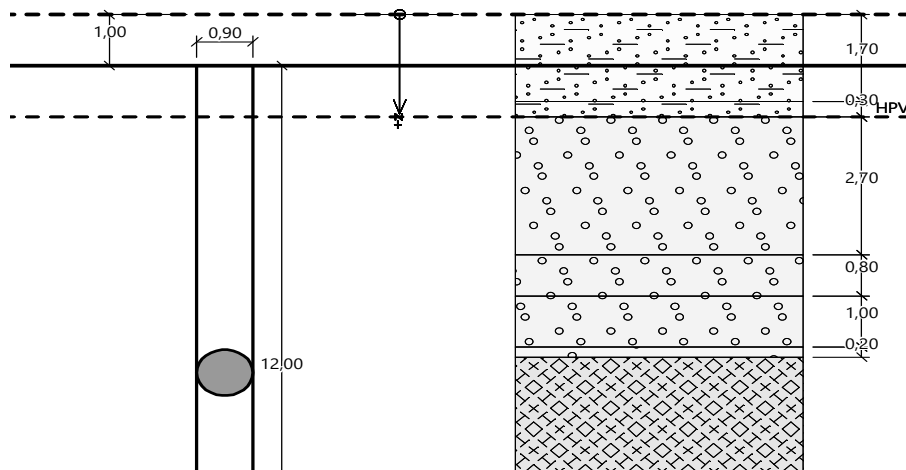
- Celková tiaž opory č.4  $G_{k,1} = 2200kN$
- Zainjektované podložie  $G_{k,2} = 869kN$
- Celková tiaž  $G_k = 3069kN$

Opora č.4 vyhovuje na stabilitu

## 8 Návrh a posúdenie zakladania

Založenie medziťahlých podpier je navrhnuté ako hĺbkové na vŕtaných veľkopriemerových ŽB pilótach  $\Phi 0,9\text{m}$  a dĺžky 12m. Charakteristiky a hĺbka zemín vychádza z IG vrtu VP-06. Posúdenie sa vykonalo v programe GEO5.

### 8.1 Posúdenie pilóty



#### 8.1.1 Vstupné údaje

##### Nastavenie

- Slovensko - EN 1997

##### Materiály a normy

- Betónové konštrukcie : EN 1992-1-1 (EC2)
- Súčinitele EN 1992-1-1 : štandardný

Súčinitele redukcie zaťaženia (F)			
		Nepriaznivé	Priaznivé
Stále zaťaženie :	$\gamma_G =$	1,35 [-]	1,00 [-]

Súčinitele redukcie odporu (R)			
Súčiniteľ redukcie odporu na plášti :	$\gamma_s =$	1,10 [-]	
Súčiniteľ redukcie odporu na päte :	$\gamma_b =$	1,10 [-]	
Súčiniteľ redukcie únosnosti ťaženej pilóty :	$\gamma_{st} =$	1,15 [-]	

##### Parametre zemín

#### Trieda S5

Objemová tiaž :  $\gamma = 18,50 \text{ kN/m}^3$   
 Uhol vnútorného trenia :  $\phi_{ef} = 27,00^\circ$   
 Súdržnosť zeminy :  $c_{ef} = 8,00 \text{ kPa}$   
 Poissonovo číslo :  $\nu = 0,35$   
 Oedometrický modul :  $E_{oed} = 12,50 \text{ MPa}$   
 Obj. tiaž sat.zeminy :  $\gamma_{sat} = 19,50 \text{ kN/m}^3$   
 Typ zeminy : súdržná

#### Trieda G3, stredne uhlá

Objemová tiaž :  $\gamma = 19,00 \text{ kN/m}^3$   
 Uhol vnútorného trenia :  $\phi_{ef} = 32,50^\circ$   
 Súdržnosť zeminy :  $c_{ef} = 0,00 \text{ kPa}$   
 Poissonovo číslo :  $\nu = 0,25$   
 Modul pretvárnosti :  $E_{def} = 85,00 \text{ MPa}$   
 Obj. tiaž sat.zeminy :  $\gamma_{sat} = 20,00 \text{ kN/m}^3$   
 Typ zeminy : nesúdržná  
 Modul horiz. stlačiteľnosti :  $n_h = 4,50 \text{ MN/m}^3$

#### Rozloženy ilovec - F2, konzistencia pevná

Objemová tiaž :  $\gamma = 19,50 \text{ kN/m}^3$   
 Uhol vnútorného trenia :  $\phi_{ef} = 27,00^\circ$   
 Súdržnosť zeminy :  $c_{ef} = 14,00 \text{ kPa}$   
 Poissonovo číslo :  $\nu = 0,35$   
 Modul pretvárnosti :  $E_{def} = 11,00 \text{ MPa}$   
 Obj. tiaž sat.zeminy :  $\gamma_{sat} = 20,50 \text{ kN/m}^3$   
 Typ zeminy : súdržná

#### Zvetrany ilovec - R5-R4

Objemová tiaž :  $\gamma = 22,00 \text{ kN/m}^3$   
 Uhol vnútorného trenia :  $\phi_{ef} = 30,00^\circ$   
 Súdržnosť zeminy :  $c_{ef} = 40,00 \text{ kPa}$   
 Poissonovo číslo :  $\nu = 0,30$   
 Modul pretvárnosti :  $E_{def} = 80,00 \text{ MPa}$   
 Obj. tiaž sat.zeminy :  $\gamma_{sat} = 22,50 \text{ kN/m}^3$   
 Typ zeminy : súdržná

### Geometria

- Profil pilóty: kruhová
- Rozmery
  - Priemer  $d = 0,90 \text{ m}$
  - Dĺžka  $l = 12,00 \text{ m}$

### Umiestnenie

- Vysadenie  $h = 0,00 \text{ m}$
- Hĺbka upraveného terénu  $h_z = 0,00 \text{ m}$

### Technológia

- Pilóty s ťažbou zeminy z vrtu
- Typ piloty: vrtané pažené ocelovými výpažnicami
- Redukce odporu na patě  $= 0,50$
- Redukce odporu na plášti  $= 0,50$
- Modul reakcie podložia uvažovaný podľa ČSN 73 1004.

### Materiál konštrukcie

- Objemová tiaž  $\gamma = 25,00 \text{ kN/m}^3$
- Výpočet betónových konštrukcií vykonaný podľa normy EN 1992-1-1 (EC2).

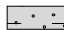

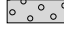
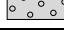
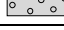
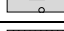

### Betón : C 25/30

- Valcová pevnosť v tlaku  $f_{ck} = 25,00 \text{ MPa}$
- Pevnosť v ťahu  $f_{ctm} = 2,60 \text{ MPa}$
- Modul pružnosti  $E_{cm} = 31000,00 \text{ MPa}$
- Modul pružnosti v šmyku  $G = 12917,00 \text{ MPa}$

### Oceľ : B500

- Medza sklzu  $f_{yk} = 500,00 \text{ MPa}$

### Geologický profil a priradenie zemín

Číslo	Vrstva [m]	Priradená zemina	Vzorka
1	1,70	Trieda S5	
2	0,30	Trieda S5	
3	2,70	Trieda G3, stredne uhlá	
4	0,80	Trieda G3, stredne uhlá	
5	1,00	Trieda G3, stredne uhlá	
6	0,20	Rozloženy ilovec - F2, konzistencia pevná	
7	-	Zvetrany ilovec - R5-R4	

### Zaťaženie

Číslo	Zaťaženie		Název	Typ	N [kN]	Mx [kNm]	My [kNm]	Hx [kN]	Hy [kN]
	nové	změna							
1	Ano		Nmax	Návrhové	2091,00	37,00	134,00	40,00	-2,00
2	Ano		Nmin	Návrhové	964,00	47,00	533,00	125,00	-13,00
3	Ano		V2max	Návrhové	1983,00	-71,00	583,00	135,00	12,00
4	Ano		V3max	Návrhové	1120,00	49,00	569,00	132,00	-14,00
5	Ano		M2max	Návrhové	1940,00	77,00	546,00	127,00	-12,00
6	Ano		M3max	Návrhové	1961,00	71,00	583,00	135,00	-12,00
7	Ano		Nmax - provozní	Užitné	1548,89	27,41	99,26	29,63	-1,48
8	Ano		Nmin - provozní	Užitné	714,07	34,81	394,81	92,59	-9,63
9	Ano		V2max - provozní	Užitné	1468,89	-52,59	431,85	100,00	8,89
10	Ano		V3max - provozní	Užitné	829,63	36,30	421,48	97,78	-10,37
11	Ano		M2max - provozní	Užitné	1437,04	57,04	404,44	94,07	-8,89
12	Ano		M3max - provozní	Užitné	1452,59	52,59	431,85	100,00	-8,89

### Hladina podzemnej vody

- Hladina podzemnej vody je v hĺbke 2,00 m od pôvodného terénu.

### Celkové nastavenie výpočtu

- Výpočet zvislej únosnosti : pružinová metóda /analytické riešenie
- Typ výpočtu : výpočet pre odvodené podmienky

### Nastavenie výpočtu fázy

- Návrhová situácia : trvalá
- Metodika posúdenia : bez redukcie vstupných dát

## 8.1.2 Zat'azovacia krivka

### 8.1.2.1 Analytické riešenie

#### Výpočet zatěžovací křivky piloty - vstupní data

Číslo vrstvy	$E_s$ [MPa]
1	15,28
2	15,28
3	20,11
4	27,77
5	31,03
6	34,85
7	71,73

- Limitní sedání piloty  $s_{lim} = 25,0$  mm

#### Výpočet zatěžovací křivky piloty - mezivýsledky

- Opravný součinitel tuhosti piloty  $C_k = 0,90$
- Opravný součinitel Poissonova čísla  $C_v = 0,79$
- Opravný součinitel tuhosti zeminy  $C_b = 1,19$
- Součinitel přenosu zat. nestl. piloty  $\beta_0 = 0,09$
- Součinitel přenosu zatížení do paty  $\beta = 0,08$

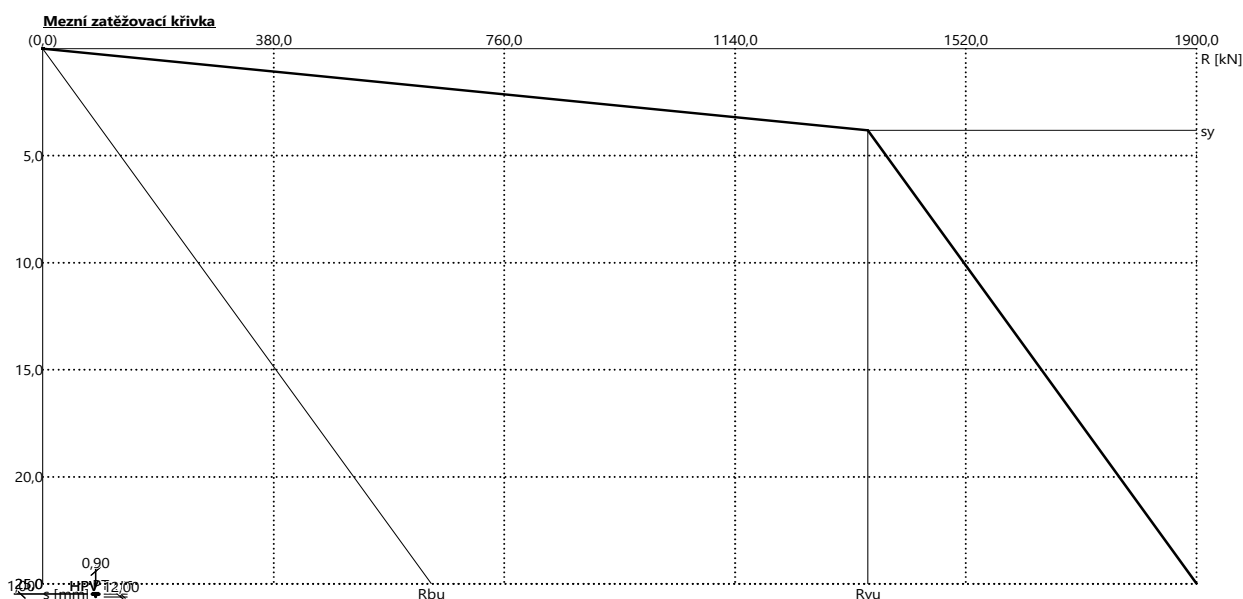
#### Příčinkové součinitele sedání :

- Základní - závislý na poměru  $l/d$   $l_0 = 0,12$
- Součinitel vlivu tuhosti piloty  $R_k = 1,17$
- Součinitel vlivu nestlačitelné vrstvy  $R_h = 1,00$
- Korekční součinitel Poissonova čísla  $R_v = 0,90$

#### Výpočet zatěžovací křivky piloty - výsledky

- Zatížení na mezi mobilizace pláště.tření  $R_{yu} = 1359,00$  kN
- Velikost sedání odpovídající síle  $R_{yu}$   $s_y = 3,8$  mm
- Celková únosnost  $R_c = 1900,05$  kN
- Maximální sednutí  $s_{lim} = 25,0$  mm

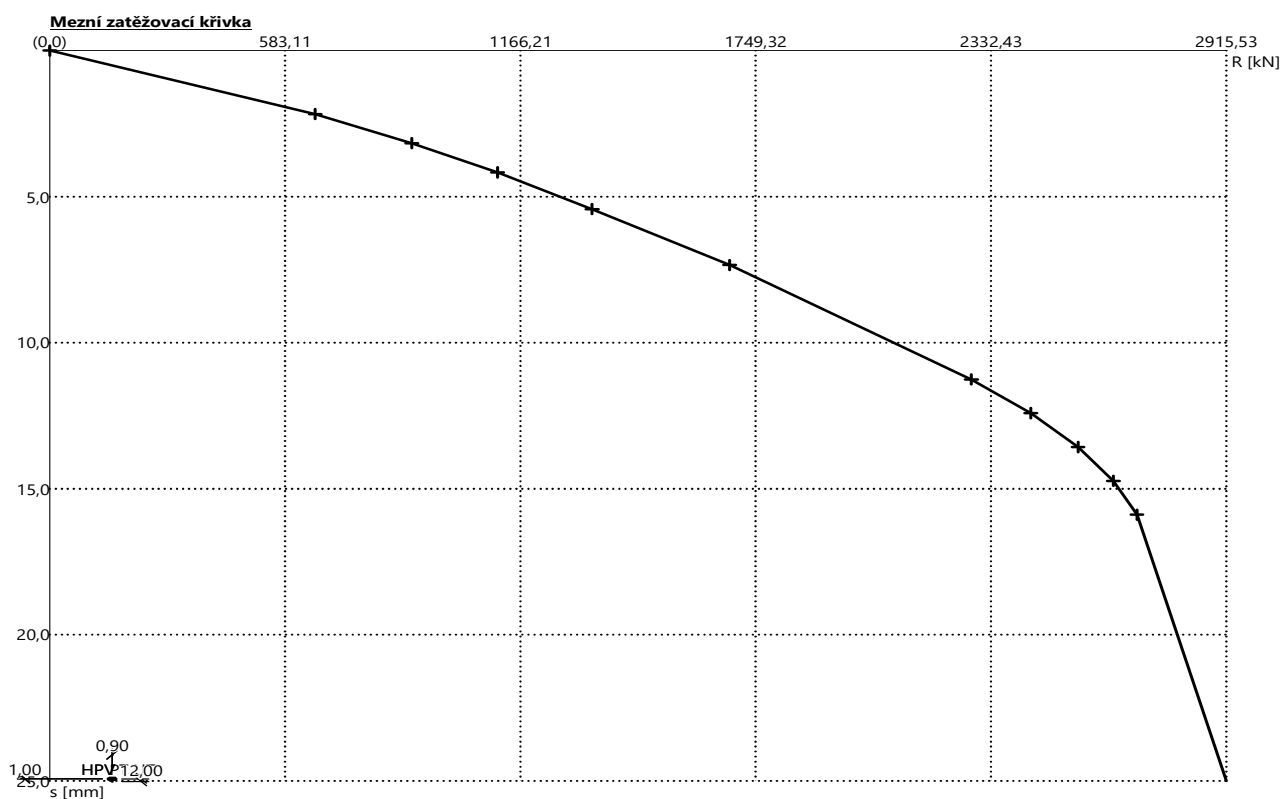
Pro maximální užité svislé zatížení  $V = 1548,89$  kN je sednutí piloty 11,3mm.



### 8.1.2.2 Pružinová metóda

Číslo	Zatížení [kN]	Sednutí [mm]
1	0,00	0,0
2	657,96	2,2
3	897,10	3,2
4	1109,77	4,2
5	1343,81	5,4
6	1684,46	7,3
7	2283,74	11,3
8	2430,78	12,4
9	2548,07	13,6
10	2635,72	14,7
11	2693,76	15,9
12	2915,53	25,0

- Pro zatížení  $Q = 1548,89$  kN je sednutí piloty 6,6 mm, hloubka deformační zóny pod patou je 0,88 m ( $0,977 \times D$ )



### 8.1.3 Zvislá únosnost

#### 8.1.3.1 Analytické riešenie

##### Posouzení svíslé únosnosti piloty podle teorie MS - mezivýsledky

Výpočet únosnosti v patě:

- Součinitel únosnosti  $N_c = 30,14$
- Součinitel únosnosti  $N_d = 18,40$
- Součinitel únosnosti  $N_b = 15,07$
- Součinitel únosnosti  $K_1 = 1,00$
- Výpočtová únosnost na patě piloty  $R_{bd} = 5490,34$  kPa
- Plocha příčného řezu piloty  $A_p = 6,36E-01$  m<sup>2</sup>

Únosnost na plášti piloty:

- Zkrácení účinné délky piloty  $L_p = 1,57$  m

Hĺbka [m]	Mocnosť [m]	$\Phi_d$ [°]	$C_{ud}$ [kPa]	$\gamma$ [kN/m <sup>3</sup> ]	$\gamma_{R2}$	$F_s$ [kPa]	$R_{si}$ [kN]
0,70	0,70	27,00	8,00	18,50	1,00	10,10	18,18
1,00	0,30	27,00	8,00	18,50	1,00	13,11	10,11
3,70	2,70	32,50	0,00	10,00	1,00	12,71	88,23
4,50	0,80	32,50	0,00	10,00	1,00	19,67	40,44
5,50	1,00	32,50	0,00	10,00	1,00	23,24	59,74
5,70	0,20	27,00	14,00	10,50	1,00	34,97	17,98
10,43	4,73	30,00	40,00	12,50	1,00	74,64	907,81

### Posouzení svislé únosnosti piloty podle teorie MS - výsledky

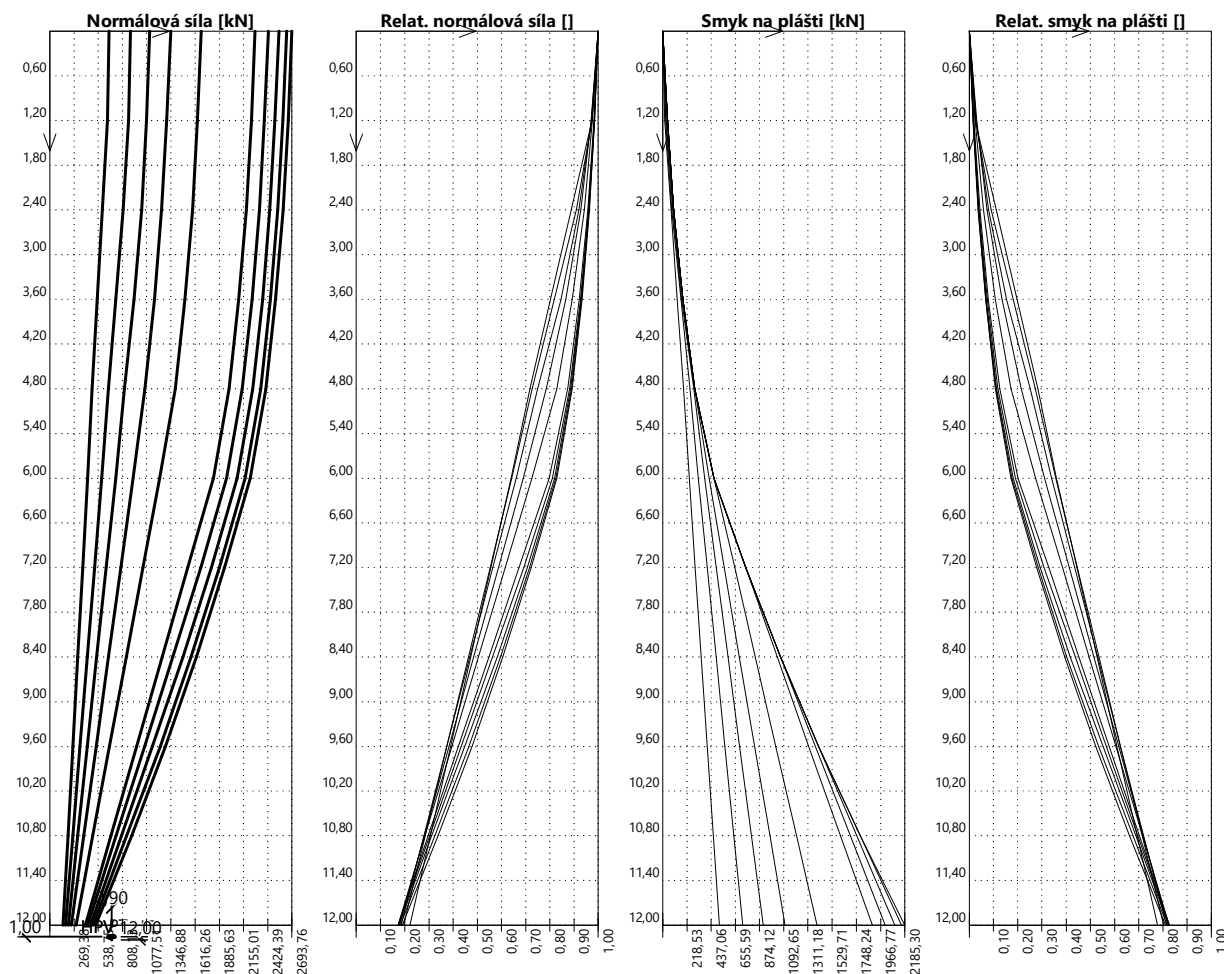
- Výpočet proveden s automatickým výběrem nejnepriznivějších zatěžovacích stavů.

#### Posouzení tlačené piloty:

- Nejnepriznivější zatěžovací stav číslo 1. (Nmax)
- Únosnost piloty na plášti  $R_s = 1142,48$  kN
- Únosnost piloty v patě  $R_b = 3175,28$  kN
- Únosnost piloty  $R_c = 4317,76$  kN
- Extrémní svislá síla  $V_d = 2091,00$  kN

$R_c = 4317,76$  kN >  $2091,00$  kN =  $V_d$   
 Svislá únosnost piloty **VYHOVUJE**

#### 8.1.3.2 Pružinová metoda



## 8.1.4 Vodorovná únosnosť

### Vstupní data pro výpočet vodorovné únosnosti piloty

- Výpočet proveden s automatickým výběrem nejnepríznivějších zatěžovacích stavů.
- Vodorovná únosnost posouzena ve směru maximálního účinku zatížení.

### Průběhy vnitřních sil a deformace piloty

Průběh deformací a vnitřních sil po pilotě - maximální hodnoty:

Vzdál. [m]	Modul k [MN/m <sup>3</sup> ]	Deformace [mm]	Pootoč. [mRad]	Napětí [kPa]	Pos.síla [kN]	Moment [kNm]
0.00	0.00	0.33	0.21	1.64	14.00	77.00
0.60	8.00	0.13	0.17	3.18	13.62	69.56
1.20	11.00	0.14	0.13	7.71	13.46	61.66
1.80	14.00	0.15	0.10	13.44	13.81	53.46
2.40	17.00	0.15	0.07	18.65	13.75	45.18
3.00	20.00	0.14	0.07	22.76	13.29	37.04
3.60	23.00	0.12	0.11	25.43	12.46	29.30
4.20	26.00	0.11	0.18	26.53	11.33	22.16
4.80	29.00	0.09	0.22	26.15	10.01	15.75
5.40	32.00	0.08	0.23	24.50	8.58	10.40
6.00	59.26	0.07	0.23	37.01	7.01	16.40
6.60	59.26	0.06	0.22	28.95	4.80	32.72
7.20	59.26	0.05	0.20	21.56	2.95	40.71
7.80	59.26	0.04	0.17	15.03	3.51	41.78
8.40	59.26	0.03	0.15	9.38	9.33	38.02
9.00	59.26	0.02	0.13	4.54	13.00	31.20
9.60	59.26	0.01	0.11	0.45	14.29	22.90
10.20	59.26	0.06	0.10	0.52	13.46	14.48
10.80	59.26	0.11	0.09	0.78	10.73	7.13
11.40	59.26	0.17	0.09	1.03	6.23	1.95
12.00	59.26	0.22	0.09	1.35	0.00	0.00

Průběh deformací a vnitřních sil po pilotě - minimální hodnoty:

Vzdál. [m]	Modul k [MN/m <sup>3</sup> ]	Deformace [mm]	Pootoč. [mRad]	Napětí [kPa]	Pos.síla [kN]	Moment [kNm]
0.00	0.00	-0.32	-1.17	-1.72	-135.53	-587.31
0.60	8.00	-0.40	-0.84	-1.04	-135.49	-505.93
1.20	11.00	-0.70	-0.56	-1.55	-132.89	-425.30
1.80	14.00	-0.96	-0.33	-2.06	-127.21	-347.12
2.40	17.00	-1.10	-0.15	-2.47	-118.54	-273.26
3.00	20.00	-1.14	-0.03	-2.72	-107.32	-205.39
3.60	23.00	-1.11	-0.03	-2.82	-94.25	-144.84
4.20	26.00	-1.02	-0.03	-2.76	-80.17	-92.49
4.80	29.00	-0.90	-0.03	-2.58	-65.88	-48.69
5.40	32.00	-0.77	-0.03	-2.67	-52.16	-13.32
6.00	59.26	-0.62	-0.03	-4.41	-38.53	-4.67
6.60	59.26	-0.49	-0.02	-3.76	-20.74	-5.56
7.20	59.26	-0.36	-0.02	-3.07	-7.14	-5.66
7.80	59.26	-0.25	-0.02	-2.39	-1.08	-5.22
8.40	59.26	-0.16	-0.02	-1.74	-1.51	-4.42
9.00	59.26	-0.08	-0.02	-1.14	-1.69	-3.45
9.60	59.26	-0.01	-0.01	-0.77	-1.66	-2.44
10.20	59.26	-0.01	-0.01	-3.36	-1.46	-1.49
10.80	59.26	-0.01	-0.01	-6.72	-1.11	-0.72
11.40	59.26	-0.02	-0.01	-9.94	-0.62	-0.19
12.00	59.26	-0.02	-0.01	-13.12	-0.00	-0.00



### Maximální vnitřní síly a deformace:

- Max. deformace piloty = 1,1 mm
- Max. posouvající síla = 135,77 kN
- Maximální moment = 587,31 kNm

### Posouzení na tlak a ohyb

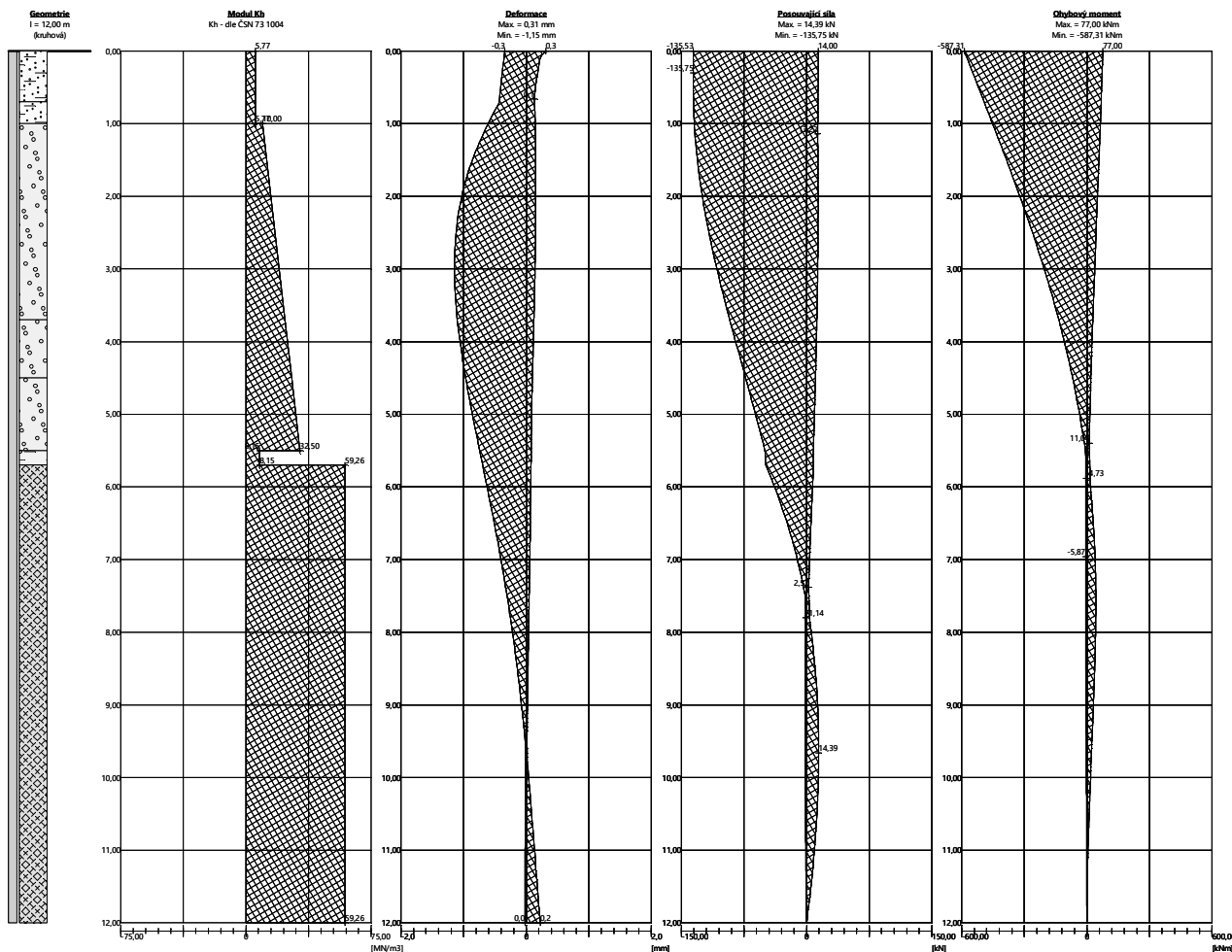
- Průřez: kruhová,  $d = 0,90$  m
- Vyztužení - 14 ks profil 18,0 mm; krytí 120,0 mm
- Stupeň vyztužení  $\rho = 0,560 \% > 0,393 \% = \rho_{\min}$
- Zatížení :  $N_{Ed} = 1120,00$  kN (tlak) ;  $M_{Ed} = 571,11$  kNm
- Únosnost :  $N_{Rd} = 1839,30$  kN;  $M_{Rd} = 937,89$  kNm

**Navržená výztuž piloty VYHOVUJE**

### Posouzení na smyk

- Smyková výztuž - 2 ks profil 10,0 mm; vzdálenost 100,0 mm;  $A_{sw} = 1570,8$  mm<sup>2</sup>
- Posouvající síla na mezi únosnosti:  $V_{Rd} = 1106,39$  kN  $> 135,77$  kN =  $V_{Ed}$

**Průřez VYHOVUJE.**





## 9 Dynamická analýza

Vzhľadom k štihlosti lávky bolo nutné analyzovať jej kmitanie spôsobené pohybom chodcov, posúdiť kritéria pohody chodcov a v prípade potreby navrhnúť obmedzovač kmitania.

Dynamická analýza bola vytvorená vo výpočtových programoch STRAP a SCIA pre overenie výsledkov vzhľadom na rozsiahlosť a zložitosť NK. Pri dynamickom výpočte bol základový rošt a pilóty medziľahlých podpier odstránené a nahradené tuhým podopretím, pretože to lepšie vystihuje chovanie pilótového založenia konštrukcie pri krátkodobom dynamickom zaťažení.

### 9.1 Základné vlastné frekvencie

Pre získanie vlastných tvarov boli použité 2 modelové situácie. 1.ZS bol riešený od vlastnej tiaže a 2.ZS bol riešený vlastnou tiažou a prídavným zaťažením od chodcov hodnotou  $70\text{kg/m}^2$ . Samotný eurokód nedefinuje zaťažovacie stavy, ktoré by mali byť overené v rámci odozvy konštrukcie. Dané hodnoty je možné prebrať len zo skript odbornej literatúry, v ktorých je mnoho variant. Predovšetkým sa uvažuje pri získaní vlastných tvarov s vlastnou tiažou a pohybom chodcov po moste s uvažovaním 1osoby na  $\text{m}^2$ . Pri overení pohodlia resp. komfortu pohybu človeka sa vychádza z výpočtu ekvivalentného počtu osôb vyskytujúcich sa na moste.

#### 9.1.1 Vlastné tvary

##### 9.1.1.1 Výpočtový program STRAP

##### Zaťažovací stav 1 : Vlastná tiaž

MODAL DATA : Eigenvalues (Units: kN, meter)				
Mode No.	Eigenvalue ( $\Omega^2$ )	Natural Frequency	Period	Max translation Node-DOF
1	17.715	0.6699	1.49285	108-2
2	58.429	1.2166	0.82199	669-2
3	62.241	1.2556	0.79642	458-3
4	110.785	1.6752	0.59695	1327-2
5	153.790	1.9737	0.50666	119-2
6	155.761	1.9863	0.50344	71-3
7	284.603	2.6850	0.37244	14-2
8	347.945	2.9688	0.33684	440-2
9	381.065	3.1068	0.32187	390-3
10	452.909	3.3871	0.29524	22649-3
11	522.661	3.6386	0.27483	29192-3
12	532.440	3.6724	0.27230	34-3
13	676.458	4.1394	0.24158	21-2
14	742.948	4.3381	0.23052	1105-3
15	817.102	4.5494	0.21981	77-3
16	1173.584	5.4523	0.18341	22944-3
17	1177.729	5.4619	0.18309	22930-3
18	1228.054	5.5774	0.17930	78-3
19	1541.411	6.2486	0.16004	108-2
20	1588.993	6.3443	0.15762	1104-3
21	1781.526	6.7176	0.14886	370-3
22	1990.120	7.1000	0.14084	14-2
23	2304.650	7.6405	0.13088	84-3
24	2371.281	7.7502	0.12903	29442-3
25	2601.675	8.1180	0.12318	393-3
26	2765.611	8.3698	0.11948	132-3
27	3030.535	8.7615	0.11414	17-2
28	3736.502	9.7287	0.10279	31-3
29	3787.732	9.7951	0.10209	28660-1
30	3787.765	9.7952	0.10209	1747-1
31	3798.454	9.8090	0.10195	370-3
32	4224.480	10.3444	0.09667	667-1
33	4428.342	10.5911	0.09442	118-2
34	4792.796	11.0183	0.09076	1326-1
35	5131.894	11.4014	0.08771	22716-1
36	5258.141	11.5408	0.08665	14-2
37	5321.870	11.6105	0.08613	669-1
38	5359.930	11.6520	0.08582	373-3
39	5598.242	11.9082	0.08398	106-2
40	5910.606	12.2359	0.08173	1327-1
41	6680.341	13.0083	0.07687	370-3
42	6770.780	13.0960	0.07636	83-3
43	6834.646	13.1576	0.07600	22649-3
44	6934.324	13.2532	0.07545	669-1
45	7279.180	13.5788	0.07364	129-3
46	7589.686	13.8654	0.07212	29207-3
47	8028.763	14.2608	0.07012	13-2
48	8326.631	14.5229	0.06886	368-3
49	8762.275	14.8980	0.06712	29220-3
50	9304.252	15.3519	0.06514	108-2

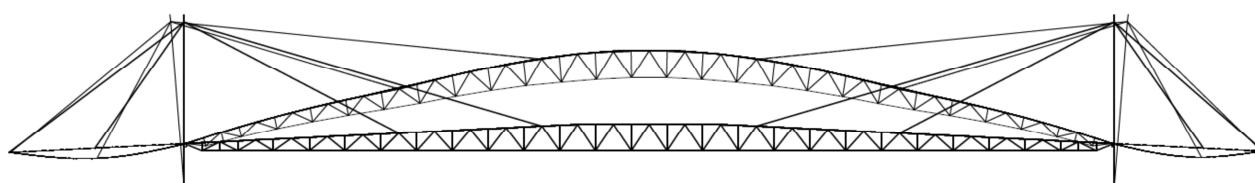
MODAL RESULTS							
Mode	T	Wn/Wtot	Fn (kN)	Qn (m)	Vn (m/s)	An (m/s**2)	FnWn (Sd)
1	1.4928	0.000	0.00	0.0000	0.0000	0.0000	0.0523
2	0.8220	0.000	0.00	0.0000	0.0000	0.0000	0.0781
3	0.7964	0.000	0.00	0.0001	0.0002	0.0005	0.0781
4	0.5970	0.000	0.00	0.0000	0.0000	0.0000	0.0781
5	0.5067	0.000	0.01	0.0000	0.0002	0.0007	0.0781
6	0.5034	0.015	6.07	0.0014	0.0056	0.0223	0.0781
7	0.3724	0.000	0.00	0.0000	0.0000	0.0000	0.0781
8	0.3368	0.000	0.00	0.0000	0.0000	0.0000	0.0781
9	0.3219	0.000	0.00	0.0000	0.0001	0.0006	0.0781
10	0.2952	0.005	2.05	0.0003	0.0020	0.0133	0.0781
11	0.2748	0.003	1.15	0.0002	0.0016	0.0120	0.0781
12	0.2723	0.000	0.00	0.0000	0.0000	0.0002	0.0781
13	0.2416	0.000	0.00	0.0000	0.0000	0.0000	0.0781
14	0.2305	0.027	11.05	0.0005	0.0042	0.0365	0.0781
15	0.2198	0.000	0.00	0.0000	0.0000	-0.0001	0.0781
16	0.1834	0.304	125.99	-0.0008	-0.0086	-0.0942	0.0781
17	0.1831	0.475	196.83	0.0008	0.0091	0.0995	0.0781
18	0.1793	0.000	0.00	0.0000	0.0000	0.0000	0.0781
19	0.1600	0.000	0.00	0.0000	0.0000	-0.0001	0.0781
20	0.1576	0.006	2.68	0.0001	0.0013	0.0160	0.0781
21	0.1489	0.008	3.20	0.0001	0.0011	0.0147	0.0781
22	0.1408	0.000	0.00	0.0000	0.0000	0.0000	0.0781
23	0.1309	0.000	0.00	0.0000	0.0000	-0.0002	0.0781
24	0.1290	0.000	0.05	0.0000	-0.0002	-0.0028	0.0781
25	0.1232	0.002	0.74	0.0000	-0.0006	-0.0104	0.0782
26	0.1195	0.000	0.00	0.0000	0.0000	0.0000	0.0784
27	0.1141	0.000	0.00	0.0000	0.0000	0.0001	0.0786
28	0.1028	0.000	0.00	0.0000	0.0000	0.0001	0.0791
29	0.1021	0.000	0.04	0.0000	-0.0002	-0.0045	0.0791
30	0.1021	0.072	30.39	0.0003	0.0065	0.1279	0.0791
Total sum		0.917	380.25				
CQC results			236.06	0.0019	0.0161	0.1946	

**Zaťažovací stav 2 : Vlastná tiaž + chodci (0.7kN/m<sup>2</sup>)**

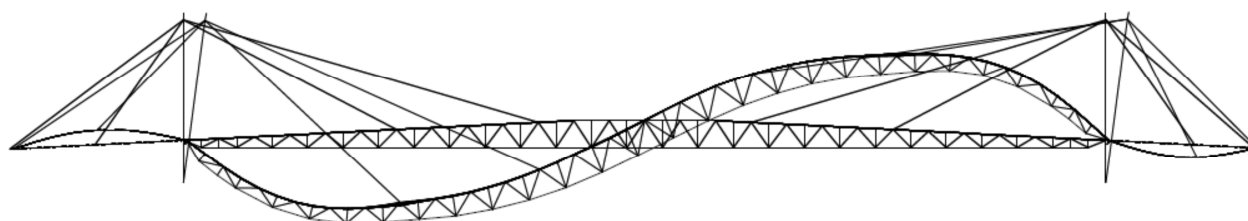
MODAL DATA : Eigenvalues (Units: kN, meter)				
Mode No.	Eigenvalue ( Omega**2)	Natural Frequency	Period	Max translation Node-DOF
1	14.069	0.5970	1.67513	55-2
2	50.989	1.1365	0.87992	327-3
3	56.305	1.1942	0.83735	667-2
4	99.737	1.5895	0.62915	1327-2
5	128.627	1.8050	0.55401	386-3
6	136.205	1.8575	0.53837	669-2
7	262.725	2.5797	0.38764	14-2
8	287.256	2.6975	0.37072	14-2
9	308.219	2.7941	0.35789	390-3
10	440.661	3.3410	0.29931	87-3
11	445.454	3.3591	0.29770	22650-3
12	514.097	3.6086	0.27711	29193-3
13	591.546	3.8709	0.25834	21-2
14	610.790	3.9334	0.25423	1105-3
15	672.732	4.1280	0.24225	77-3
16	1042.274	5.1382	0.19462	18-2
17	1118.287	5.3223	0.18789	23160-1
18	1175.127	5.4559	0.18329	22943-3
19	1253.069	5.6339	0.17750	108-2
20	1301.345	5.7414	0.17417	370-3
21	1676.249	6.5161	0.15347	1327-1
22	1752.065	6.6619	0.15011	14-2
23	1866.713	6.8764	0.14543	84-3
24	2079.618	7.2579	0.13778	1103-3
25	2264.734	7.5741	0.13203	132-3
26	2375.073	7.7564	0.12893	29442-3
27	2697.074	8.2655	0.12099	17-2
28	2970.888	8.6749	0.11528	370-3
29	3022.988	8.7506	0.11428	84-3
30	3561.606	9.4982	0.10528	132-3
31	3787.762	9.7952	0.10209	28660-1
32	3787.764	9.7952	0.10209	1747-1
33	4109.614	10.2028	0.09801	373-3
34	4204.489	10.3199	0.09690	667-1
35	4357.468	10.5060	0.09518	106-2
36	4640.603	10.8419	0.09223	15-2
37	5016.442	11.2724	0.08871	1326-1
38	5078.710	11.3422	0.08817	370-3
39	5148.243	11.4196	0.08757	669-1
40	5296.179	11.5825	0.08634	667-1

41	5523.993	11.8290	0.08454	87-3
42	5795.441	12.1161	0.08253	1327-1
43	5957.135	12.2840	0.08141	133-3
44	6201.491	12.5334	0.07979	372-3
45	6740.238	13.0665	0.07653	22649-3
46	6894.269	13.2149	0.07567	669-1
47	7220.935	13.5244	0.07394	16-2
48	7276.870	13.5766	0.07366	370-3
49	7483.470	13.7680	0.07263	55-2
50	7635.572	13.9072	0.07191	29207-3

MODAL RESULTS							
Mode	T	Wn/Wtot	Fn (kN)	Qn (m)	Vn (m/s)	An (m/s**2)	Fn/Wn (Sd)
1	1.6751	0.000	0.00	0.0000	0.0000	0.0000	0.0466
2	0.8799	0.000	0.00	0.0001	0.0002	0.0004	0.0781
3	0.8373	0.000	0.00	0.0000	0.0000	0.0000	0.0781
4	0.6291	0.000	0.00	0.0000	0.0000	0.0000	0.0781
5	0.5540	0.012	5.45	0.0015	0.0053	0.0193	0.0781
6	0.5384	0.000	0.00	0.0000	0.0000	-0.0001	0.0781
7	0.3876	0.000	0.00	0.0000	0.0000	0.0000	0.0781
8	0.3707	0.000	0.00	0.0000	0.0000	0.0000	0.0781
9	0.3579	0.000	0.01	0.0000	-0.0002	-0.0010	0.0781
10	0.2993	0.000	0.00	0.0000	0.0000	-0.0003	0.0781
11	0.2977	0.003	1.48	0.0002	0.0017	0.0113	0.0781
12	0.2771	0.001	0.33	-0.0001	-0.0009	-0.0063	0.0781
13	0.2583	0.000	0.00	0.0000	0.0000	0.0000	0.0781
14	0.2542	0.019	8.56	-0.0004	-0.0035	-0.0272	0.0781
15	0.2422	0.000	0.00	0.0000	0.0000	-0.0001	0.0781
16	0.1946	0.000	0.00	0.0000	0.0000	0.0002	0.0781
17	0.1879	0.795	351.42	-0.0008	-0.0085	-0.0909	0.0781
18	0.1833	0.001	0.24	0.0000	0.0005	0.0054	0.0781
19	0.1775	0.000	0.00	0.0000	0.0000	0.0000	0.0781
20	0.1742	0.003	1.46	0.0001	0.0011	0.0132	0.0781
21	0.1535	0.010	4.63	-0.0001	-0.0009	-0.0113	0.0781
22	0.1501	0.000	0.00	0.0000	0.0000	0.0002	0.0781
23	0.1454	0.000	0.00	0.0000	0.0000	-0.0003	0.0781
24	0.1378	0.003	1.40	-0.0001	-0.0009	-0.0129	0.0781
25	0.1320	0.000	0.00	0.0000	0.0000	0.0000	0.0781
26	0.1289	0.000	0.00	0.0000	0.0000	-0.0002	0.0781
27	0.1210	0.000	0.00	0.0000	0.0000	-0.0001	0.0783
28	0.1153	0.000	0.00	0.0000	0.0000	-0.0002	0.0785
29	0.1143	0.000	0.00	0.0000	0.0000	0.0001	0.0786
30	0.1053	0.000	0.00	0.0000	0.0000	0.0000	0.0789
31	0.1021	0.061	27.24	-0.0004	-0.0076	-0.1486	0.0791
Total sum CQC results		0.909	402.23 352.66	0.0018	0.0133	0.1793	

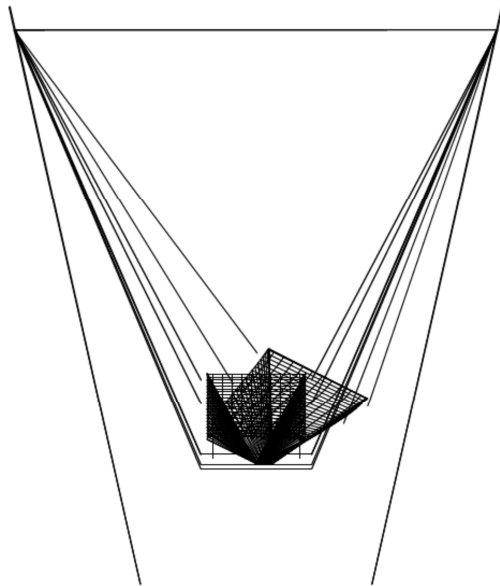


Obr. Tvar 2 - 1. zvislá vl. frekvencia

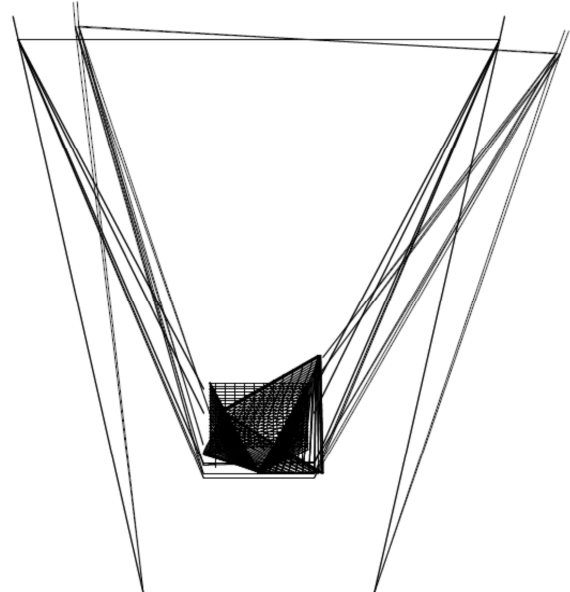


Obr. Tvar 5 - 2. Zvislá vl. frekvencia





Obr. Tvar 1 - 1. Vodorovná torzná vl. Frekvencia



Obr. Tvar 3 - 2. Vodorovná torzná vl. frekvencia

### 9.1.1.2 Výpočtový program SCIA

#### 1.vlastný tvar kmitania - smer Z

Hodnoty:  $U_{total}$

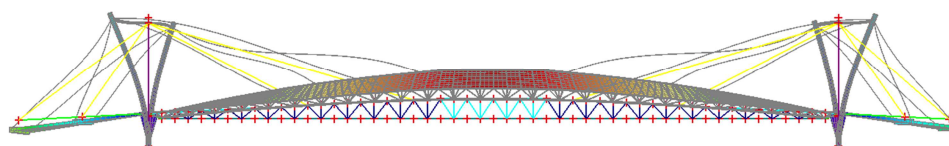
Modálne tvary sú normalizované tak, že zovšeobecnená modálna hmota každého tvaru sa rovná 1kg.

Kombinácia hmôt: CM1 - Vlastná tiaž/1 - 0,56

Výber: Všetko

Poloha: V uzloch, priem.. Systém:

Globálny



#### 2.vlastný tvar kmitania - smer Z

Hodnoty:  $U_{total}$

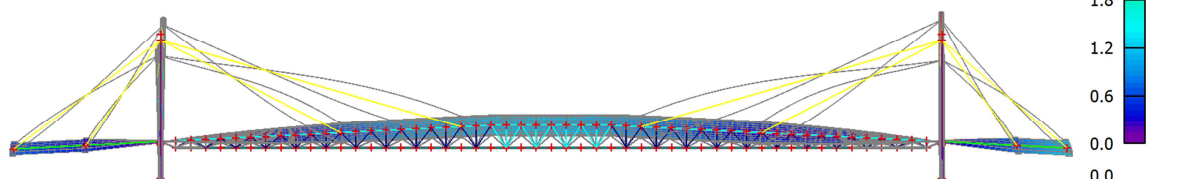
Modálne tvary sú normalizované tak, že zovšeobecnená modálna hmota každého tvaru sa rovná 1kg.

Kombinácia hmôt: CM1 - Vlastná tiaž/4 - 1,31

Výber: Všetko

Poloha: V uzloch, priem.. Systém:

Globálny



### 3.vlastný tvar kmitania - smer Z

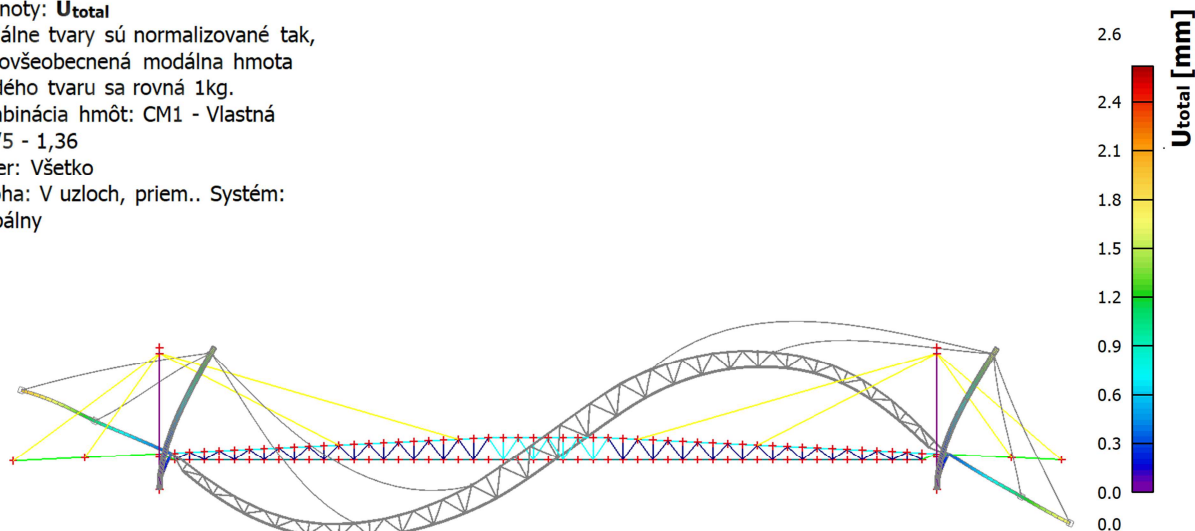
Hodnoty:  $U_{total}$

Modálne tvary sú normalizované tak,  
 že zovšeobecnená modálna hmota  
 každého tvaru sa rovná 1kg.

Kombinácia hmôt: CM1 - Vlastná  
 tiaž/5 - 1,36

Výber: Všetko

Poloha: V uzloch, priem.. Systém:  
 Globálny



### 4.vlastný tvar kmitania - smer Z

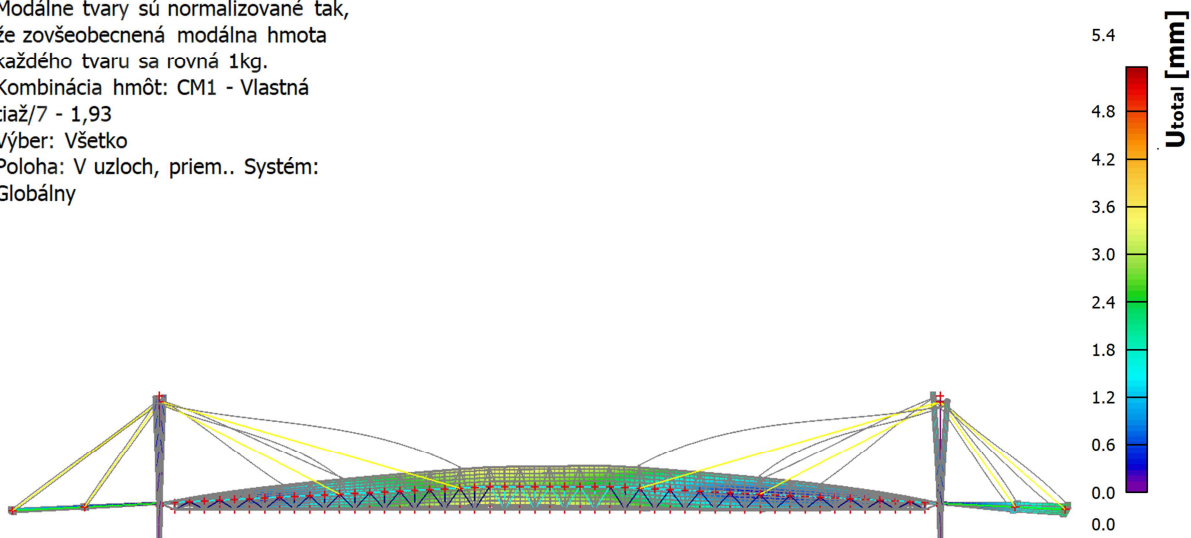
Hodnoty:  $U_{total}$

Modálne tvary sú normalizované tak,  
 že zovšeobecnená modálna hmota  
 každého tvaru sa rovná 1kg.

Kombinácia hmôt: CM1 - Vlastná  
 tiaž/7 - 1,93

Výber: Všetko

Poloha: V uzloch, priem.. Systém:  
 Globálny



### 5.vlastný tvar kmitania - smer Z

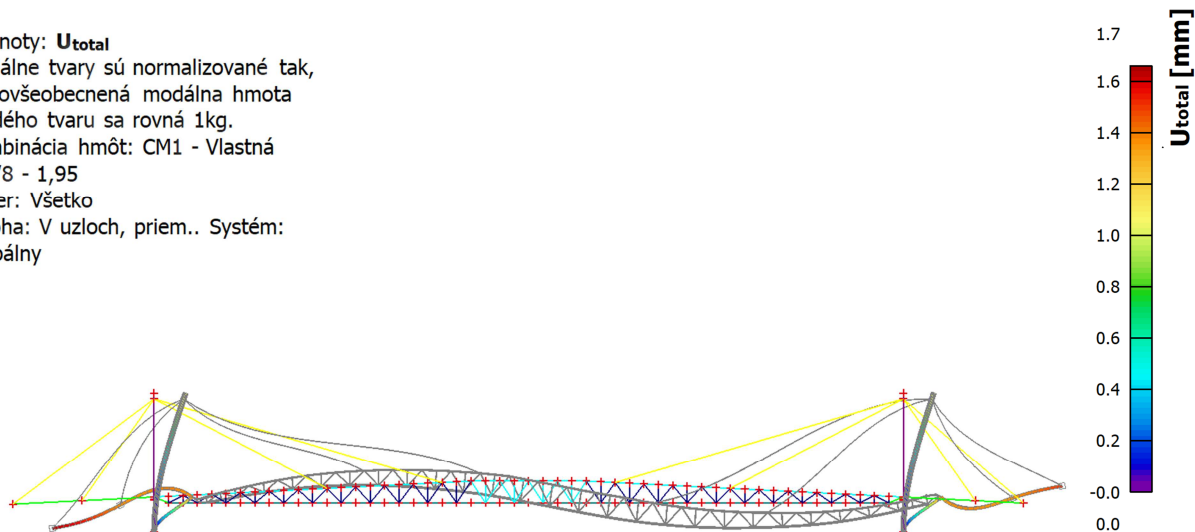
Hodnoty:  $U_{total}$

Modálne tvary sú normalizované tak,  
 že zovšeobecnená modálna hmota  
 každého tvaru sa rovná 1kg.

Kombinácia hmôt: CM1 - Vlastná  
 tiaž/8 - 1,95

Výber: Všetko

Poloha: V uzloch, priem.. Systém:  
 Globálny



### 1.vlastný tvar kmitania - smer Y

Hodnoty:  $U_{total}$

Modálne tvary sú normalizované tak,  
že zovšeobecnená modálna hmota  
každého tvaru sa rovná 1kg.

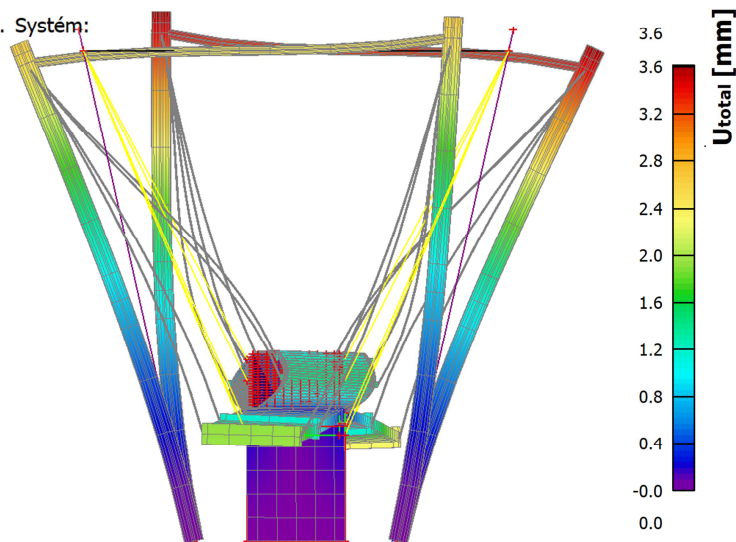
Kombinácia hmôt: CM1 - Vlastná

tiaž/3 - 1,13

Výber: Všetko

Poloha: V uzloch, priem.. Systém:

Globálny



### 2.vlastný tvar kmitania - smer Y

Hodnoty:  $U_{total}$

Modálne tvary sú normalizované tak,  
že zovšeobecnená modálna hmota  
každého tvaru sa rovná 1kg.

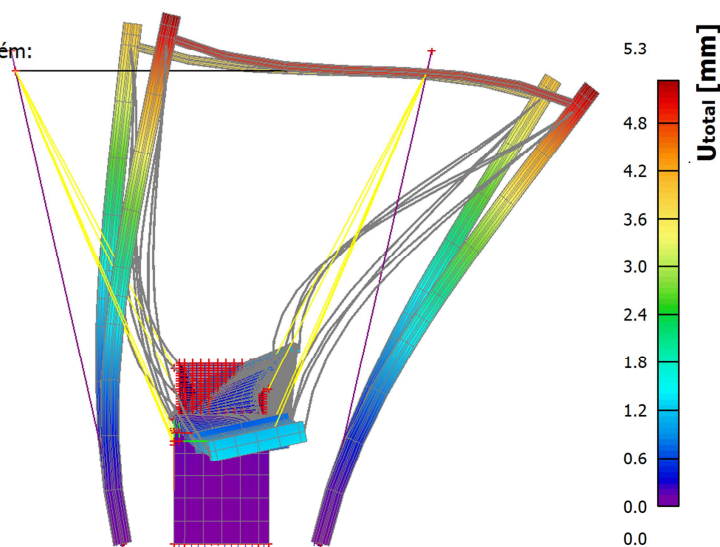
Kombinácia hmôt: CM1 - Vlastná

tiaž/4 - 1,31

Výber: Všetko

Poloha: V uzloch, priem.. Systém:

Globálny



### 3.vlastný tvar kmitania - smer Y

Hodnoty:  $U_{total}$

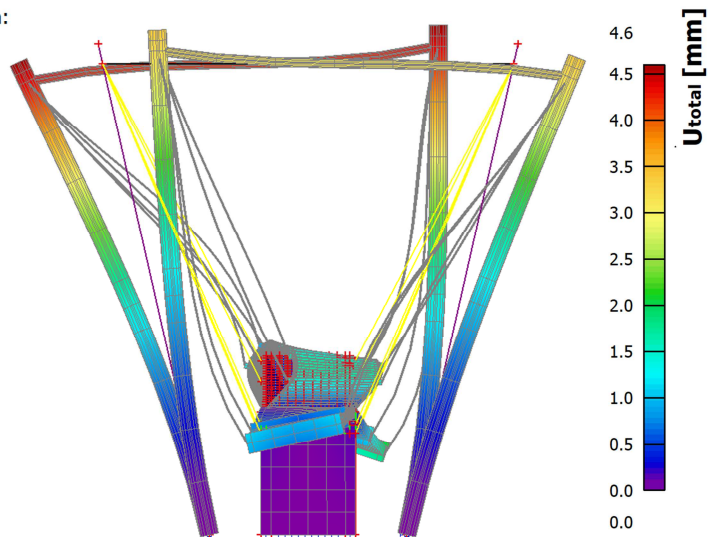
Modálne tvary sú normalizované tak,  
 že zovšeobecnená modálna hmota  
 každého tvaru sa rovná 1kg.

Kombinácia hmôt: CM1 - Vlastná  
 tiaž/6 - 1,72

Výber: Všetko

Poloha: V uzloch, priem.. Systém:

Globálny



### 4.vlastný tvar kmitania - smer Y

Hodnoty:  $U_{total}$

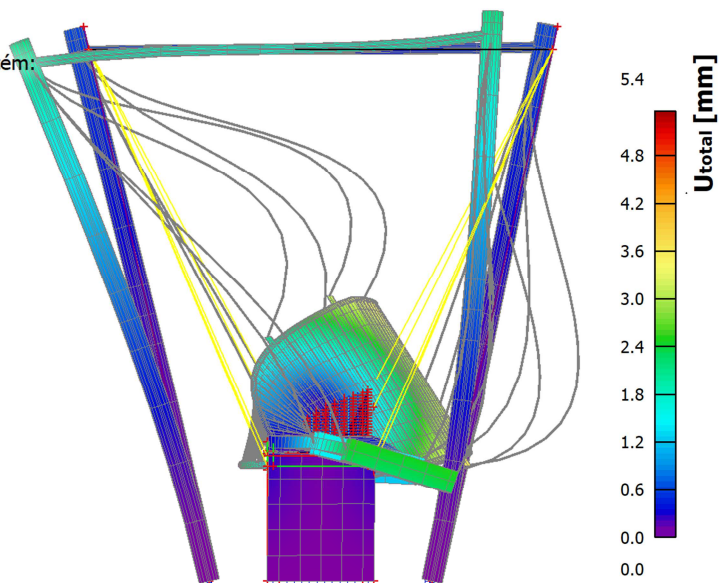
Modálne tvary sú normalizované tak,  
 že zovšeobecnená modálna hmota  
 každého tvaru sa rovná 1kg.

Kombinácia hmôt: CM1 - Vlastná  
 tiaž/7 - 1,93

Výber: Všetko

Poloha: V uzloch, priem.. Systém:

Globálny





### 5.vlastný tvar kmitania - smer Y

Hodnoty:  $U_{total}$

Modálne tvary sú normalizované tak,  
 že zovšeobecnená modálna hmota  
 každého tvaru sa rovná 1kg.

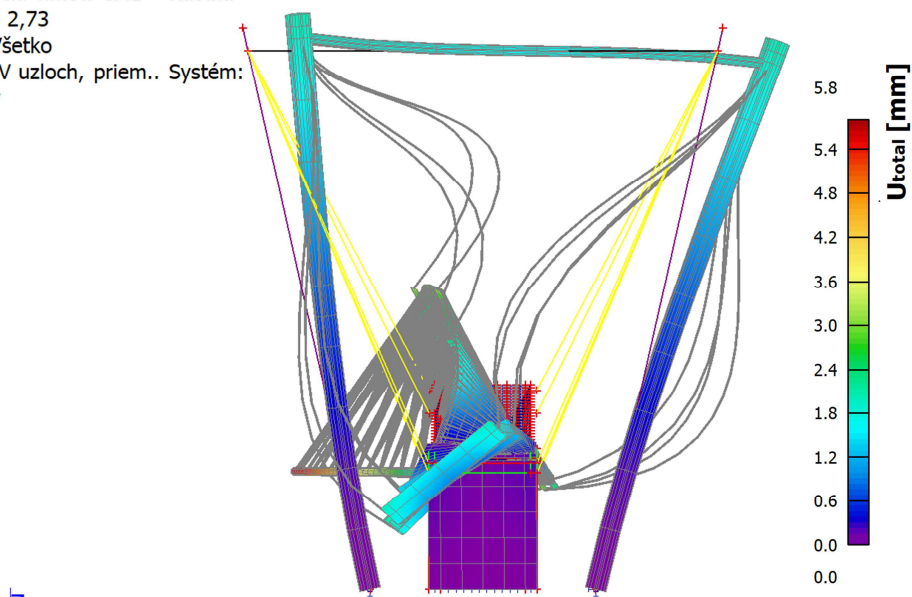
Kombinácia hmôt: CM1 - Vlastná

tiaž/10 - 2,73

Výber: Všetko

Poloha: V uzloch, priem.. Systém:

Globálny



### Hodnoty vlastných frekvencií :

N	f [Hz]	$\omega$ [1/s]	$\omega^2$ [1/s <sup>2</sup> ]	T [s]
<b>Kombinácia hmôt : CM1 - Vlastná tiaž</b>				
1	0,56	3,54	12,52	1,78
2	0,56	3,55	12,59	1,77
3	1,13	7,10	50,40	0,88
4	1,31	8,24	67,87	0,76
5	1,36	8,57	73,51	0,73
6	1,72	10,78	116,19	0,58
7	1,93	12,12	146,90	0,52
8	1,95	12,26	150,41	0,51
9	2,67	16,77	281,25	0,37
10	2,73	17,16	294,34	0,37
11	3,12	19,61	384,69	0,32
12	3,29	20,65	426,34	0,30
13	3,52	22,10	488,46	0,28
14	4,28	26,90	723,45	0,23
15	4,46	28,01	784,50	0,22
16	4,69	29,48	868,90	0,21
17	4,90	30,78	947,50	0,20
18	5,74	36,08	1301,41	0,17
19	5,89	37,02	1370,50	0,17
20	6,52	40,99	1680,22	0,15
21	6,55	41,13	1691,79	0,15
22	7,08	44,46	1976,71	0,14
23	7,20	45,21	2043,68	0,14
24	8,55	53,71	2884,86	0,12
25	8,68	54,53	2973,93	0,12
26	8,96	56,27	3165,76	0,11
27	9,44	59,29	3515,34	0,11
28	10,36	65,10	4237,45	0,10
29	10,74	67,50	4556,83	0,09
30	11,76	73,92	5463,98	0,08
<b>Kombinácia hmôt : CM2 - Vlastná tiaž + chodci</b>				
1	0,52	3,24	10,48	1,94
2	0,52	3,26	10,60	1,93
3	1,11	6,99	48,93	0,90
4	1,29	8,09	65,38	0,78
5	1,30	8,17	66,81	0,77
6	1,68	10,57	111,75	0,59

N	f [Hz]	$\omega$ [1/s]	$\omega^2$ [1/s <sup>2</sup> ]	T [s]
7	1,82	11,46	131,33	0,55
8	1,88	11,80	139,28	0,53
9	2,54	15,98	255,29	0,39
10	2,65	16,67	277,79	0,38
11	2,95	18,54	343,63	0,34
12	3,02	18,96	359,62	0,33
13	3,16	19,83	393,43	0,32
14	4,26	26,78	717,04	0,23
15	4,26	26,78	717,14	0,23
16	4,32	27,15	736,89	0,23
17	4,73	29,72	883,23	0,21
18	5,17	32,49	1055,74	0,19
19	5,76	36,20	1310,69	0,17
20	6,20	38,97	1518,32	0,16
21	6,45	40,55	1644,22	0,15
22	6,53	41,06	1685,52	0,15
23	7,07	44,41	1972,44	0,14
24	7,81	49,06	2407,22	0,13
25	7,89	49,58	2457,87	0,13
26	7,95	49,97	2497,29	0,13
27	9,31	58,49	3420,81	0,11
28	9,45	59,35	3522,08	0,11
29	9,53	59,91	3588,80	0,10
30	10,84	68,11	4639,60	0,09
<b>Kombinácia hmôt : CM3 - Chodci</b>				
1	0,52	3,24	10,48	1,94
2	0,52	3,26	10,60	1,93
3	1,11	6,99	48,93	0,90
4	1,29	8,09	65,38	0,78
5	1,30	8,17	66,81	0,77
6	1,68	10,57	111,75	0,59
7	1,82	11,46	131,33	0,55
8	1,88	11,80	139,28	0,53
9	2,54	15,98	255,29	0,39
10	2,65	16,67	277,79	0,38
11	2,95	18,54	343,63	0,34
12	3,02	18,96	359,62	0,33
13	3,16	19,83	393,43	0,32
14	4,26	26,78	717,04	0,23
15	4,26	26,78	717,14	0,23
16	4,32	27,15	736,89	0,23
17	4,73	29,72	883,23	0,21
18	5,17	32,49	1055,74	0,19
19	5,76	36,20	1310,69	0,17
20	6,20	38,97	1518,32	0,16
21	6,45	40,55	1644,22	0,15
22	6,53	41,06	1685,52	0,15
23	7,07	44,41	1972,44	0,14
24	7,81	49,06	2407,22	0,13
25	7,89	49,58	2457,87	0,13
26	7,95	49,97	2497,29	0,13
27	9,31	58,49	3420,81	0,11
28	9,45	59,35	3522,08	0,11
29	9,53	59,91	3588,80	0,10
30	10,84	68,11	4639,60	0,09

## 9.2 Kontrola komfortu chodcov

Podmienka pre posúdenie komfortu chodcov je špecifikovaná pre maximálne hodnoty zrýchlenia  $0,7\text{m/s}^2$  vo zvislom smere a  $0,2\text{m/s}^2$  vo vodorovnom smere. Výpočet vynúteného kmitania od pohybu chodcov je vyžadovaný ak niektorá zo základných frekvencií je menšia než 5Hz pre zvislé kmitanie a 2,5Hz pre vodorovné alebo torzné vlastné kmitanie. Okrem kritérií pre zrýchlenie sú definované maximálne hodnoty amplitúd posunutia 10mm pre zvislé a 2mm pre vodorovné.

Max. počet osôb na lávke.....  $N = S \cdot d = 236\text{osôb}$

Ekvivalentný počet osôb.....  $N_{eq} = 10,8 \cdot \sqrt{N \xi} = 11\text{osôb}$

**Zjednodušení pro normy (nerealizováno):**

uvažuje se pouze rezonanční část dynamického zatížení

**Skupina chodců (8 – 15)**

Vertikální kmitání  $F_{pv}(t) = 280 k_v \sin 2\pi f_v t \quad [\text{N}]$

Horizontální kmitání  $F_{ph}(t) = 70 k_h \sin 2\pi f_h t \quad [\text{N}]$

$f_v$  – ohybová vlastní frekvence mostu při svislém kmitání nejbližší 2.0 Hz

$f_h$  – ohybová vlastní frekvence mostu při vodorovném kmitání nejbližší 1.0 Hz

$k_v$  resp.  $k_h$  – součinitele závislé na  $f_v$ , resp.  $f_h$   
(max.3.0 pro  $f_v = 2.0$  Hz, resp. pro  $f_h = 1.0$  Hz)

Síly se umístí do místa maximálního účinku pro daný vlastní tvar

**Zjednodušení pro normy (nerealizováno):**

uvažuje se pouze rezonanční část dynamického zatížení

**Spojité zatížení – proud chodců** (dlouhé a široké mosty)

Vertikální kmitání  $q_{pv}(t) = 12,6 k_v \sin 2\pi f_v t \quad [\text{Nm}^{-2}]$

Horizontální kmitání  $q_{ph}(t) = 3,3 k_h \sin 2\pi f_h t \quad [\text{Nm}^{-2}]$

Zatížení se umístí na most tak, aby vyvolávalo z hlediska uvažovaného vlastního tvaru maximální účinek

**Maximální přípustné hodnoty zrychlení**

EN 1990 Eurokód: *Zásady navrhování konstrukcí*

Vertikální kmitání  $a_{max,v} \leq 0,7 \text{ ms}^{-2}$

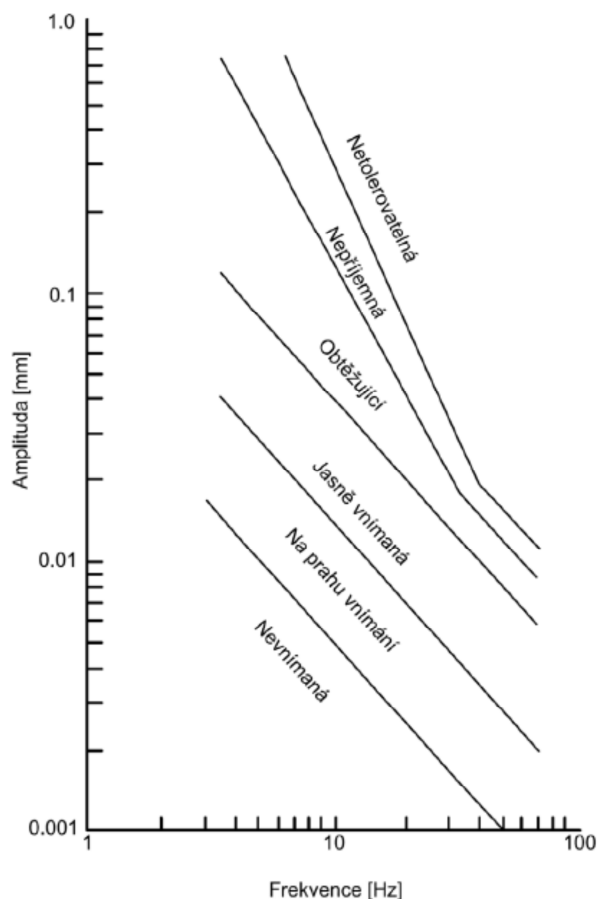
Horizontální kmitání  $a_{max,h} \leq 0,2 \text{ ms}^{-2}$

Horizontální kmitání  
(mimořádné zatížení  
např. davem lidí)  $a_{max,h} \leq 0,4 \text{ ms}^{-2}$

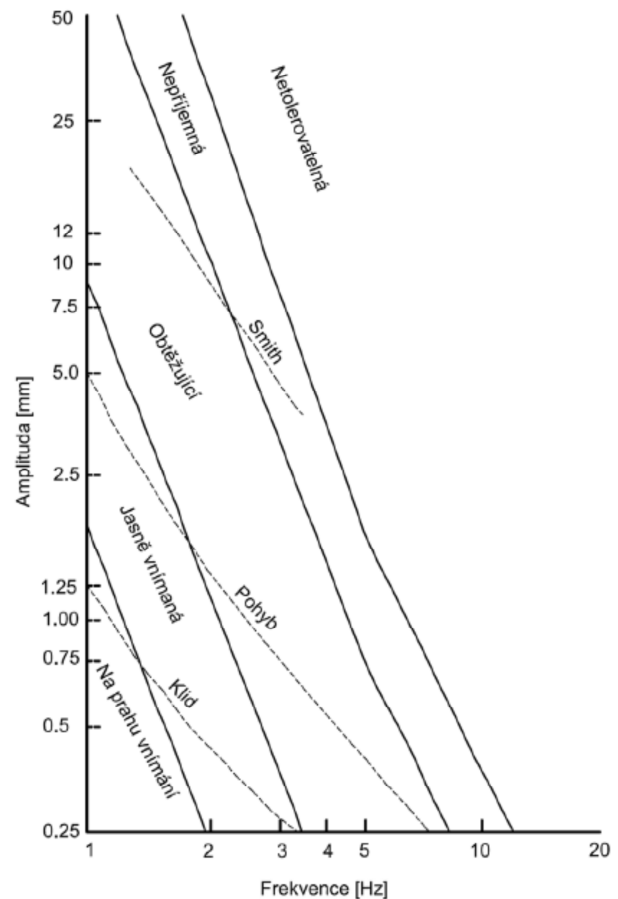
Eurokódy nestanovují zatížení lávek pro pěší účinkem chodců

Praktické řešení: harmonická síla  $F_{pv}(t) = 280 \sin 2\pi f_v t \quad [\text{N}]$

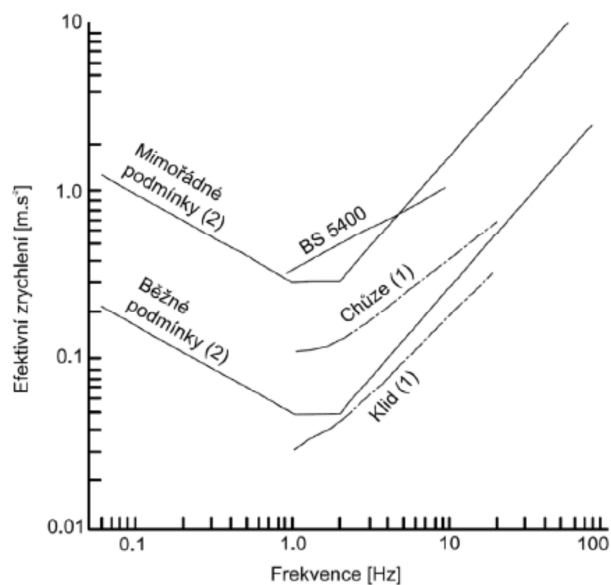
se postupně vkládá do míst maximální výchylky vlastních tvarů kmitání (ohybových i kroutivých)



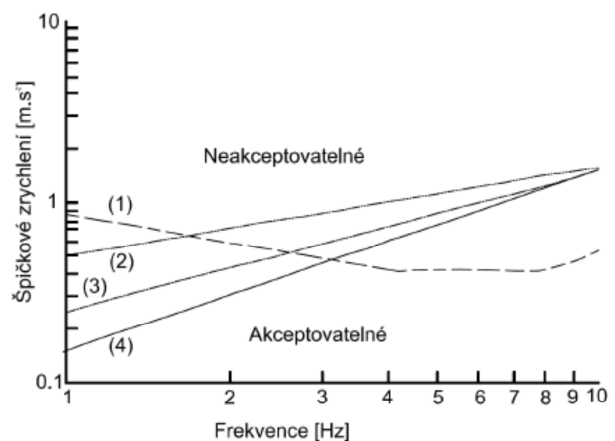
Obr. 6 Kategorizace vnímání vibrací



Obr. 7 Lidské vnímání vibrací

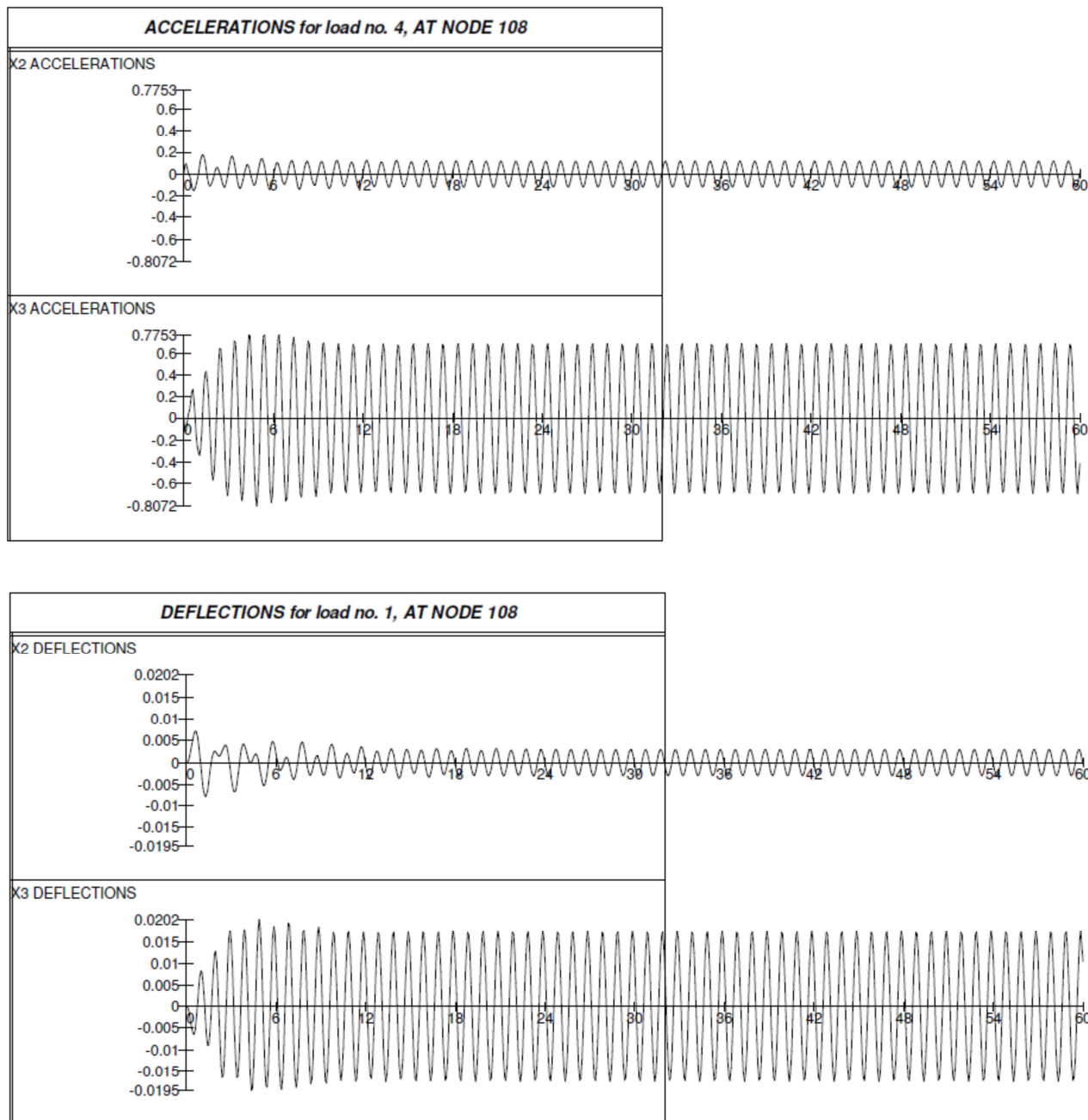


Obr. 8 Přijatelné úrovně efektivního zrychlení



Obr. 9 Přijatelné úrovně okamžitého zrychlení

**Výsledky zrýchlenia a amplitúdy pre zvislý a vodorovný účinok**



Na základe získaných výsledkov môžeme usudzovať, že lávka spĺňa kritéria a vzhľadom na pohodlie chodcov bude kmitanie lávky vnímané ako prijateľné.

Lávka predovšetkým bude slúžiť cyklistom nakoľko sa jedná o lávku umiestnenú na cyklistickom chodníku a pre overenie pohodlia cyklistov nejestvujú žiadne normové a odborné odporúčania, ktoré by mohli vystihovať danú skutočnosť.

## 10 Záver statického výpočtu

Statickým výpočtom bola overená celková konštrukcia predmetného mostného objektu.

Všetky prvky konštrukcie boli navrhnuté a posúdené podľa platných STN a STN EN. Navrhnutá konštrukcia je stabilná a vyhovuje pre najnepriaznivejšiu kombináciu vnútorných síl.

Statickým posudkom bolo preukázané splnenie základnej požiadavky na stavby – mechanickej odolnosti a stability stavby v zmysle § 43d ods. 1. písm. a) Zákona č.50/1976 Zb. v znení neskorších predpisov (Stavebný zákon) a sú splnené podmienky spoľahlivosti (t.j. bezpečnosti, použiteľnosti a trvanlivosti) stavby.

V Prešove, 06/2021

Vypracoval: Ing. Radoslav Fotta  
Ing. Martin Rusín